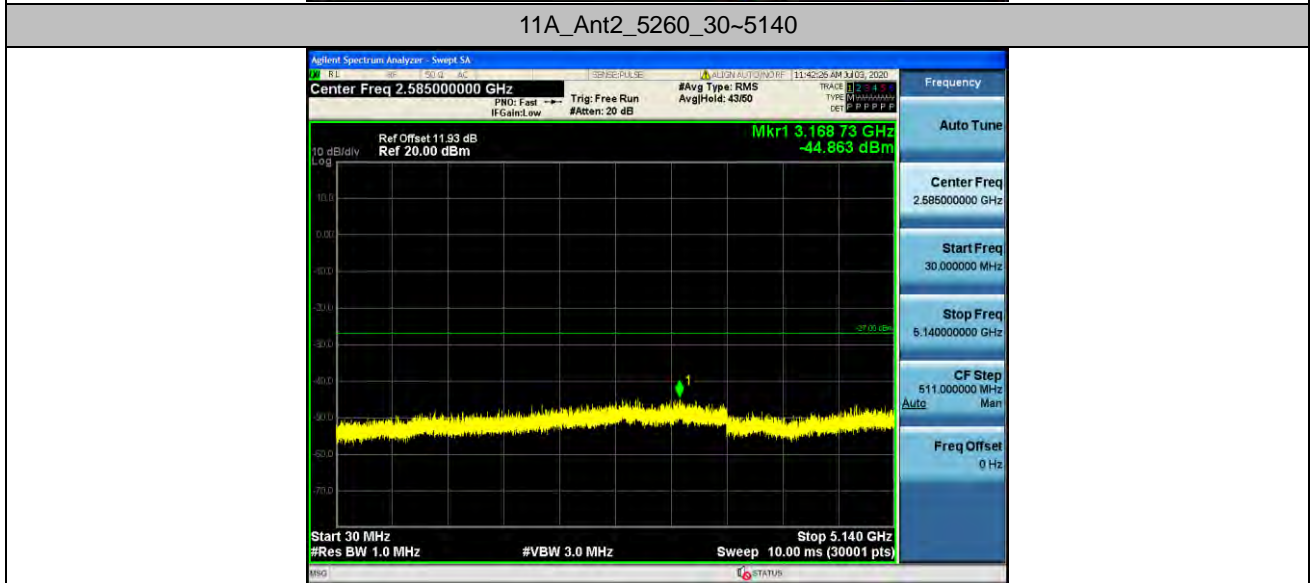
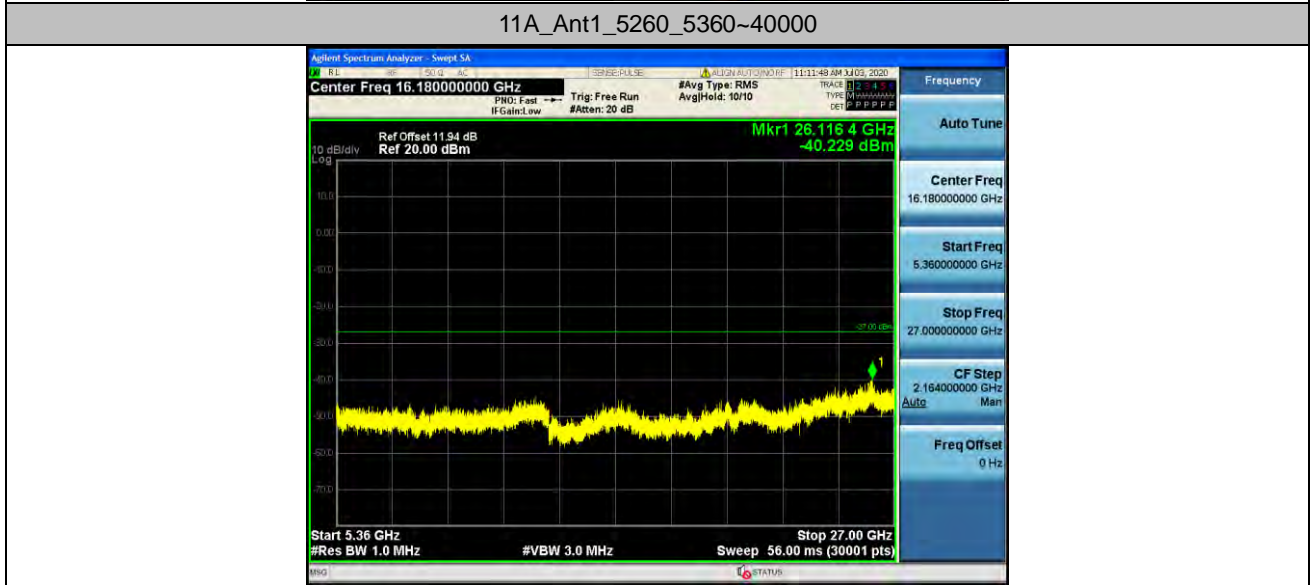
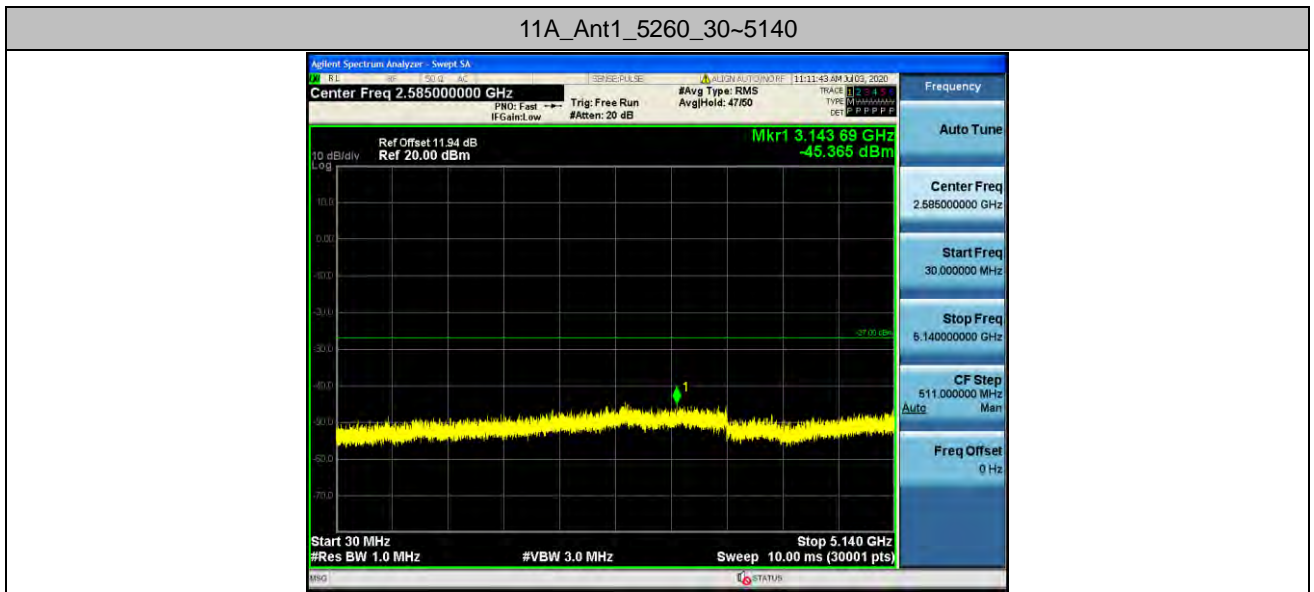


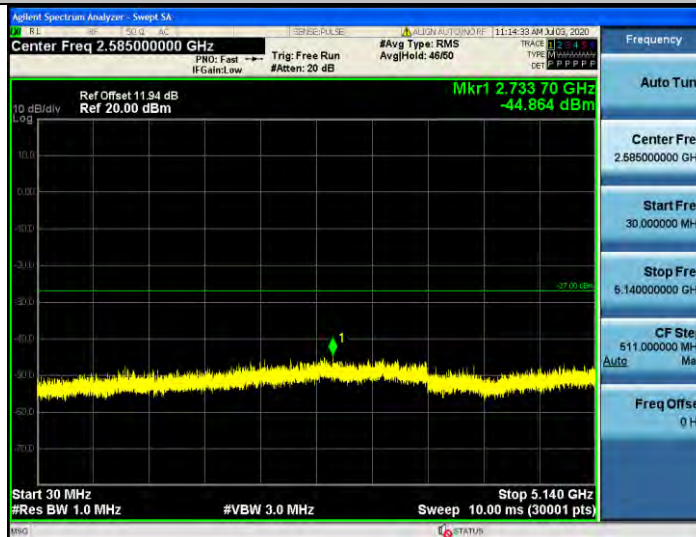
Test Graphs



11A_Ant2_5260_5360~40000



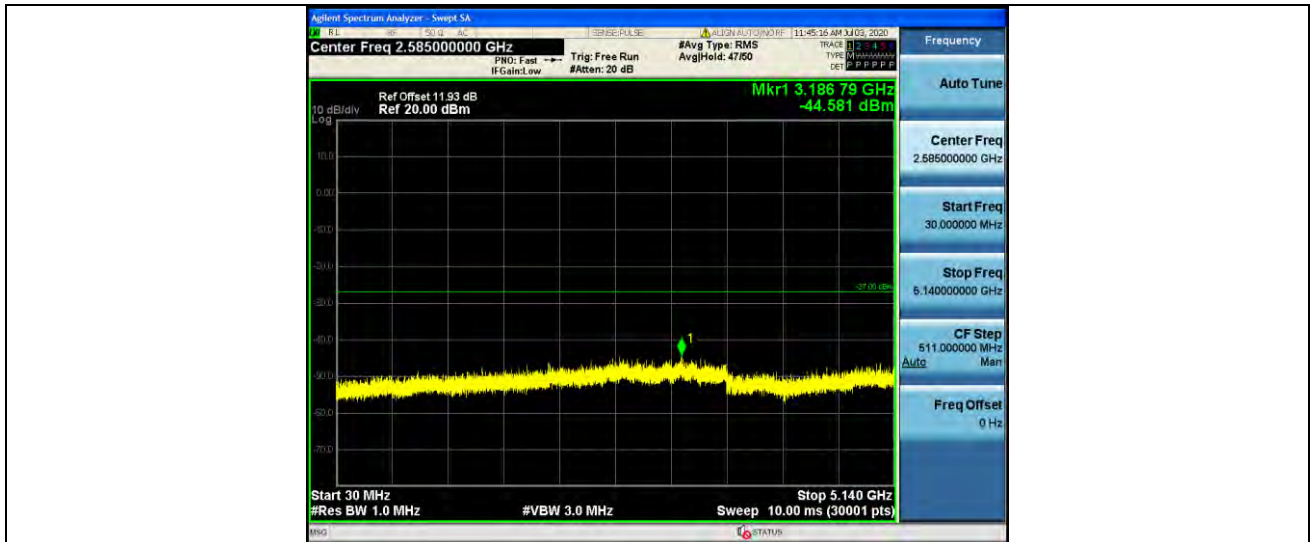
11A_Ant1_5280_30~5140



11A_Ant1_5280_5360~40000



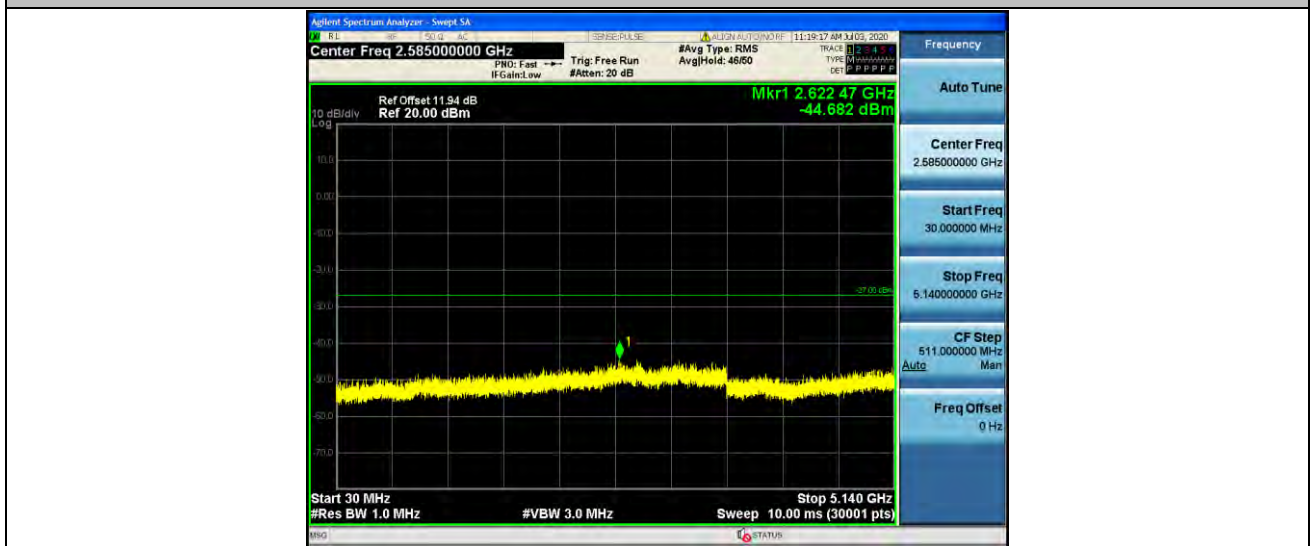
11A_Ant2_5280_30~5140



11A_Ant2_5280_5360~4000



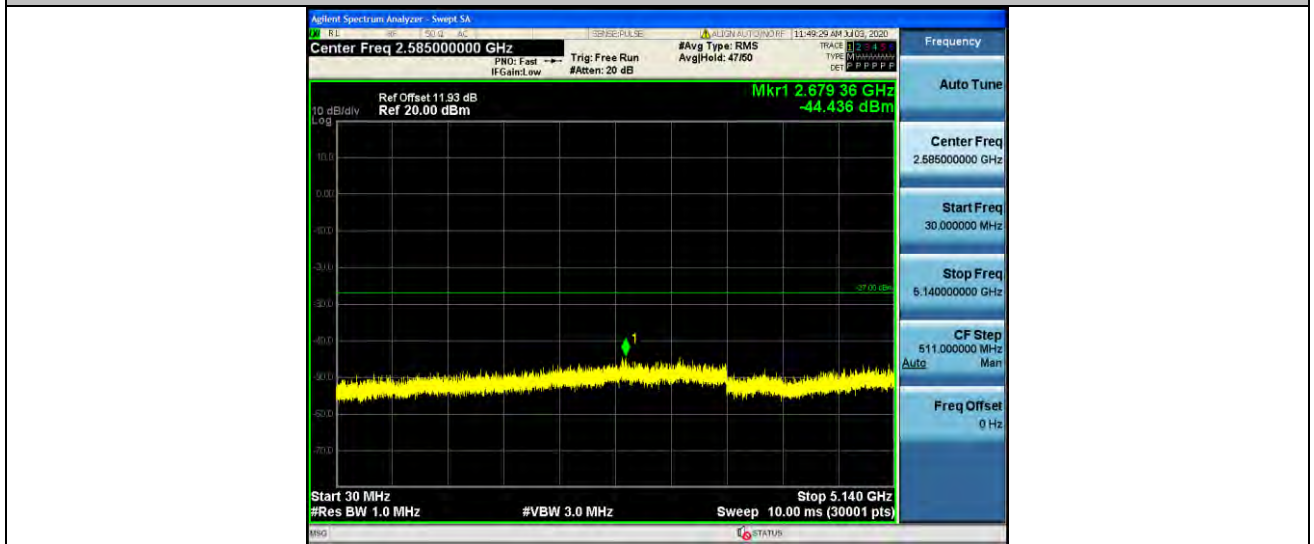
11A_Ant1_5320_30~5140



11A_Ant1_5320_5360~4000



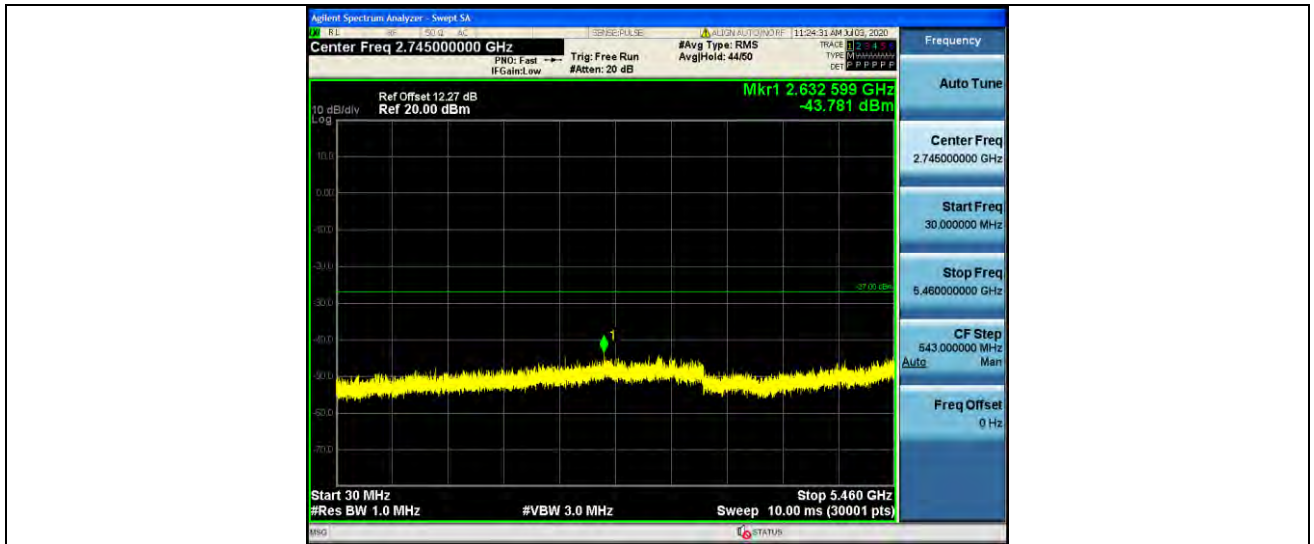
11A_Ant2_5320_30~5140



11A_Ant2_5320_5360~4000



11A_Ant1_5500_30~5460



11A_Ant1_5500_5735~4000



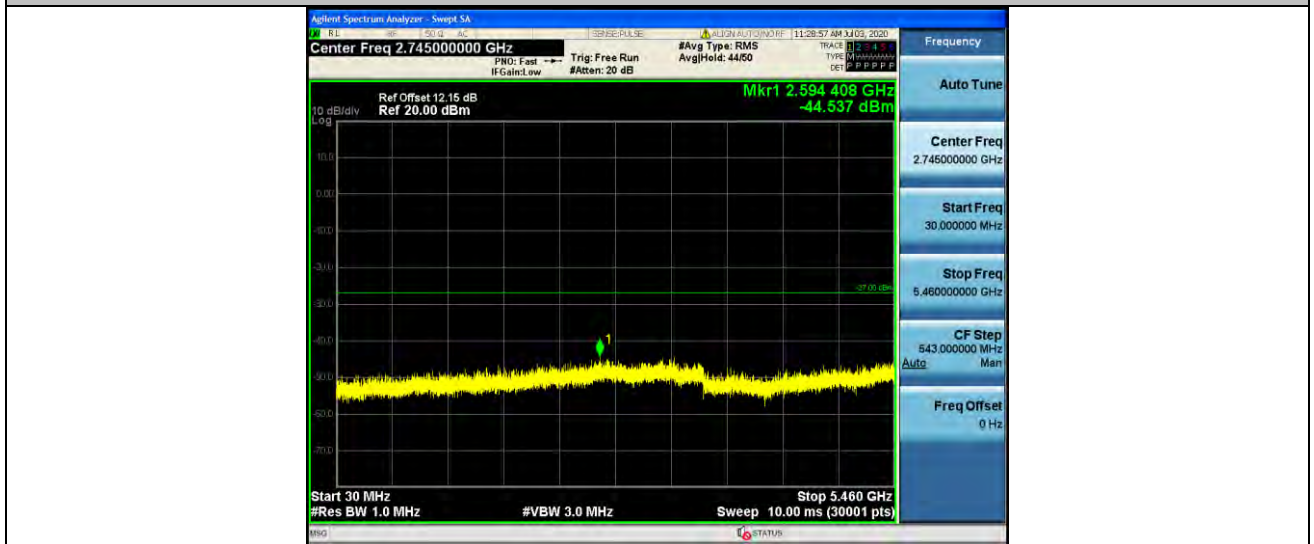
11A_Ant2_5500_30~5460



11A_Ant2_5500_5735~4000



11A_Ant1_5580_30~5460



11A_Ant1_5580_5735~4000



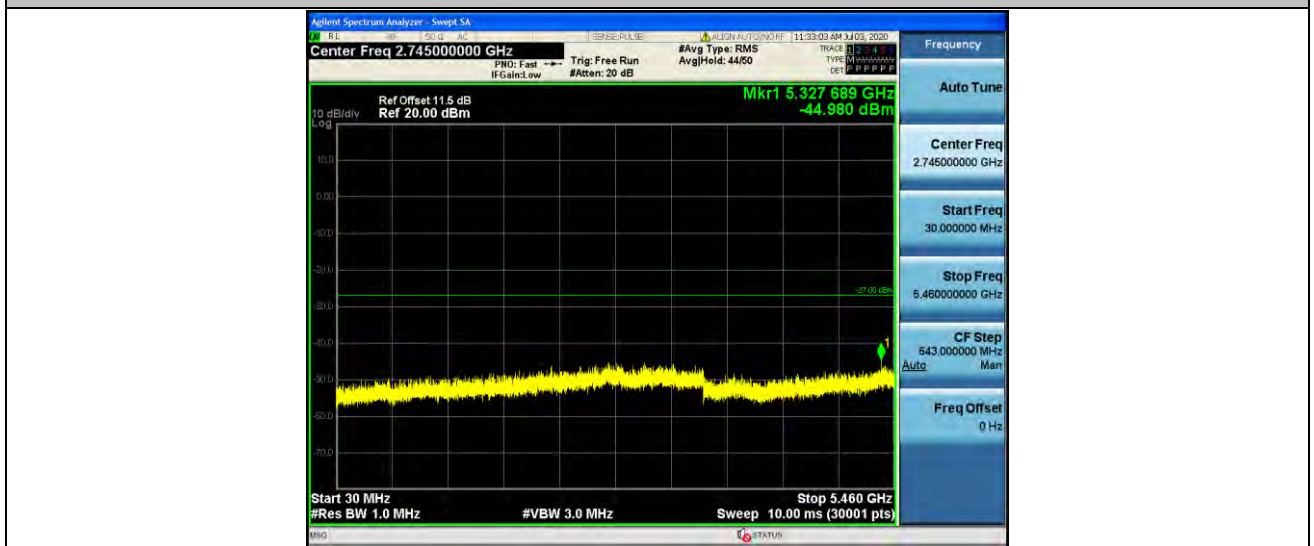
11A_Ant2_5580_30~5460



11A_Ant2_5580_5735~4000



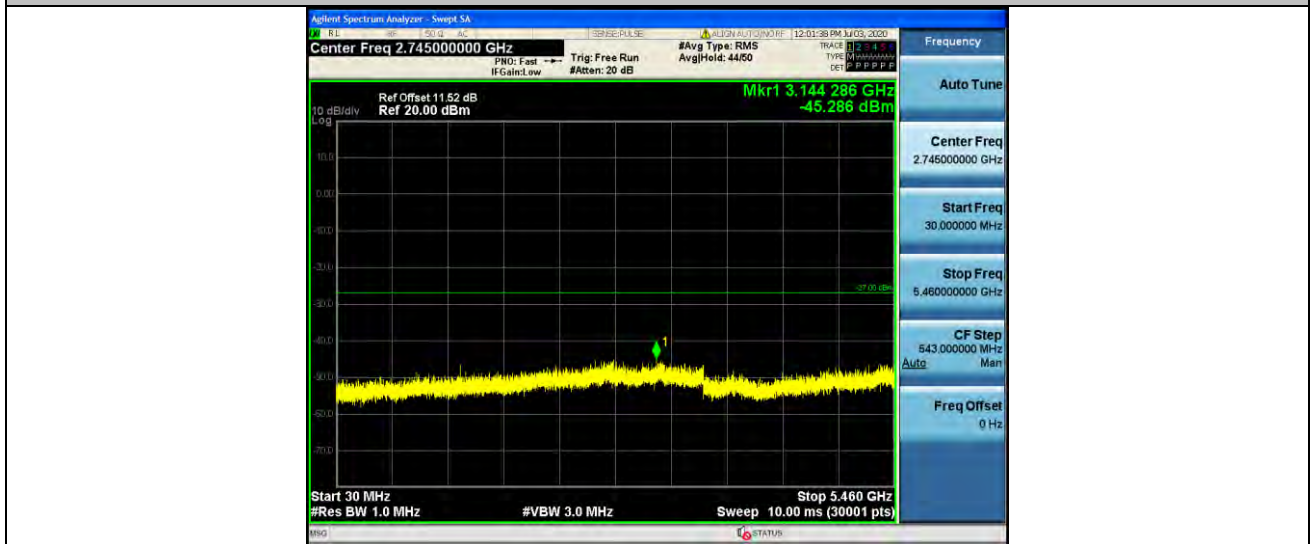
11A_Ant1_5700_30~5460



11A_Ant1_5700_5735~4000



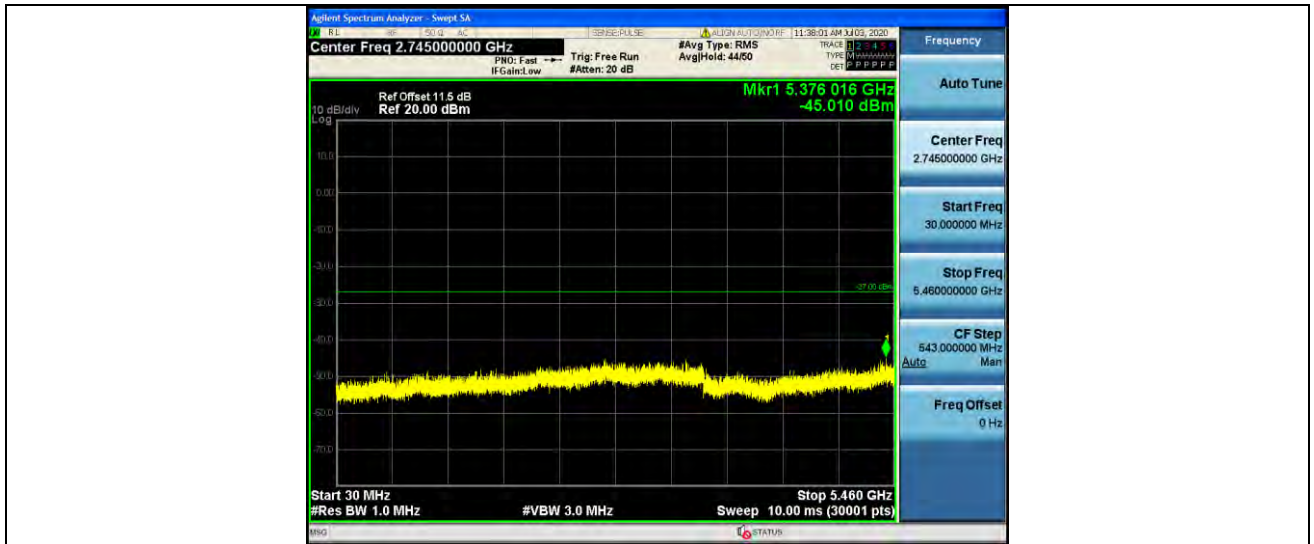
11A_Ant2_5700_30~5460



11A_Ant2_5700_5735~40000



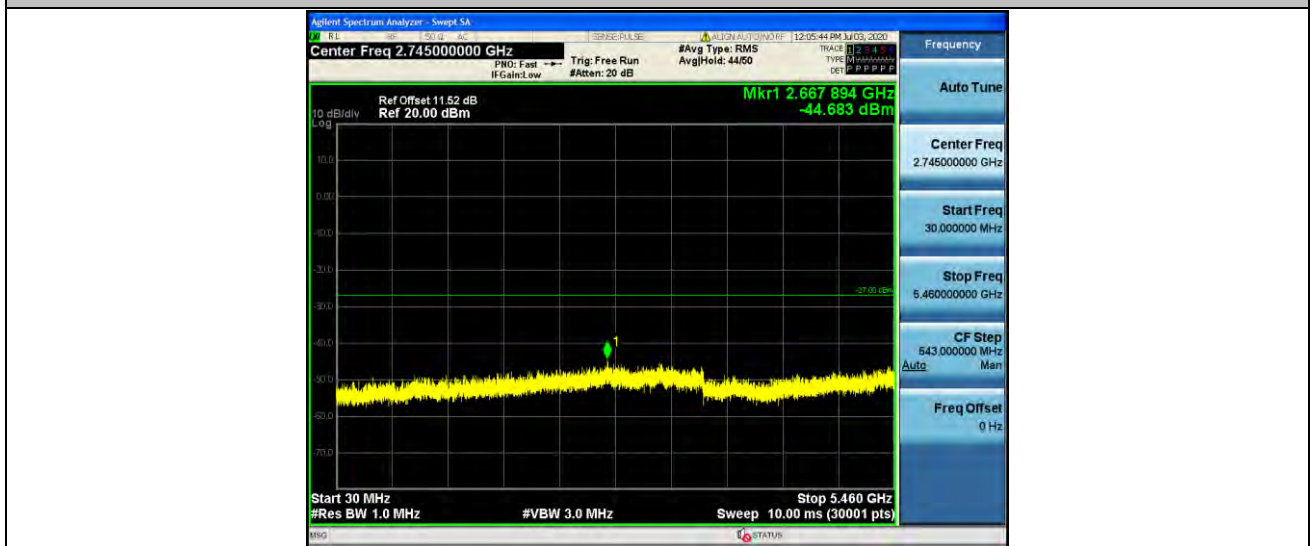
11A_Ant1_5720_30~5460



11A_Ant1_5720_5925~4000



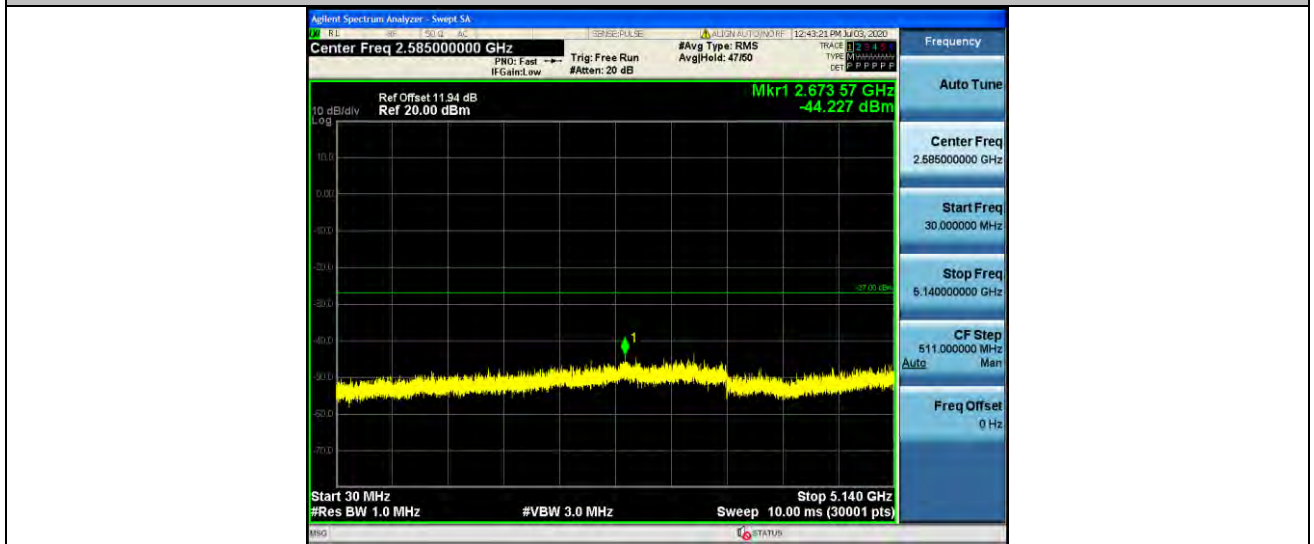
11A_Ant2_5720_30~5460



11A_Ant2_5720_5925~4000



11N20MIMO_Ant1_5260_30-5140



11N20MIMO_Ant1_5260_5360~40000



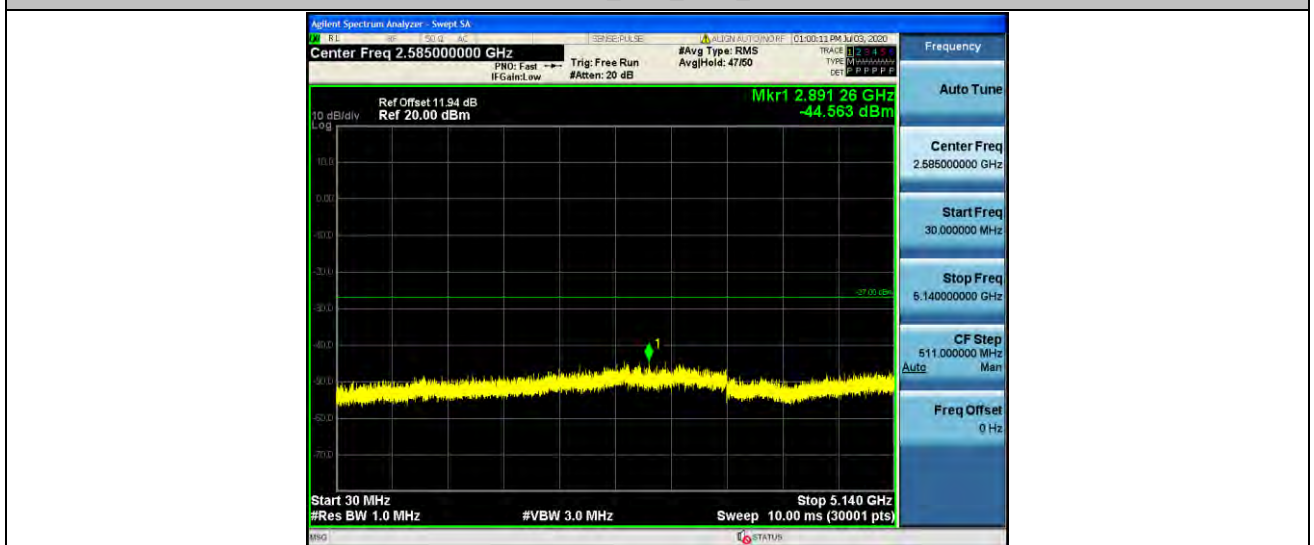
11N20MIMO_Ant2_5260_30-5140



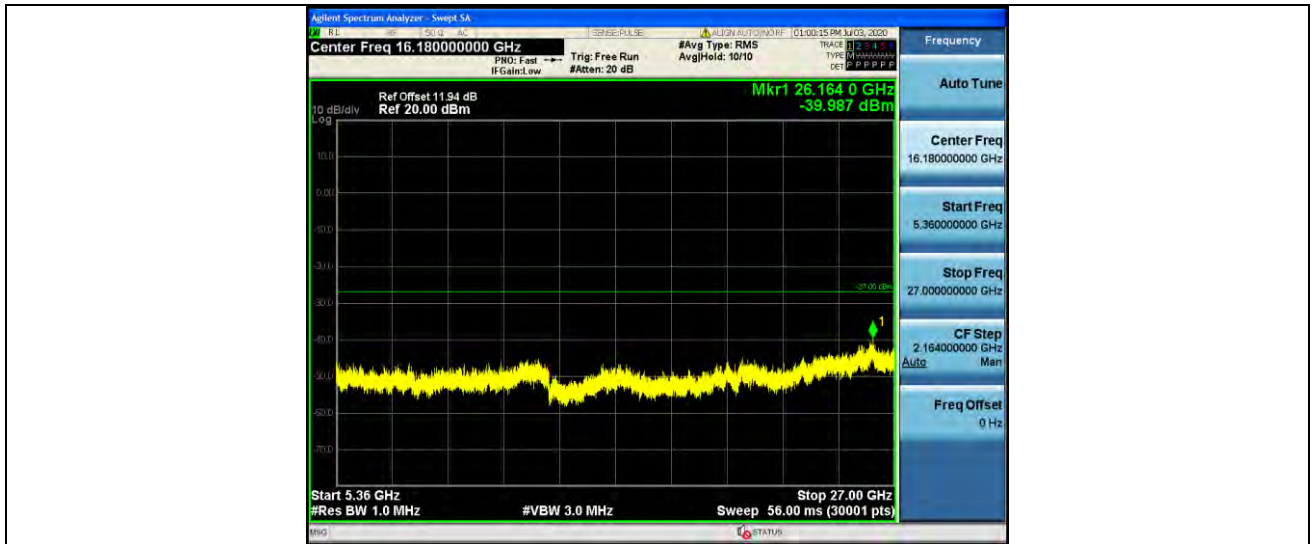
11N20MIMO_Ant2_5260_5360~40000



11N20MIMO_Ant1_5280_30~5140



11N20MIMO_Ant1_5280_5360~40000



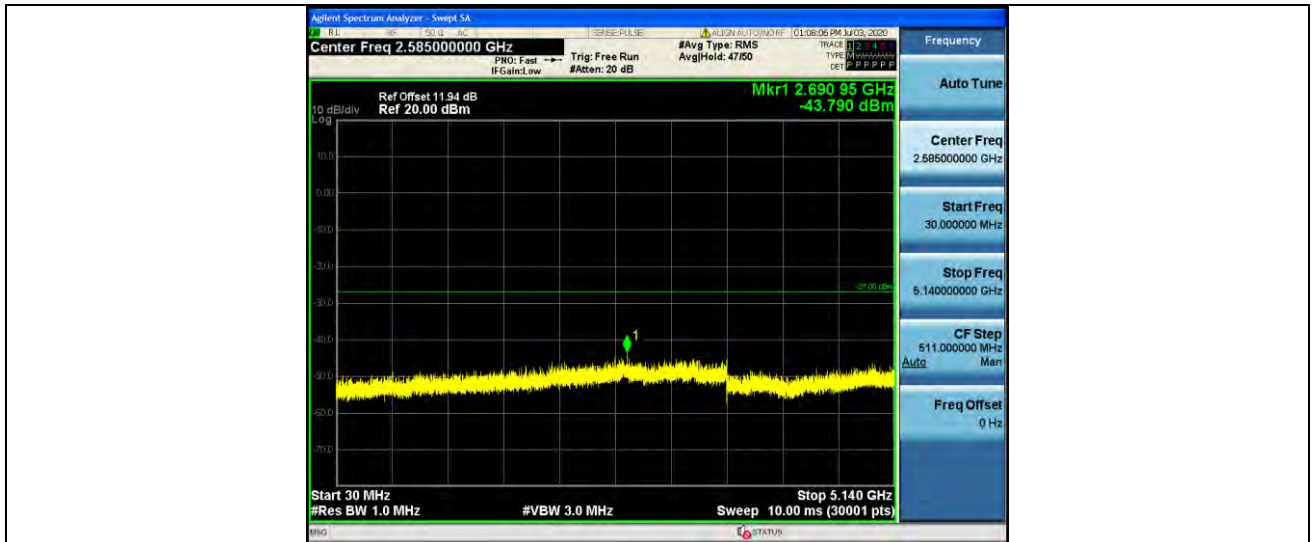
11N20MIMO_Ant2_5280_30-5140



11N20MIMO_Ant2_5280_5360-40000



11N20MIMO_Ant1_5320_30-5140



11N20MIMO_Ant1_5320_5360~4000



11N20MIMO_Ant2_5320_30~5140



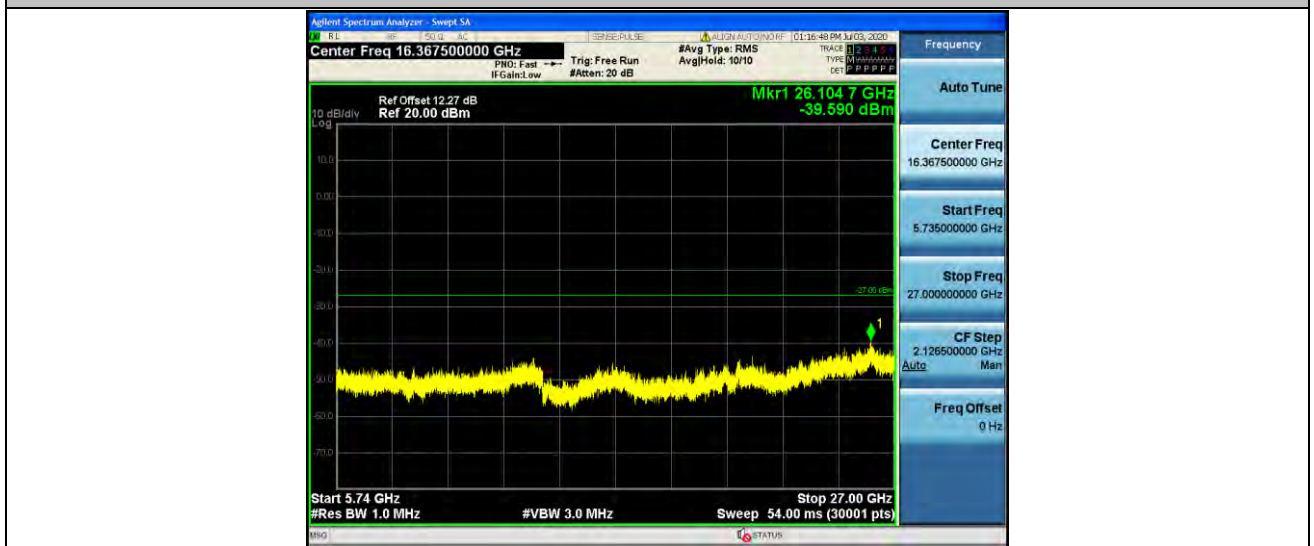
11N20MIMO_Ant2_5320_5360~4000



11N20MIMO_Ant1_5500_30-5460



11N20MIMO_Ant1_5500_5735-40000



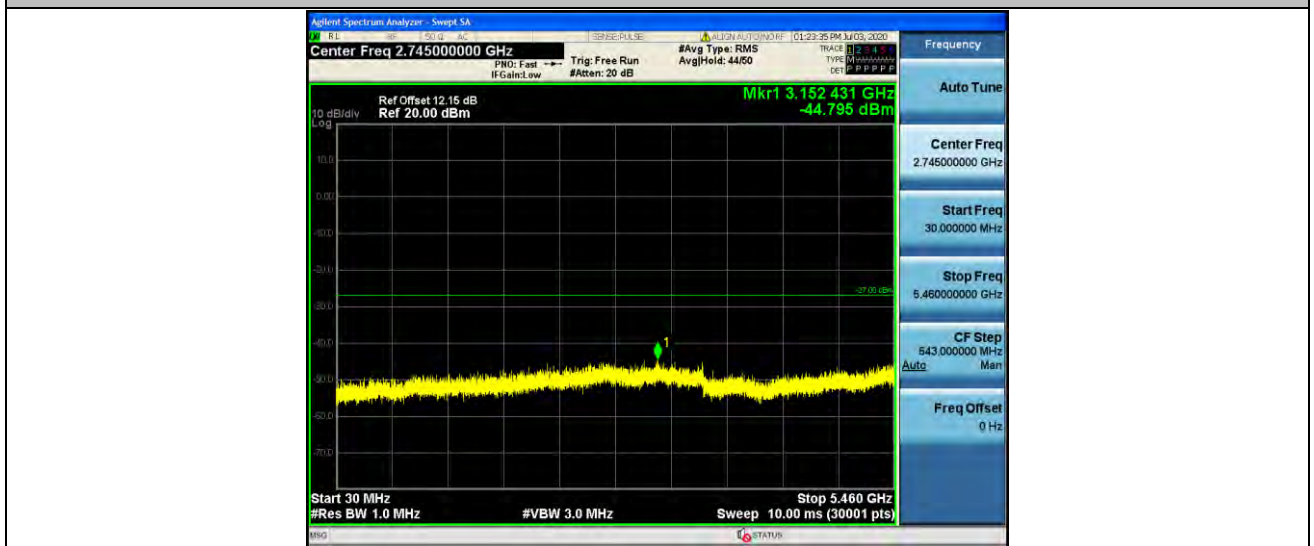
11N20MIMO_Ant2_5500_30-5460



11N20MIMO_Ant2_5500_5735~4000



11N20MIMO_Ant1_5580_30~5460



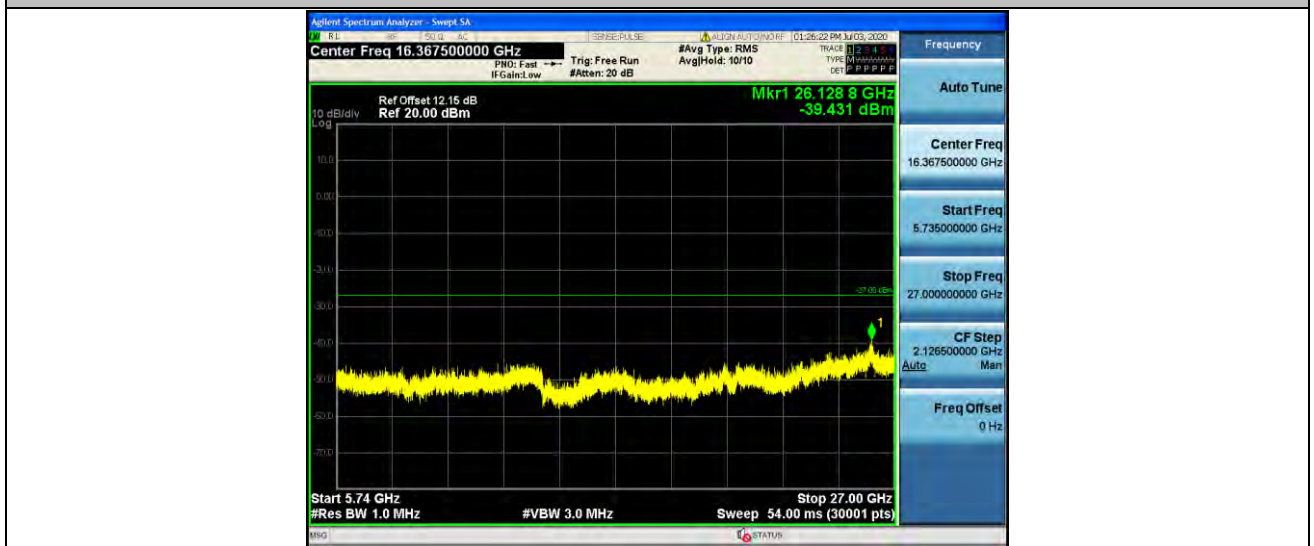
11N20MIMO_Ant1_5580_5735~4000



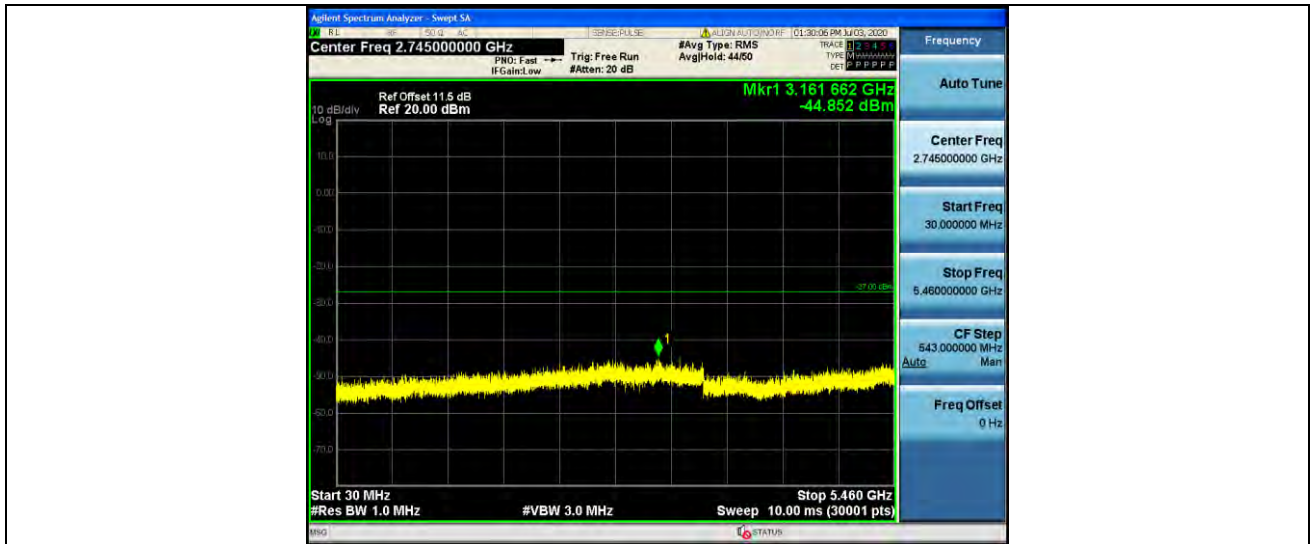
11N20MIMO_Ant2_5580_30-5460



11N20MIMO_Ant2_5580_5735-40000



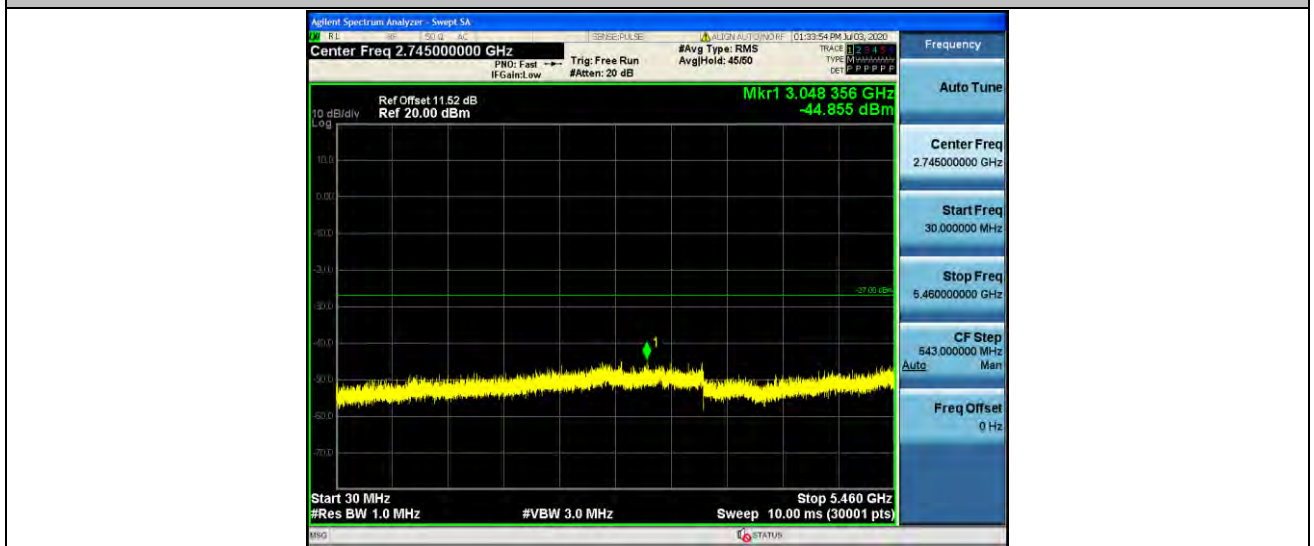
11N20MIMO_Ant1_5700_30-5460



11N20MIMO_Ant1_5700_5735~4000



11N20MIMO_Ant2_5700_30~5460



11N20MIMO_Ant2_5700_5735~4000



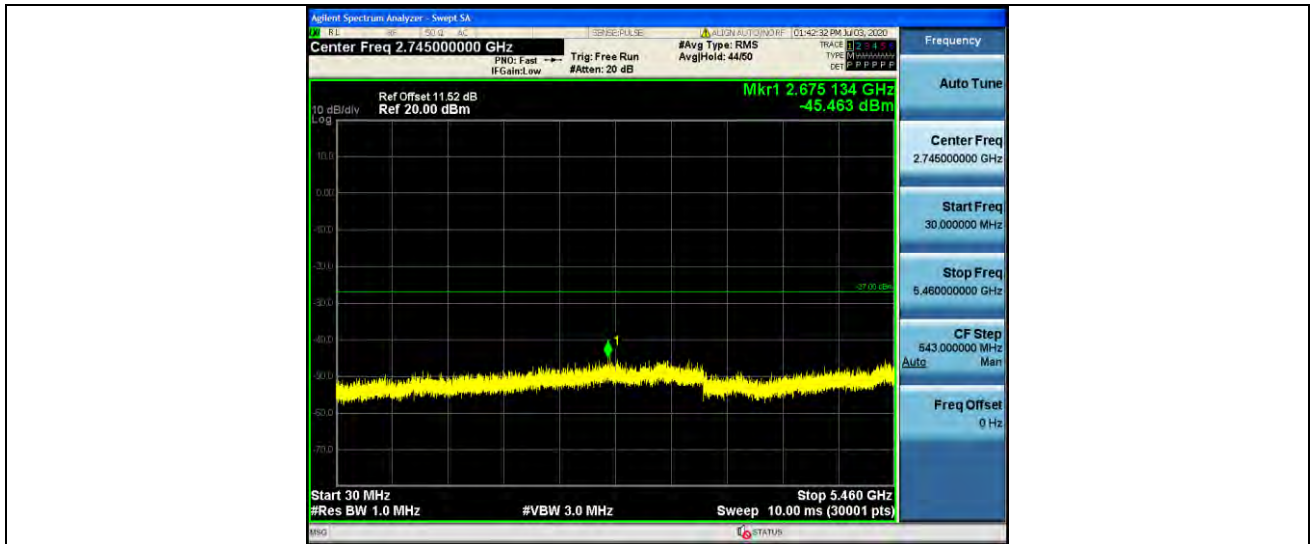
11N20MIMO_Ant1_5720_30-5460



11N20MIMO_Ant1_5720_5925-40000



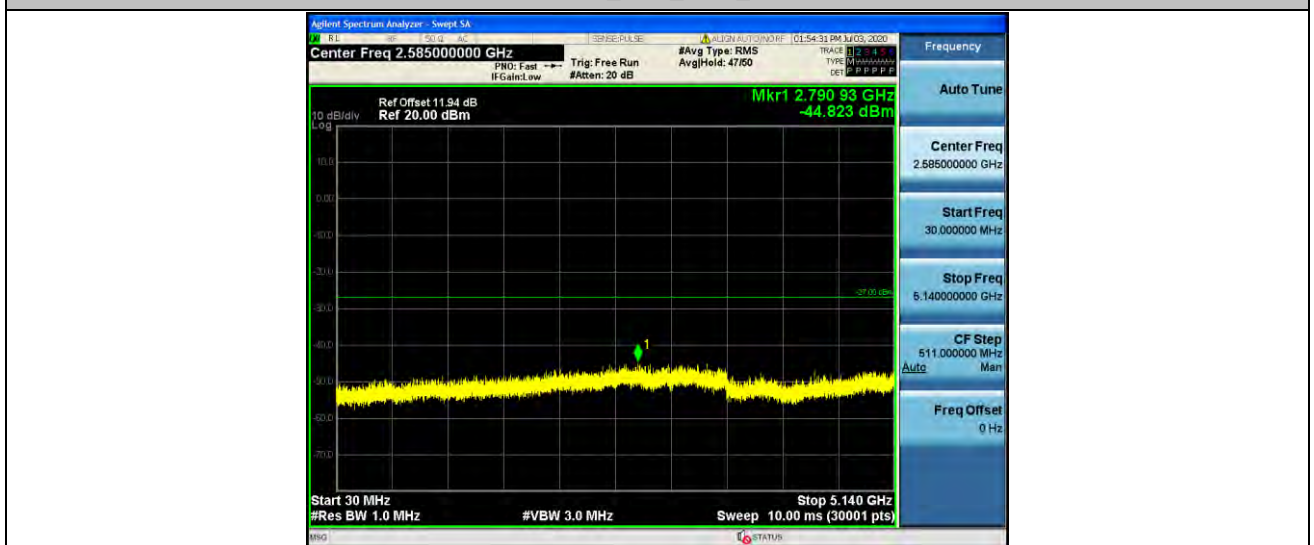
11N20MIMO_Ant2_5720_30-5460



11N20MIMO_Ant2_5720_5925~40000



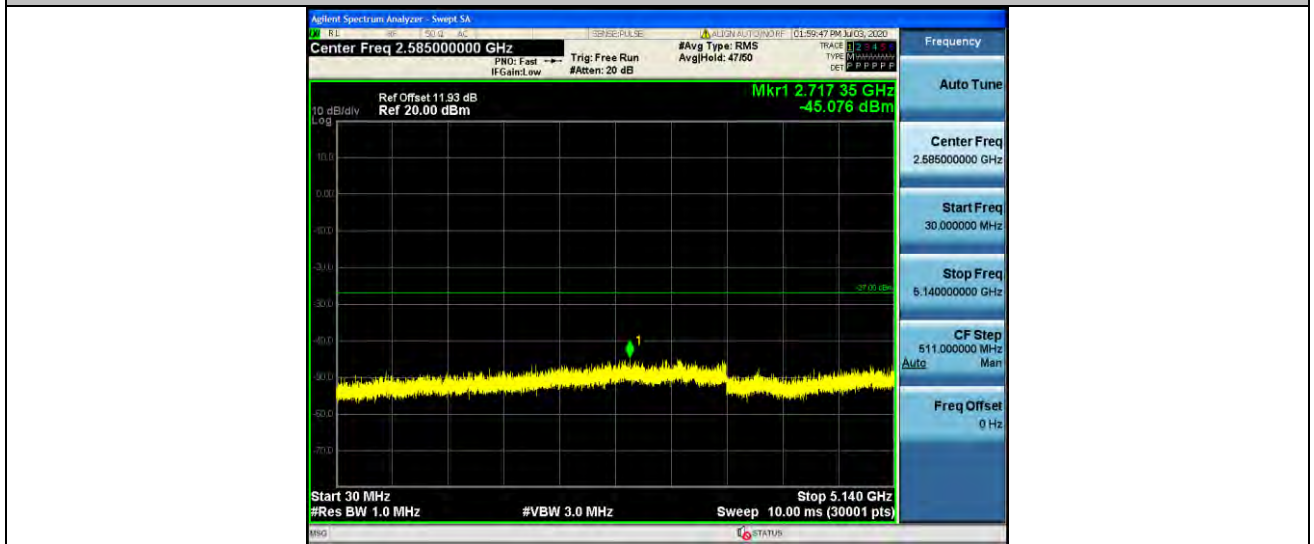
11N40MIMO_Ant1_5270_30~5140



11N40MIMO_Ant1_5270_5360~40000



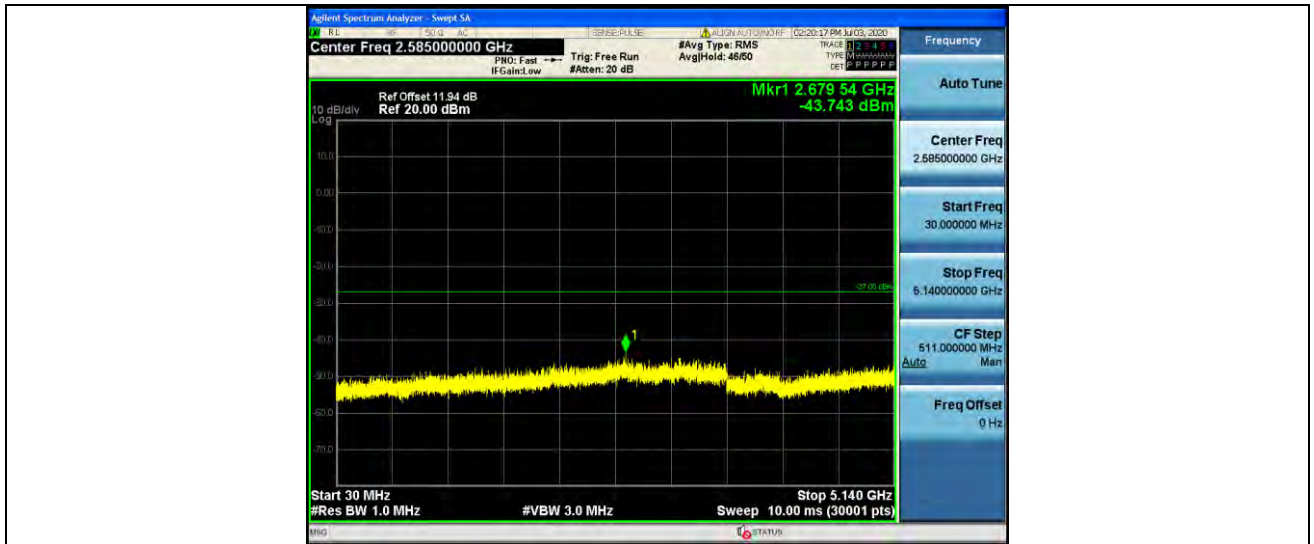
11N40MIMO_Ant2_5270_30-5140



11N40MIMO_Ant2_5270_5360-40000



11N40MIMO_Ant1_5310_30-5140



11N40MIMO_Ant1_5310_5360~4000



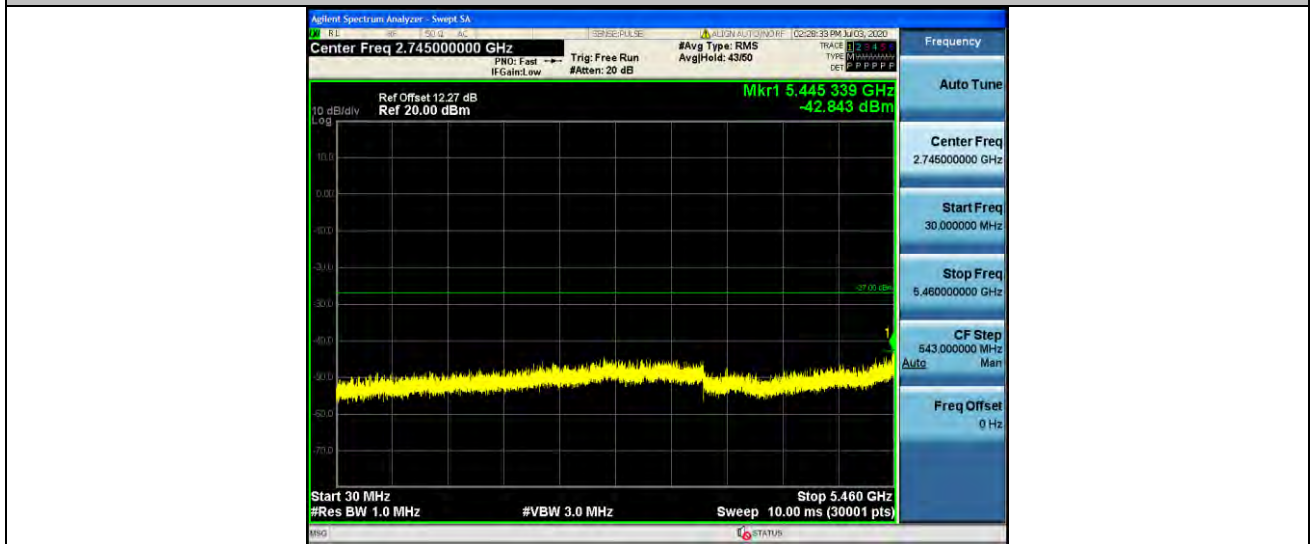
11N40MIMO_Ant2_5310_30~5140



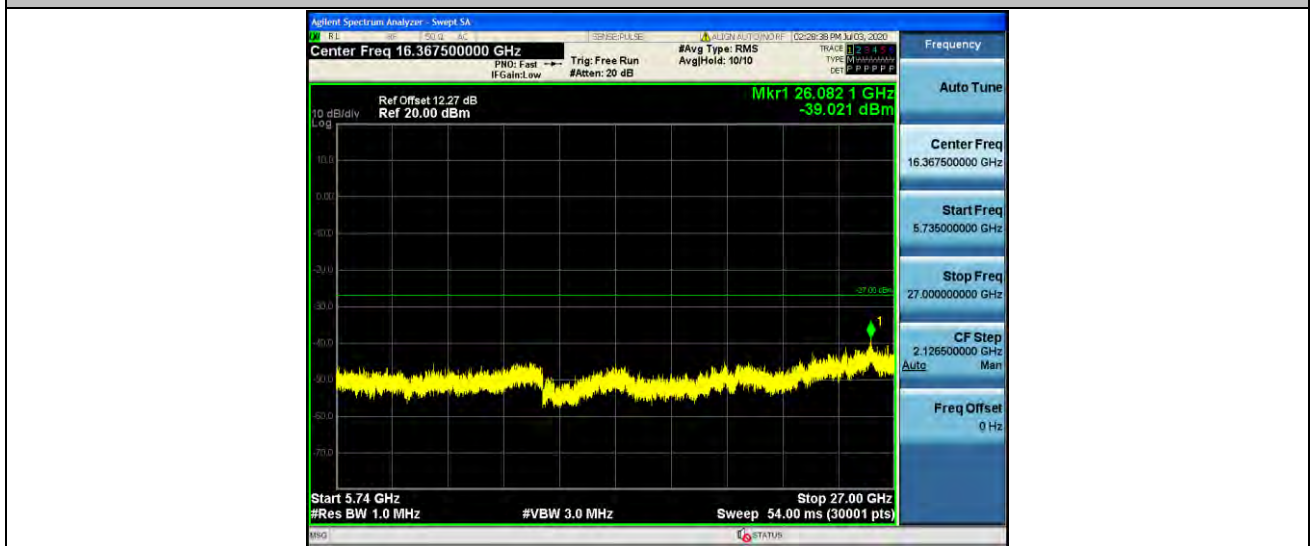
11N40MIMO_Ant2_5310_5360~4000



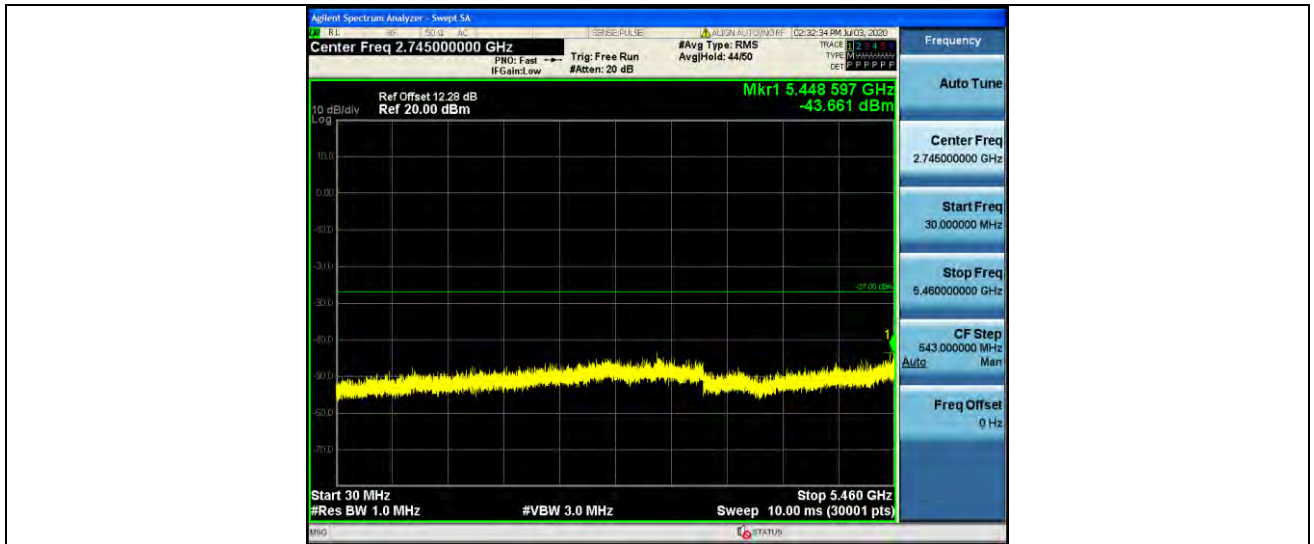
11N40MIMO_Ant1_5510_30-5460



11N40MIMO_Ant1_5510_5735-40000



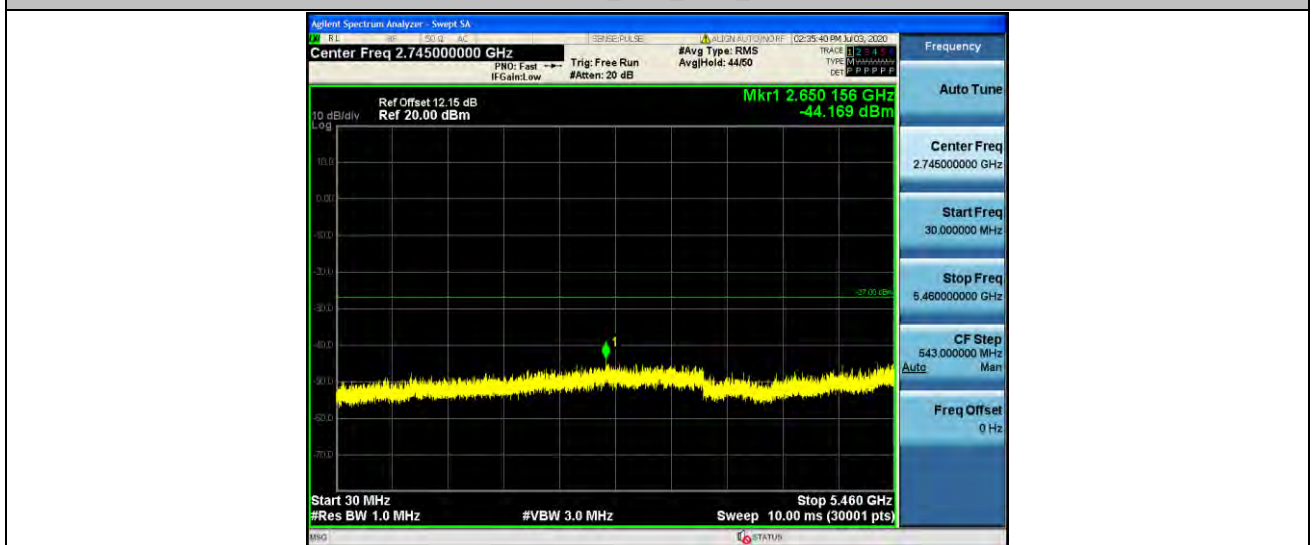
11N40MIMO_Ant2_5510_30-5460



11N40MIMO_Ant2_5510_5735~4000



11N40MIMO_Ant1_5550_30~5460



11N40MIMO_Ant1_5550_5735~4000



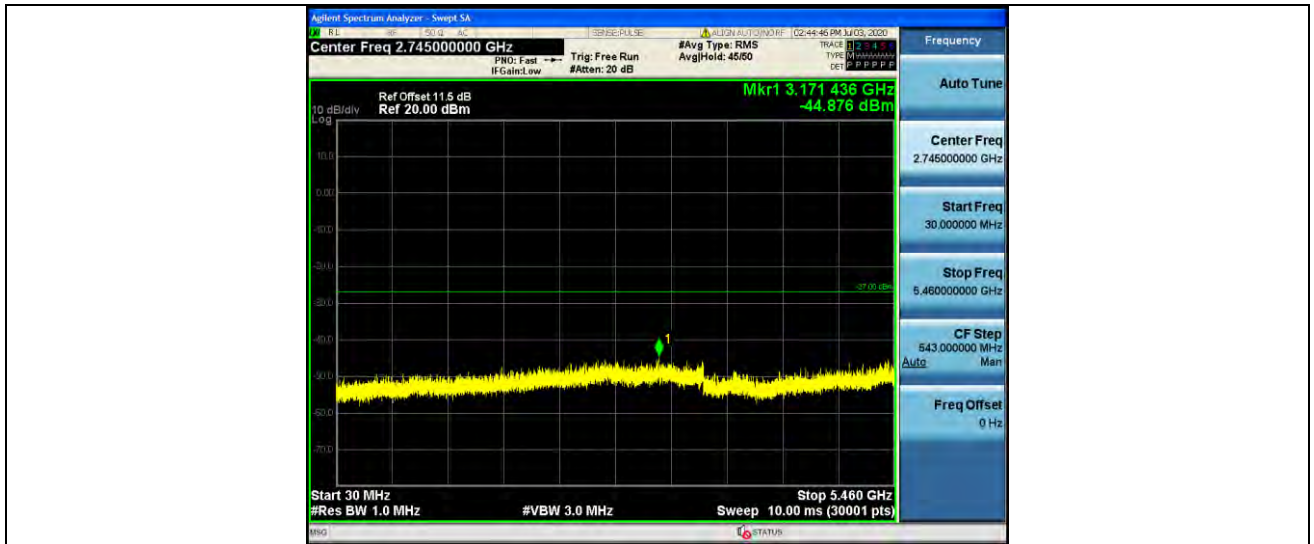
11N40MIMO_Ant2_5550_30-5460



11N40MIMO_Ant2_5550_5735-40000



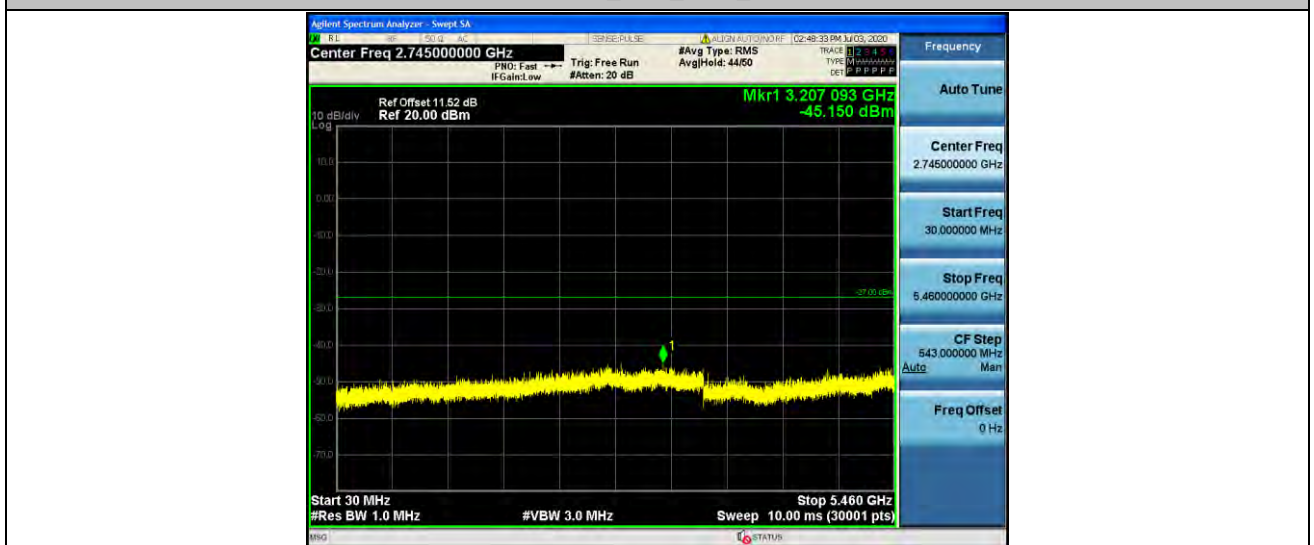
11N40MIMO_Ant1_5670_30-5460



11N40MIMO_Ant1_5670_5735~4000



11N40MIMO_Ant2_5670_30~5460



11N40MIMO_Ant2_5670_5735~4000



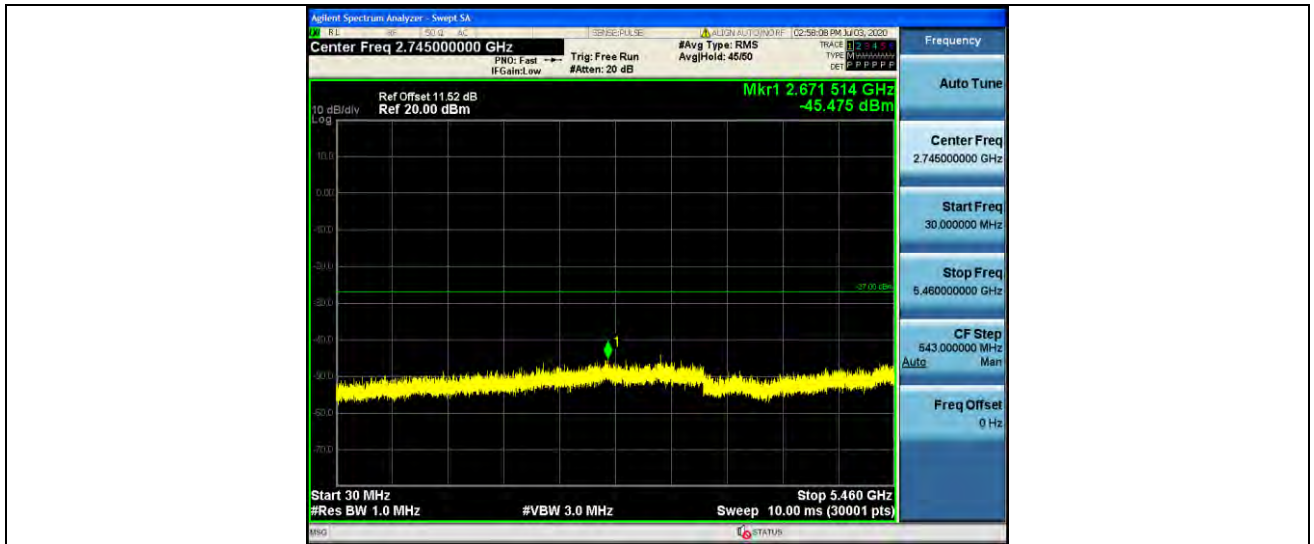
11N40MIMO_Ant1_5710_30-5460



11N40MIMO_Ant1_5710_5925-40000



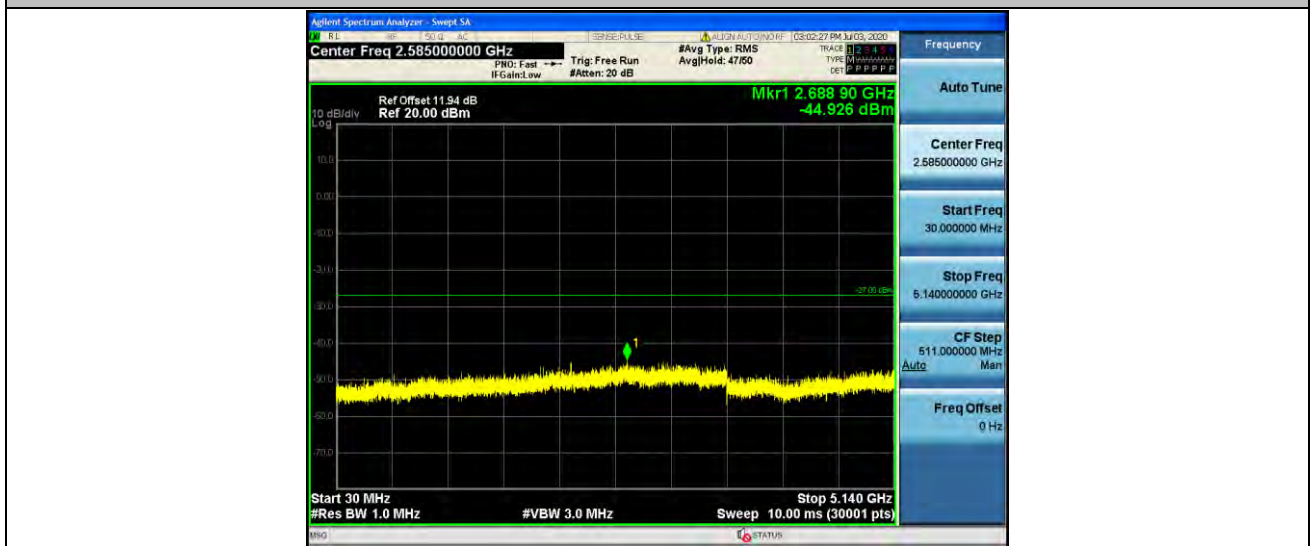
11N40MIMO_Ant2_5710_30-5460



11N40MIMO_Ant2_5710_5925~4000



11AC20MIMO_Ant1_5260_30~5140



11AC20MIMO_Ant1_5260_5360~4000



11AC20MIMO_Ant2_5260_30~5140



11AC20MIMO_Ant2_5260_5360~40000



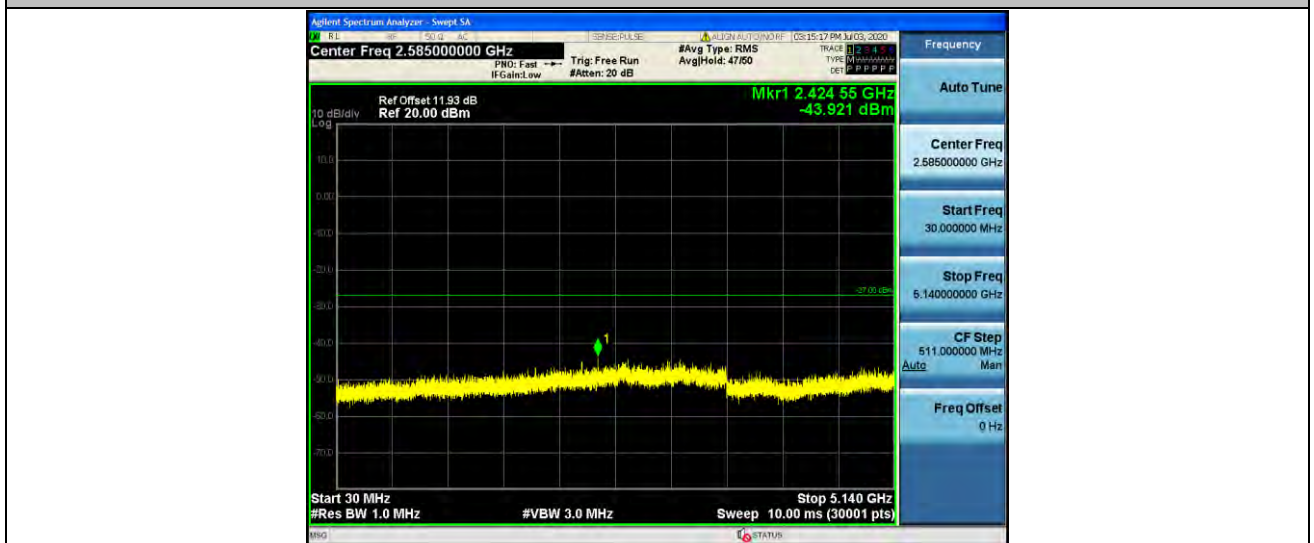
11AC20MIMO_Ant1_5280_30~5140



11AC20MIMO_Ant1_5280_5360~40000



11AC20MIMO_Ant2_5280_30~5140



11AC20MIMO_Ant2_5280_5360~40000



11AC20MIMO_Ant1_5320_30~5140



11AC20MIMO_Ant1_5320_5360~40000



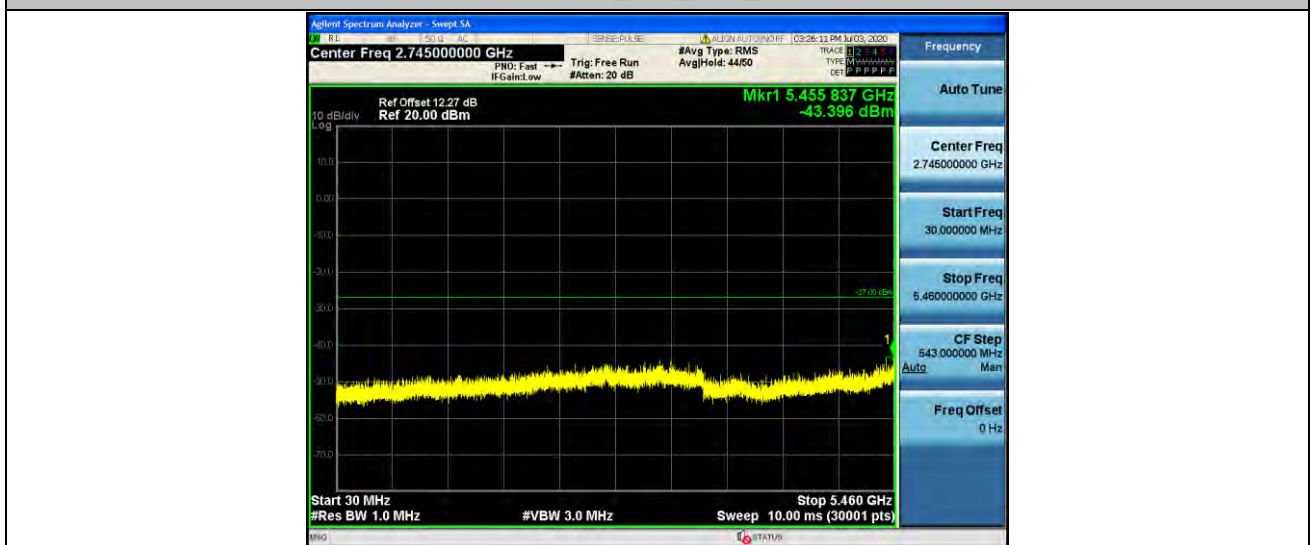
11AC20MIMO_Ant2_5320_30~5140



11AC20MIMO_Ant2_5320_5360-40000



11AC20MIMO_Ant1_5500_30-5460



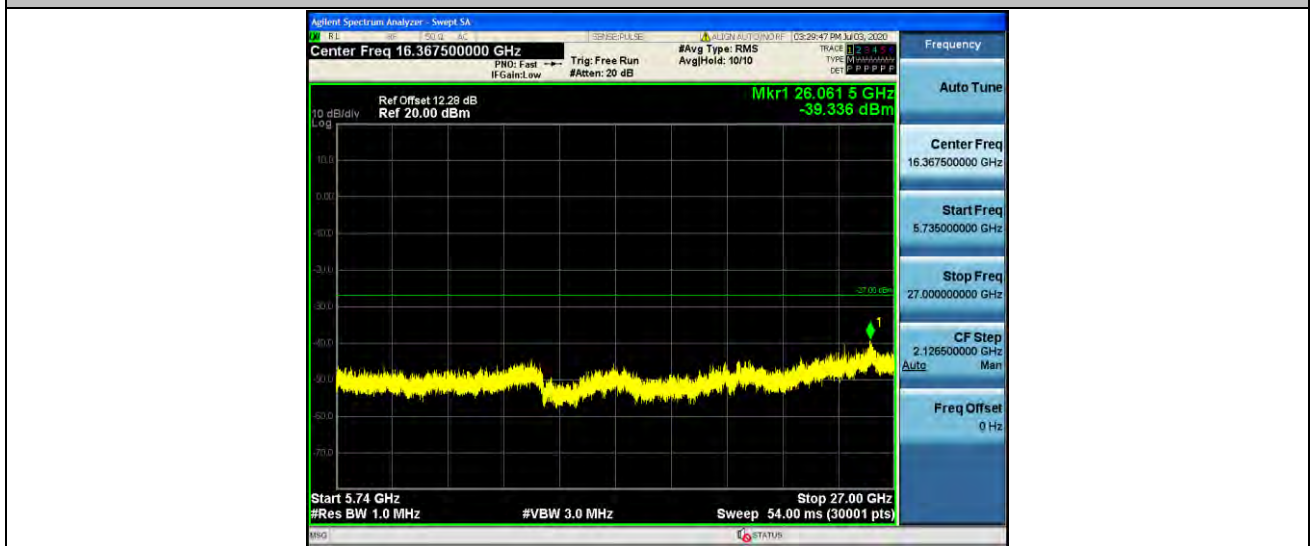
11AC20MIMO_Ant1_5500_5735-40000



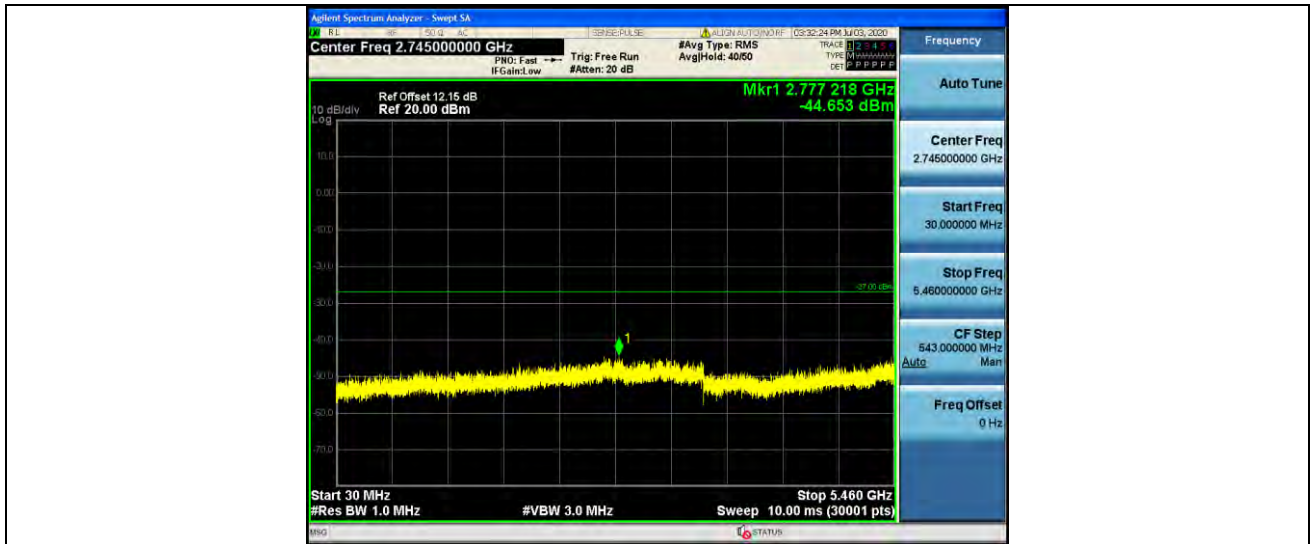
11AC20MIMO_Ant2_5500_30~5460



11AC20MIMO_Ant2_5500_5735~40000



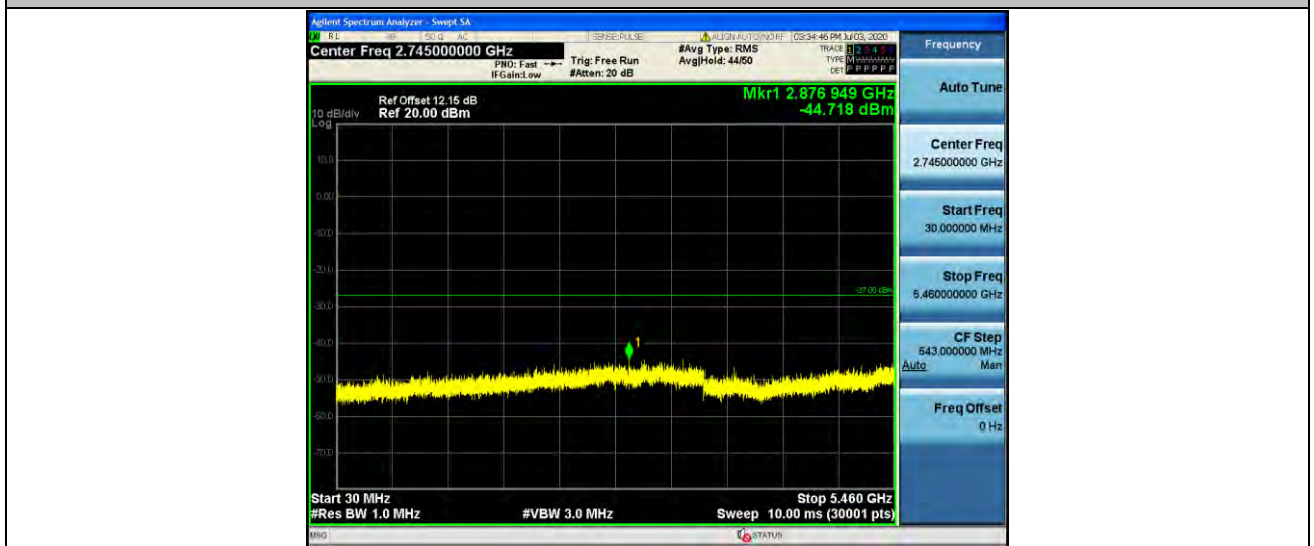
11AC20MIMO_Ant1_5580_30~5460



11AC20MIMO_Ant1_5580_5735~40000



11AC20MIMO_Ant2_5580_30~5460



11AC20MIMO_Ant2_5580_5735~40000



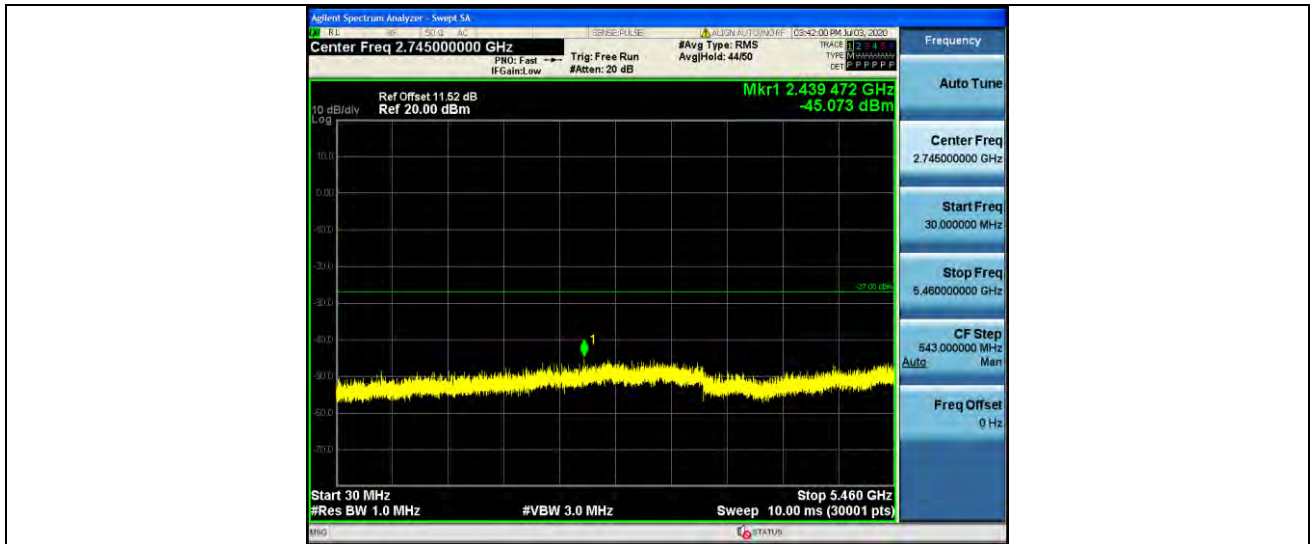
11AC20MIMO_Ant1_5700_30~5460



11AC20MIMO_Ant1_5700_5735~40000



11AC20MIMO_Ant2_5700_30~5460



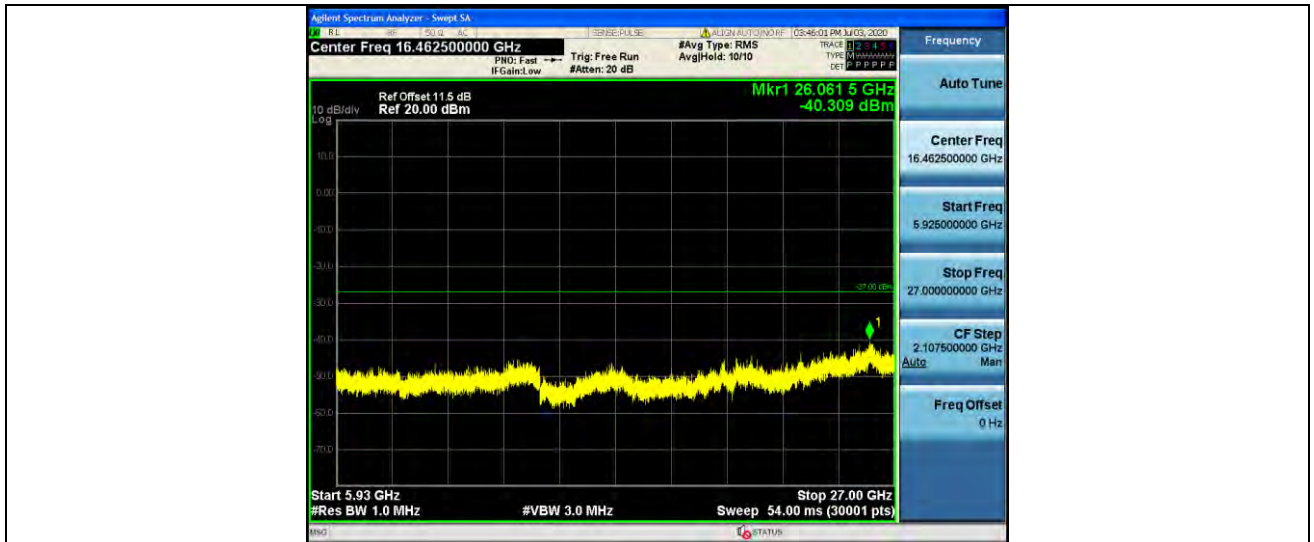
11AC20MIMO_Ant2_5700_5735-40000



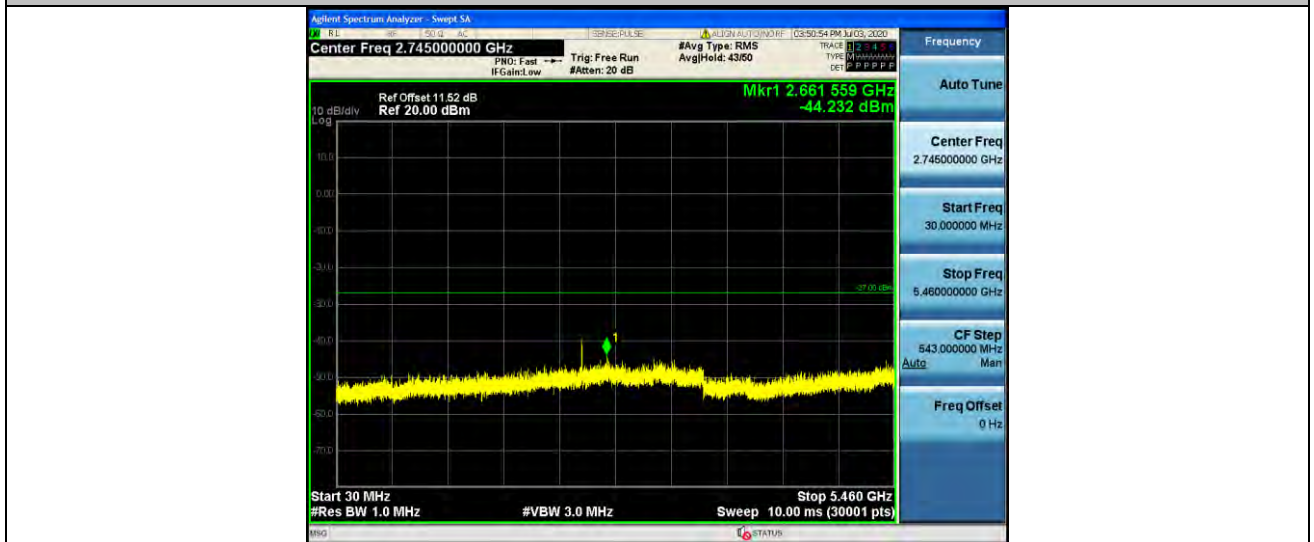
11AC20MIMO_Ant1_5720_30-5460



11AC20MIMO_Ant1_5720_5925-40000



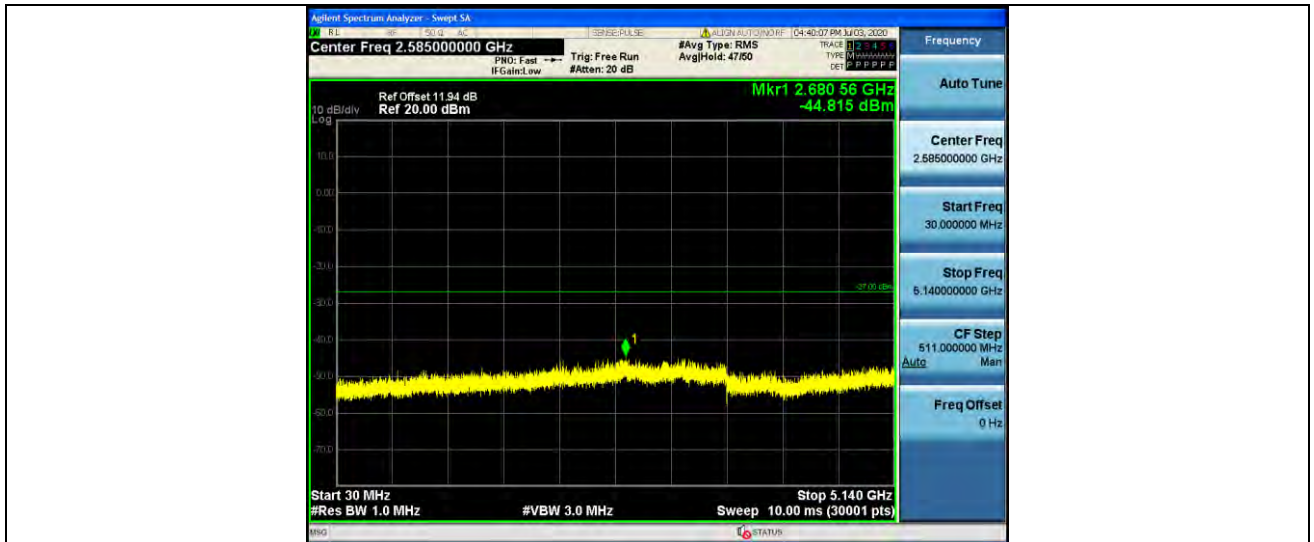
11AC20MIMO_Ant2_5720_30~5460



11AC20MIMO_Ant2_5720_5925~40000



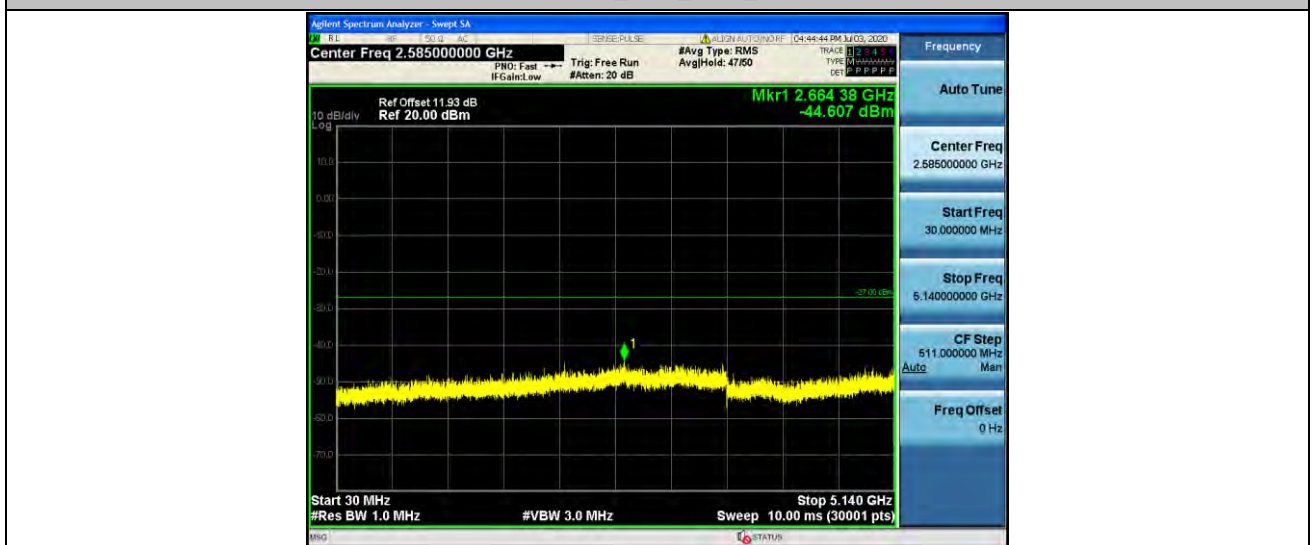
11AC40MIMO_Ant1_5270_30~5140



11AC40MIMO_Ant1_5270_5360~40000



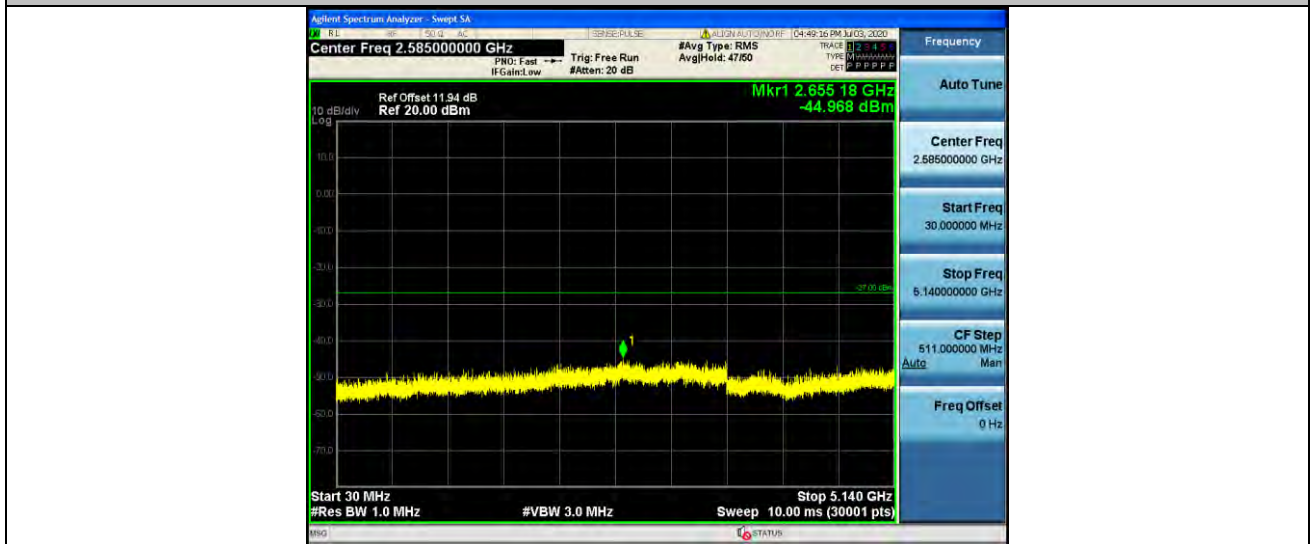
11AC40MIMO_Ant2_5270_30~5140



11AC40MIMO_Ant2_5270_5360~40000



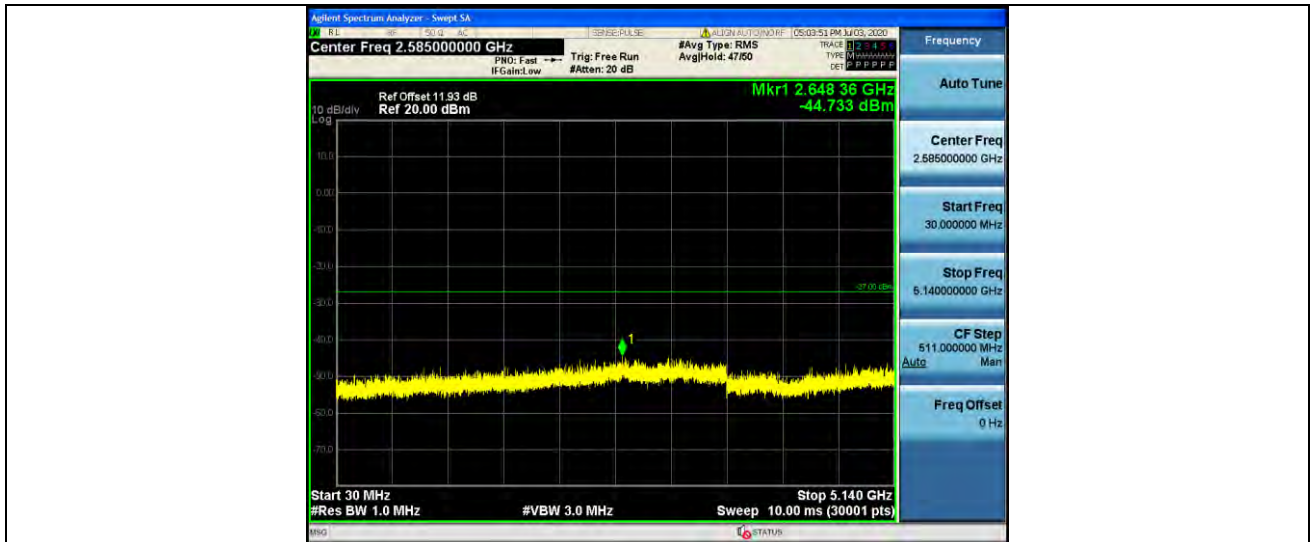
11AC40MIMO_Ant1_5310_30~5140



11AC40MIMO_Ant1_5310_5360~40000



11AC40MIMO_Ant2_5310_30~5140



11AC40MIMO_Ant2_5310_5360-40000



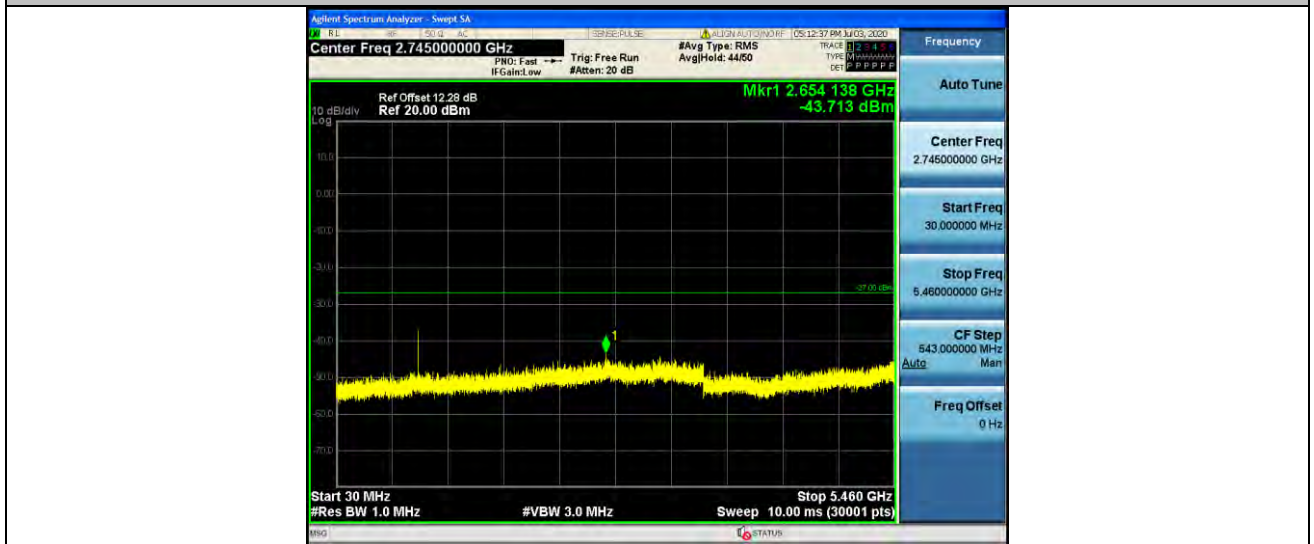
11AC40MIMO_Ant1_5510_30-5460



11AC40MIMO_Ant1_5510_5735-40000



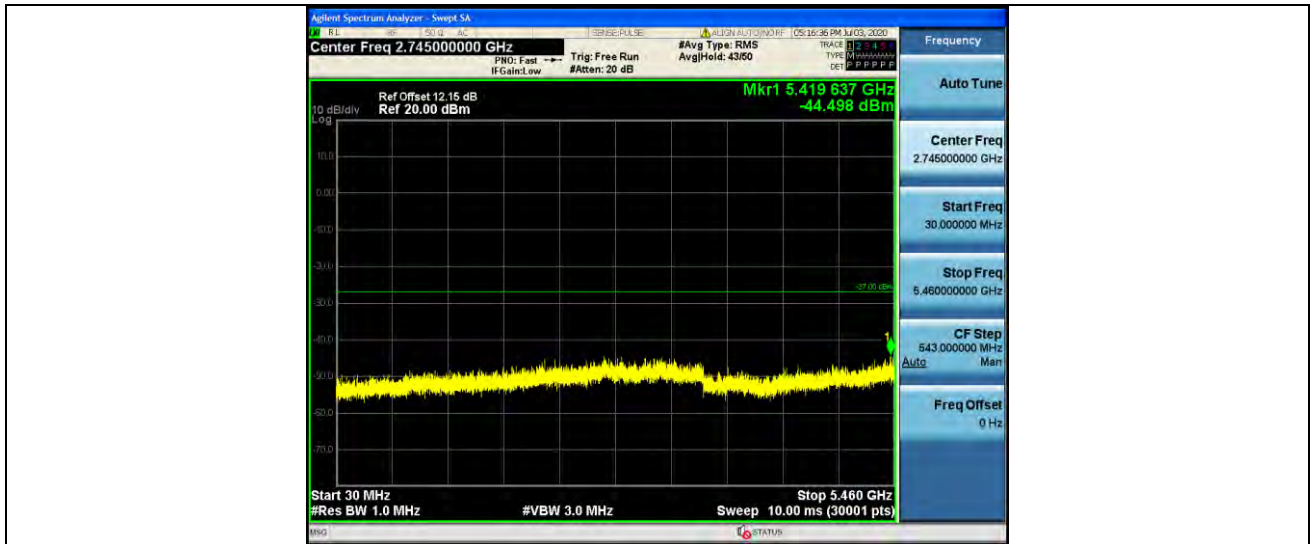
11AC40MIMO_Ant2_5510_30~5460



11AC40MIMO_Ant2_5510_5735~40000



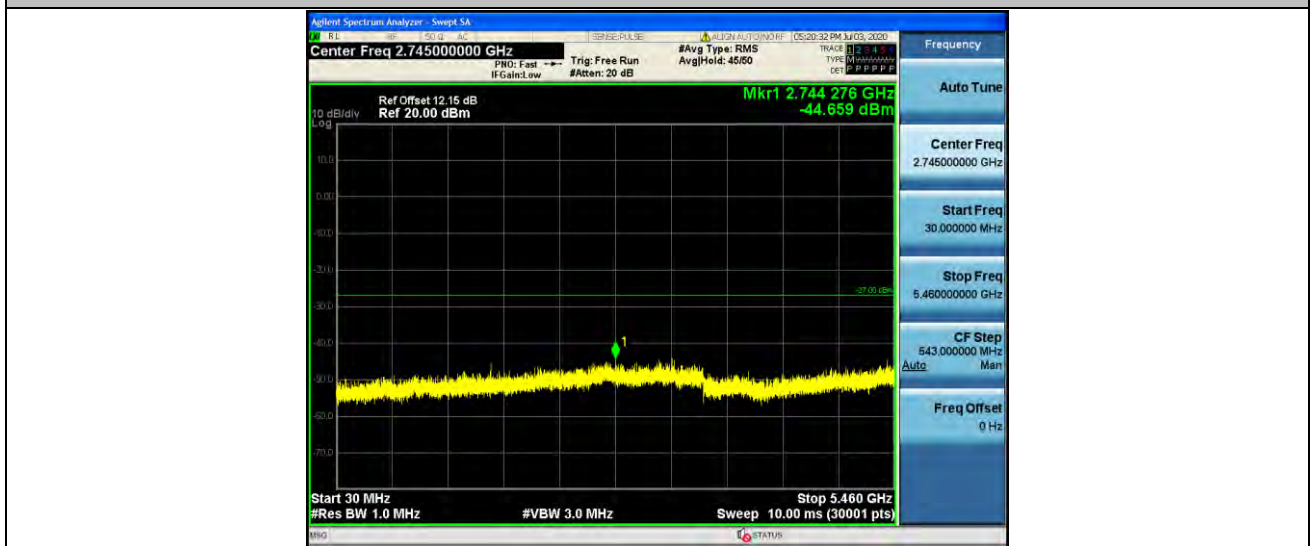
11AC40MIMO_Ant1_5550_30~5460



11AC40MIMO_Ant1_5550_5735~40000



11AC40MIMO_Ant2_5550_30~5460



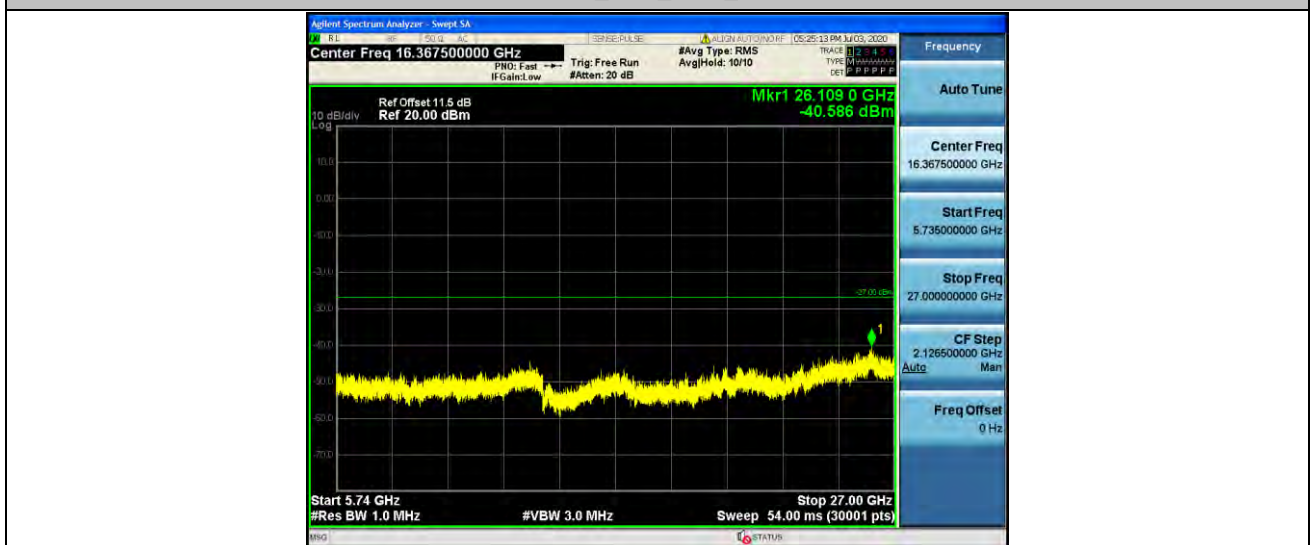
11AC40MIMO_Ant2_5550_5735~40000



11AC40MIMO_Ant1_5670_30~5460



11AC40MIMO_Ant1_5670_5735~40000



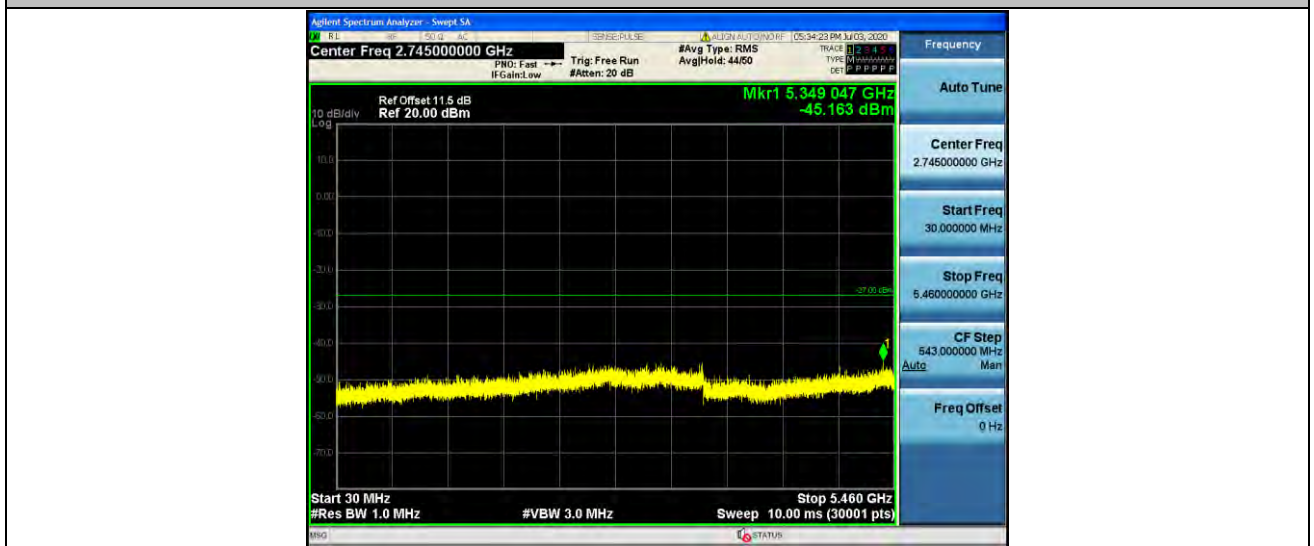
11AC40MIMO_Ant2_5670_30~5460



11AC40MIMO_Ant2_5670_5735-40000



11AC40MIMO_Ant1_5710_30-5460



11AC40MIMO_Ant1_5710_5925-40000



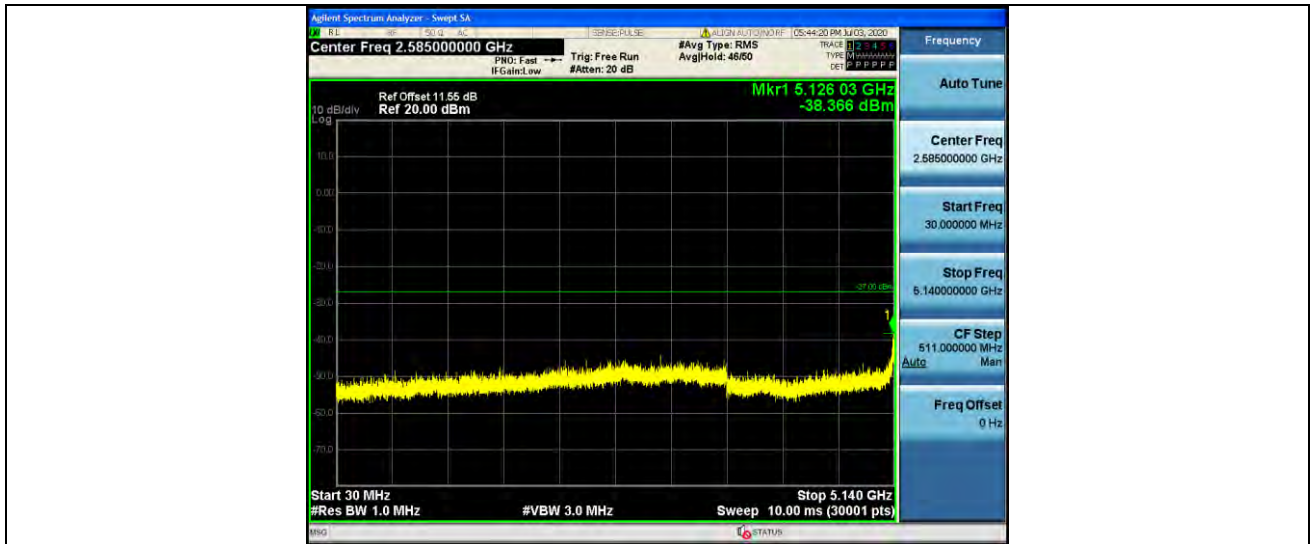
11AC40MIMO_Ant2_5710_30~5460



11AC40MIMO_Ant2_5710_5925~40000



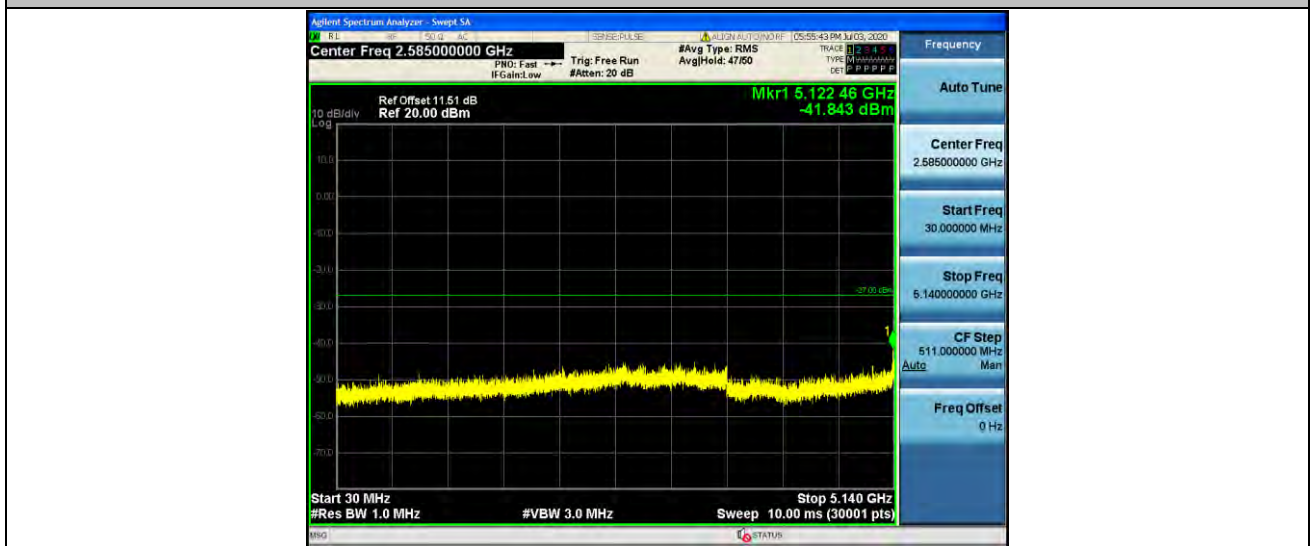
11AC80MIMO_Ant1_5210_30~5140



11AC80MIMO_Ant1_5210_5360~40000



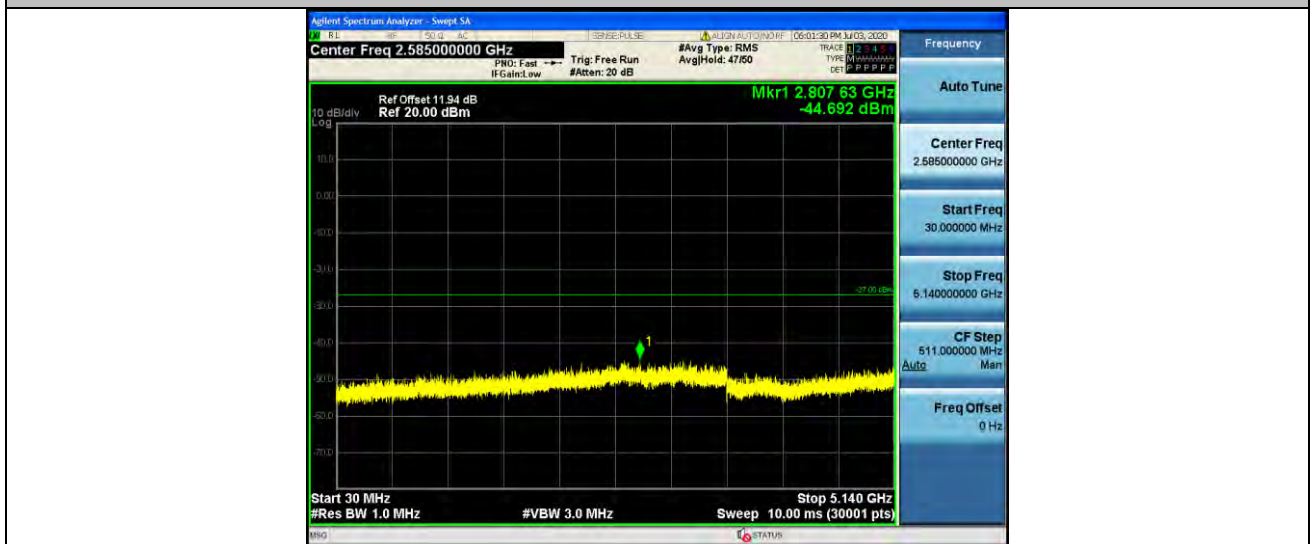
11AC80MIMO_Ant2_5210_30~5140



11AC80MIMO_Ant2_5210_5360~40000



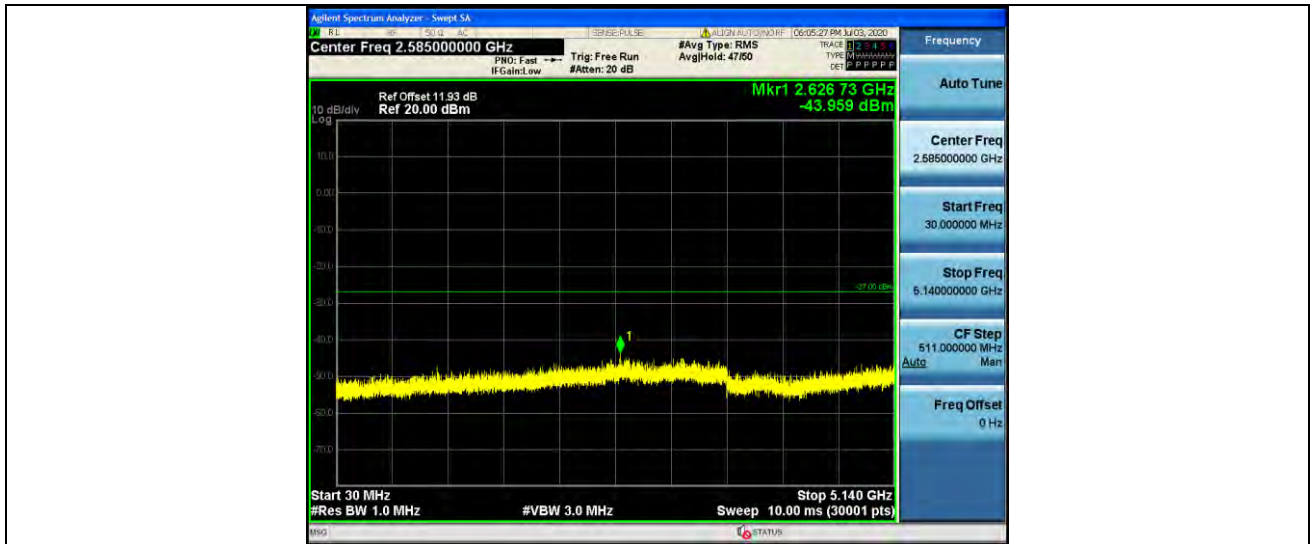
11AC80MIMO_Ant1_5290_30~5140



11AC80MIMO_Ant1_5290_5360~40000



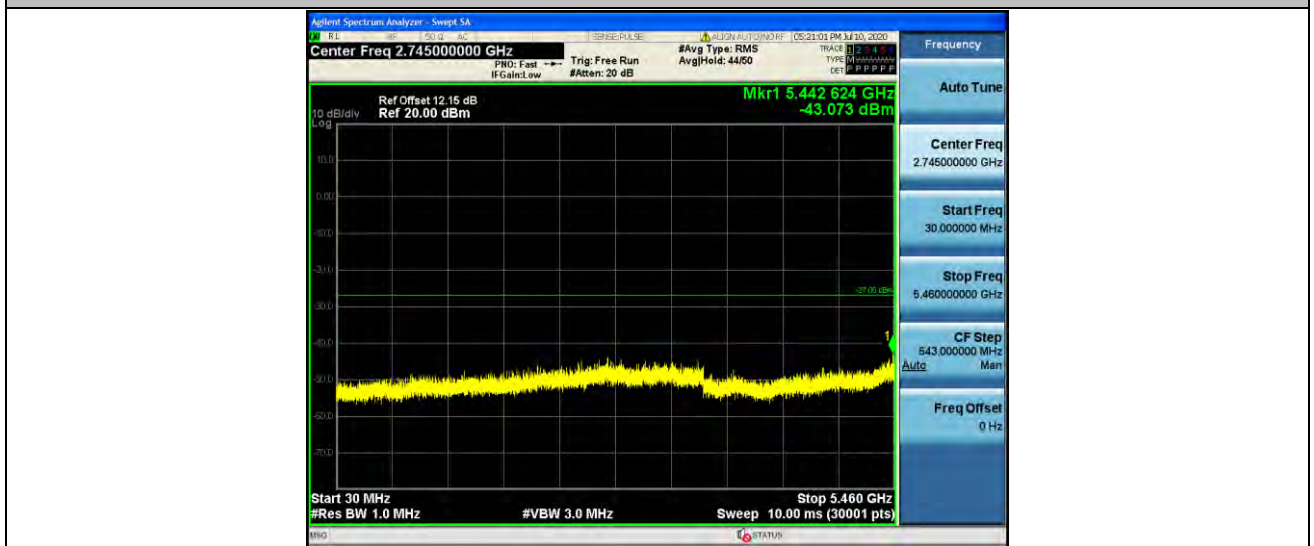
11AC80MIMO_Ant2_5290_30~5140



11AC80MIMO_Ant2_5290_5360-40000



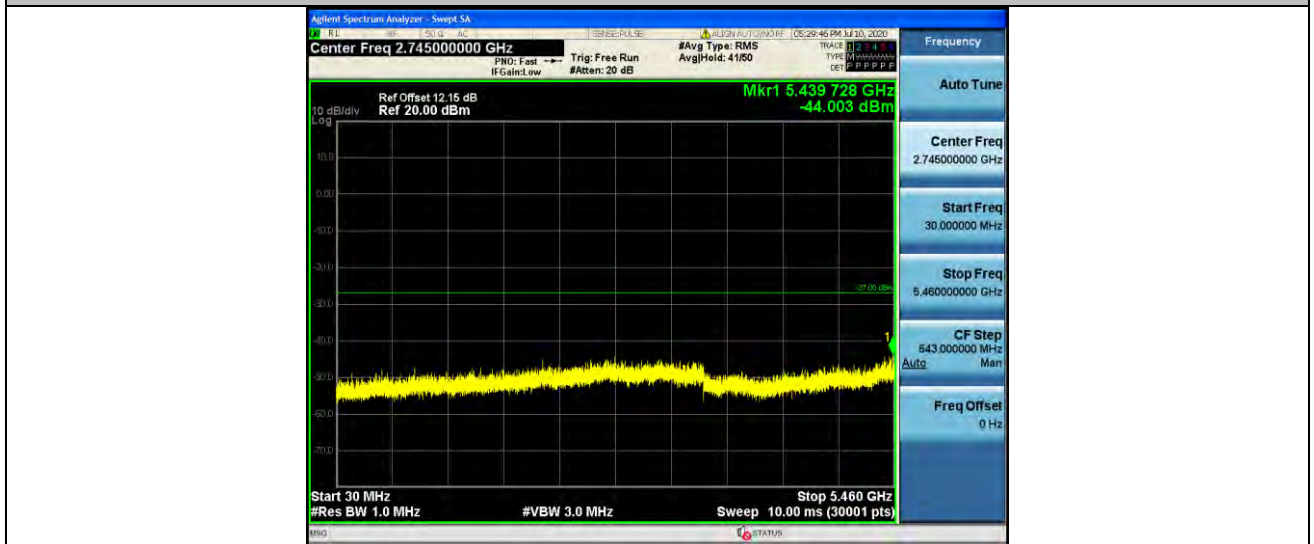
11AC80MIMO_Ant1_5530_30-5460



11AC80MIMO_Ant1_5530_5735-40000



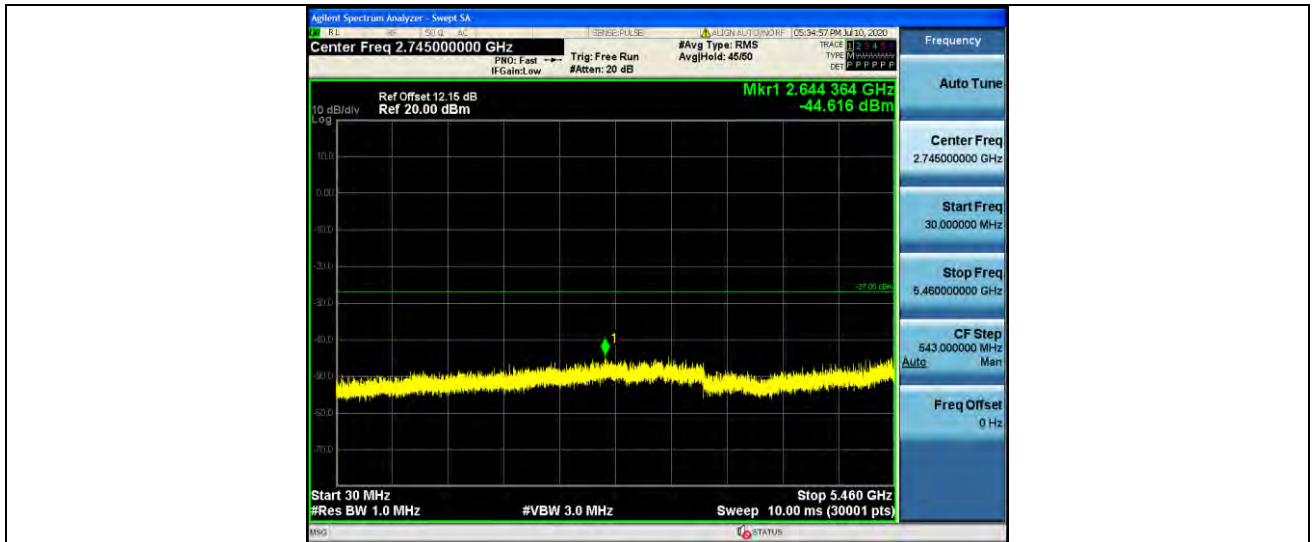
11AC80MIMO_Ant2_5530_30~5460



11AC80MIMO_Ant2_5530_5735~40000



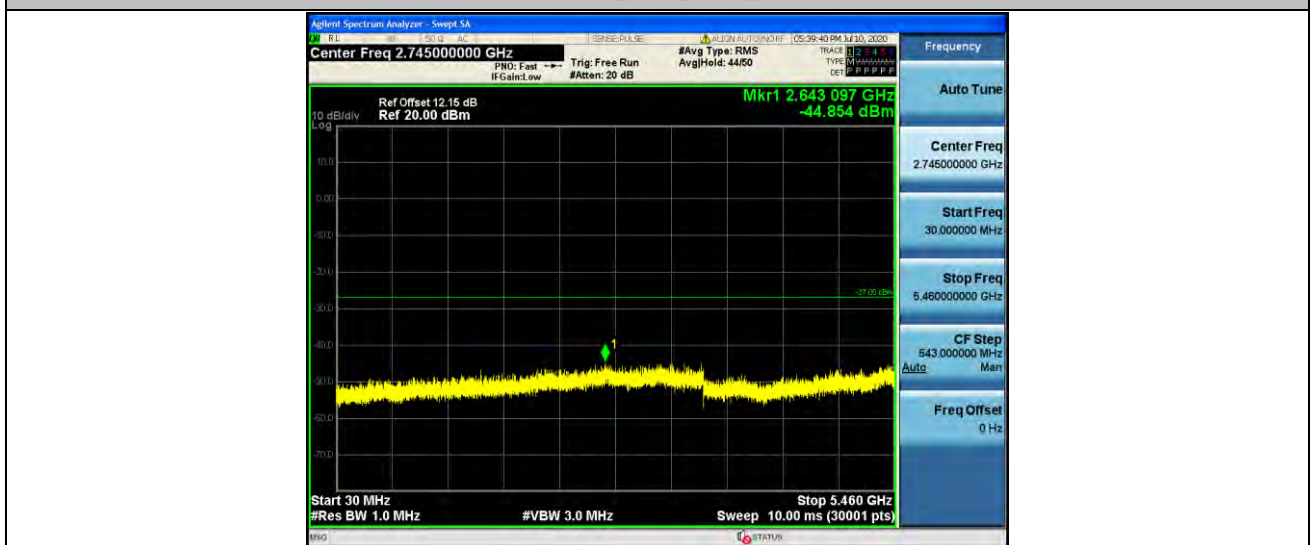
11AC80MIMO_Ant1_5610_30~5460



11AC80MIMO_Ant1_5610_5735-40000



11AC80MIMO_Ant2_5610_30-5460



11AC80MIMO_Ant2_5610_5735-40000



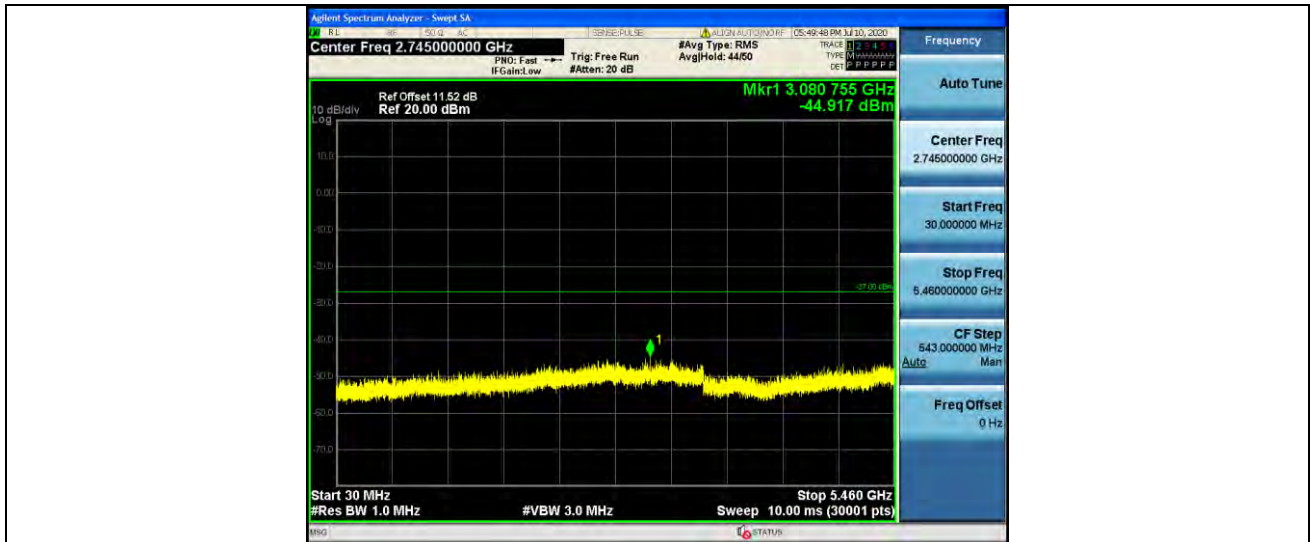
11AC80MIMO_Ant1_5690_30~5460



11AC80MIMO_Ant1_5690_5925~40000



11AC80MIMO_Ant2_5690_30~5460



11AC80MIMO_Ant2_5690_5925~40000



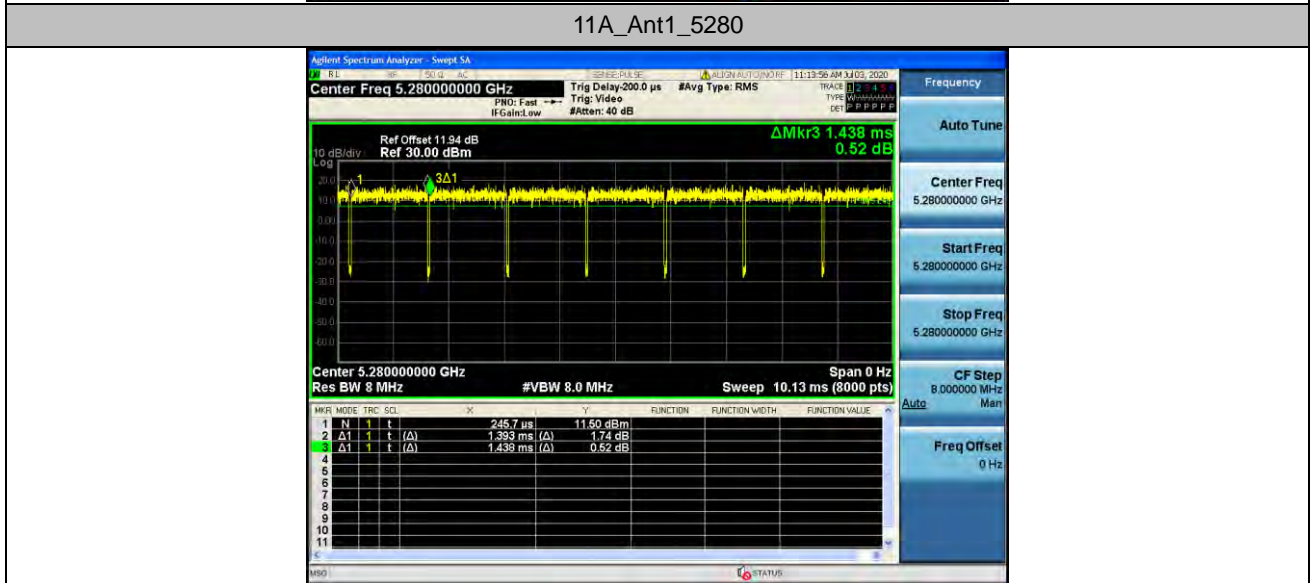
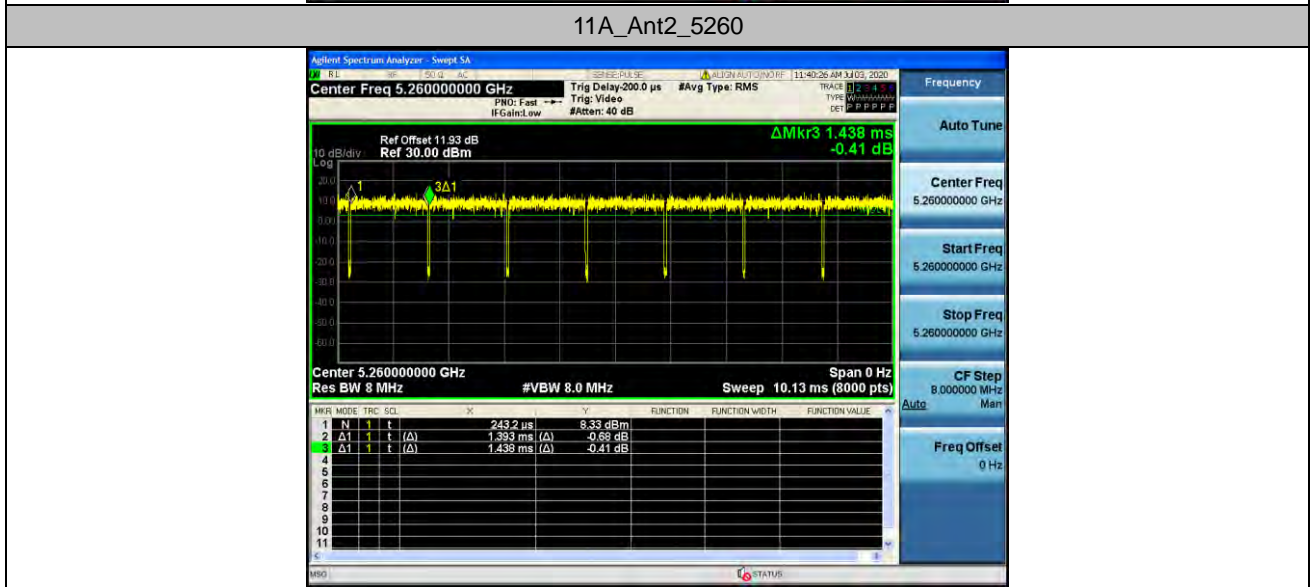
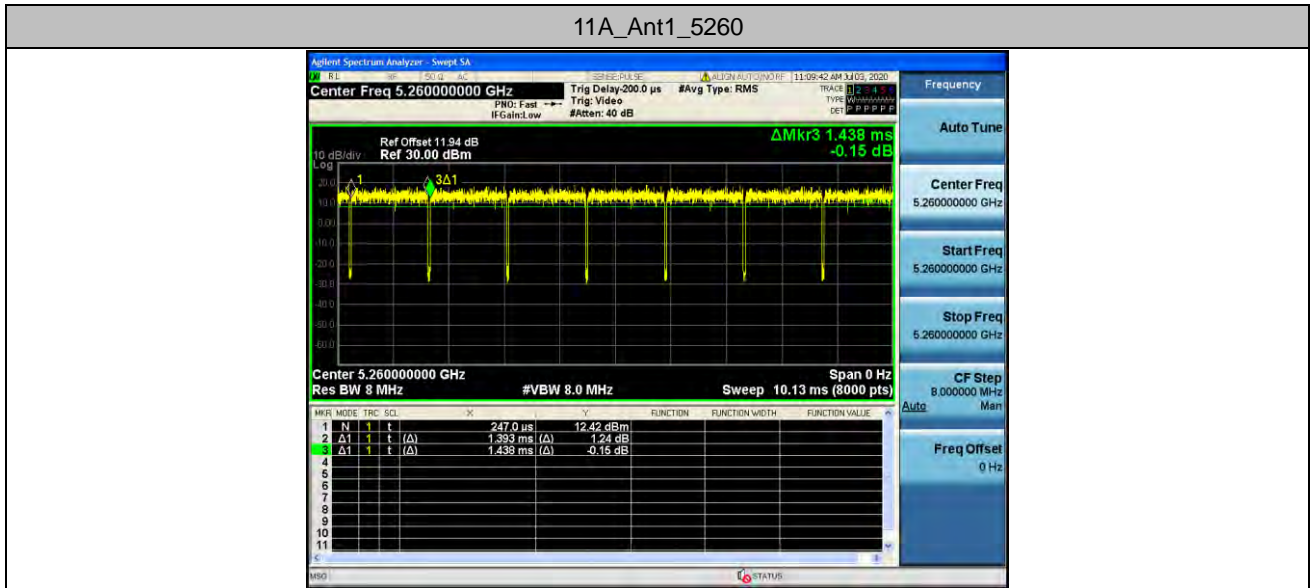
Appendix F: Duty Cycle

Test Result

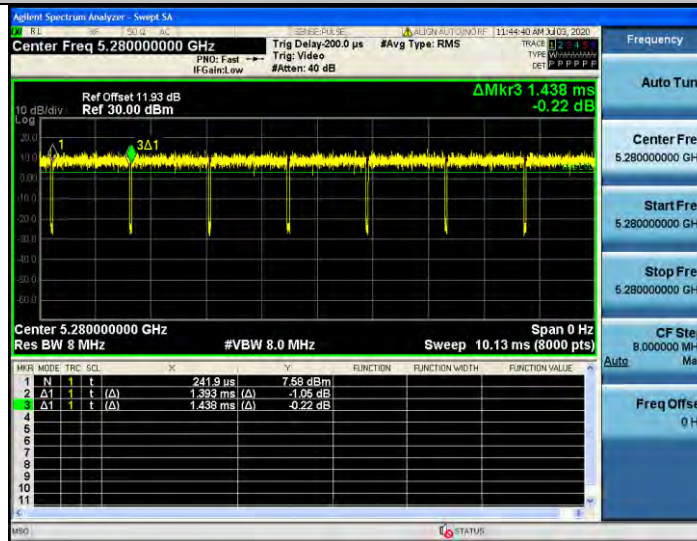
TestMode	Antenna	Channel	Transmission Duration [ms]	Transmission Period [ms]	Duty Cycle [%]
11A	Ant1	5260	1.39	1.44	96.92
	Ant2	5260	1.39	1.44	96.92
	Ant1	5280	1.39	1.44	96.92
	Ant2	5280	1.39	1.44	96.92
	Ant1	5320	1.39	1.44	97.00
	Ant2	5320	1.39	1.44	96.92
	Ant1	5500	1.39	1.44	96.92
	Ant2	5500	1.39	1.44	96.92
	Ant1	5580	1.39	1.44	96.92
	Ant2	5580	1.39	1.44	97.00
	Ant1	5700	1.39	1.44	96.92
	Ant2	5700	1.39	1.44	97.00
	Ant1	5720	1.39	1.44	96.92
	Ant2	5720	1.39	1.44	97.00
11N20MIMO	Ant1	5260	0.16	0.21	79.01
	Ant2	5260	0.16	0.21	78.40
	Ant1	5280	0.16	0.21	78.40
	Ant2	5280	0.16	0.21	79.01
	Ant1	5320	0.16	0.21	79.01
	Ant2	5320	0.16	0.21	78.40
	Ant1	5500	0.16	0.21	79.01
	Ant2	5500	0.16	0.21	78.40
	Ant1	5580	0.16	0.21	78.53
	Ant2	5580	0.16	0.21	79.01
	Ant1	5700	0.16	0.21	79.01
	Ant2	5700	0.16	0.21	78.40
	Ant1	5720	0.16	0.21	79.01
	Ant2	5720	0.16	0.21	78.40
11N40MIMO	Ant1	5270	0.10	0.14	69.37
	Ant2	5270	0.10	0.14	69.64
	Ant1	5310	0.10	0.14	68.75
	Ant2	5310	0.10	0.14	68.75
	Ant1	5510	0.10	0.14	69.37
	Ant2	5510	0.10	0.14	69.37
	Ant1	5550	0.10	0.14	68.75
	Ant2	5550	0.10	0.14	68.75
	Ant1	5670	0.10	0.14	69.37

	Ant2	5670	0.10	0.14	69.37
	Ant1	5710	0.10	0.14	69.37
	Ant2	5710	0.10	0.14	68.75
11AC20MIMO	Ant1	5260	0.15	0.19	77.18
	Ant2	5260	0.15	0.19	77.18
	Ant1	5280	0.15	0.19	77.18
	Ant2	5280	0.15	0.19	76.67
	Ant1	5320	0.15	0.19	77.18
	Ant2	5320	0.15	0.19	76.67
	Ant1	5500	0.15	0.19	76.67
	Ant2	5500	0.15	0.19	77.18
	Ant1	5580	0.15	0.19	77.18
	Ant2	5580	0.15	0.19	77.18
	Ant1	5700	0.15	0.19	77.18
	Ant2	5700	0.15	0.19	77.18
	Ant1	5720	0.15	0.19	77.18
	Ant2	5720	0.15	0.19	77.18
11AC40MIMO	Ant1	5270	0.09	0.13	66.67
	Ant2	5270	0.09	0.13	66.67
	Ant1	5310	0.08	0.13	65.69
	Ant2	5310	0.08	0.13	65.69
	Ant1	5510	0.09	0.13	66.02
	Ant2	5510	0.09	0.13	66.67
	Ant1	5550	0.09	0.13	66.67
	Ant2	5550	0.08	0.13	65.69
	Ant1	5670	0.08	0.13	65.69
	Ant2	5670	0.08	0.13	65.69
	Ant1	5710	0.09	0.13	66.67
	Ant2	5710	0.08	0.13	65.69
11AC80MIMO	Ant1	5210	0.06	0.11	59.04
	Ant2	5210	0.06	0.10	64.00
	Ant1	5290	0.06	0.11	57.83
	Ant2	5290	0.06	0.11	60.24
	Ant1	5530	0.06	0.11	59.04
	Ant2	5530	0.06	0.11	59.04
	Ant1	5610	0.06	0.10	59.76
	Ant2	5610	0.06	0.10	59.76
	Ant1	5690	0.06	0.10	58.54
	Ant2	5690	0.06	0.11	59.04

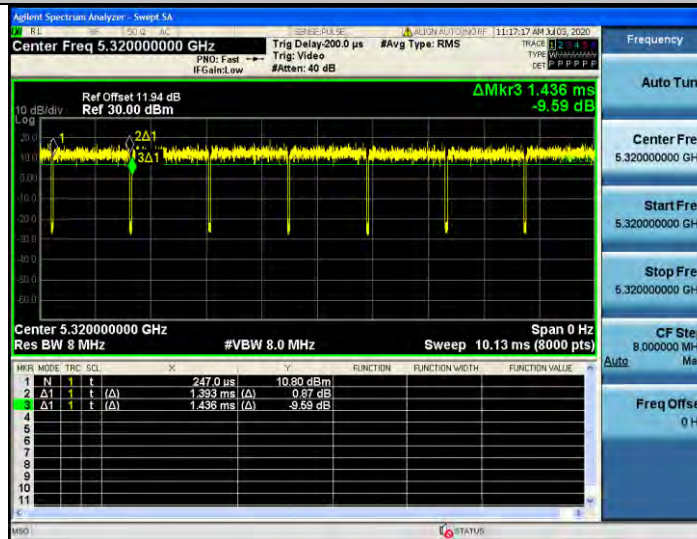
Test Graphs



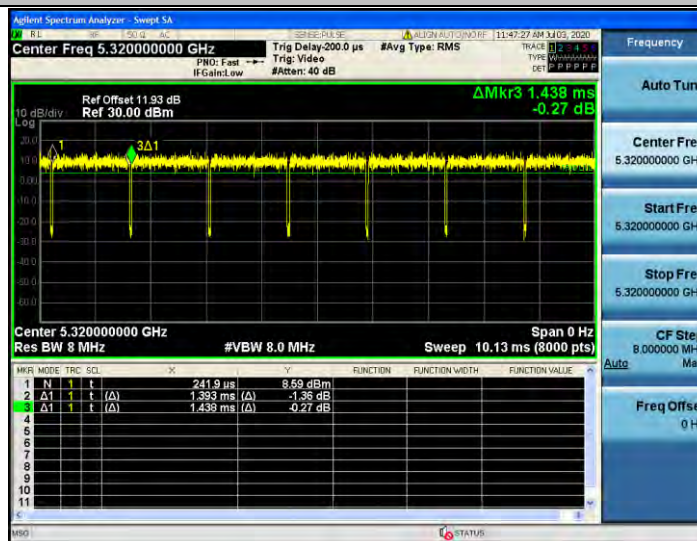
11A_Ant2_5280



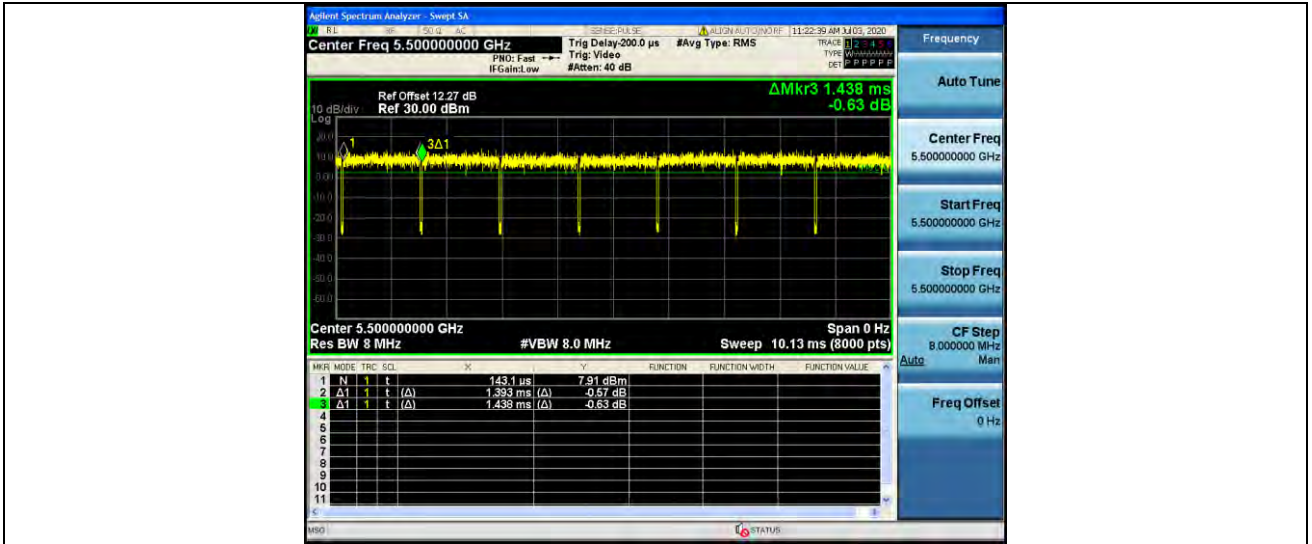
11A_Ant1_5320



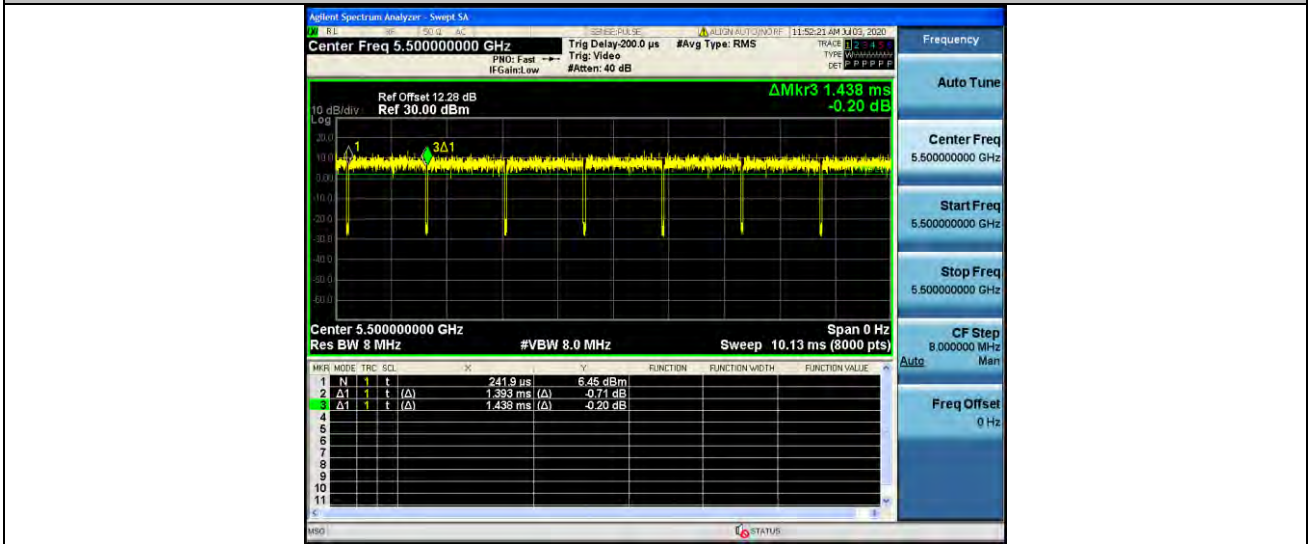
11A_Ant2_5320



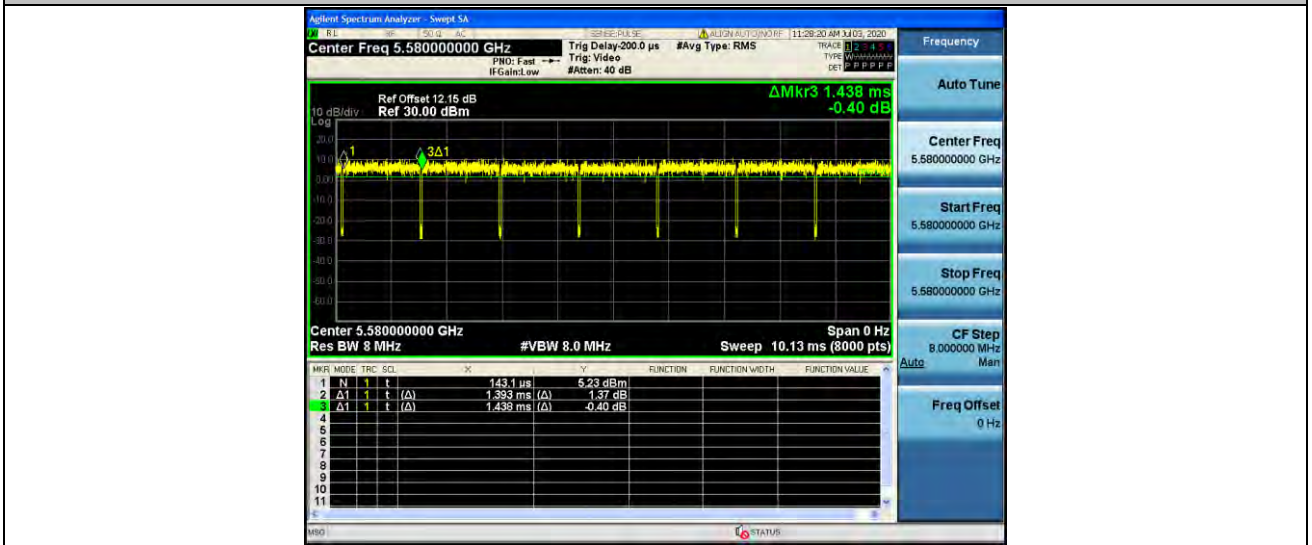
11A_Ant1_5500



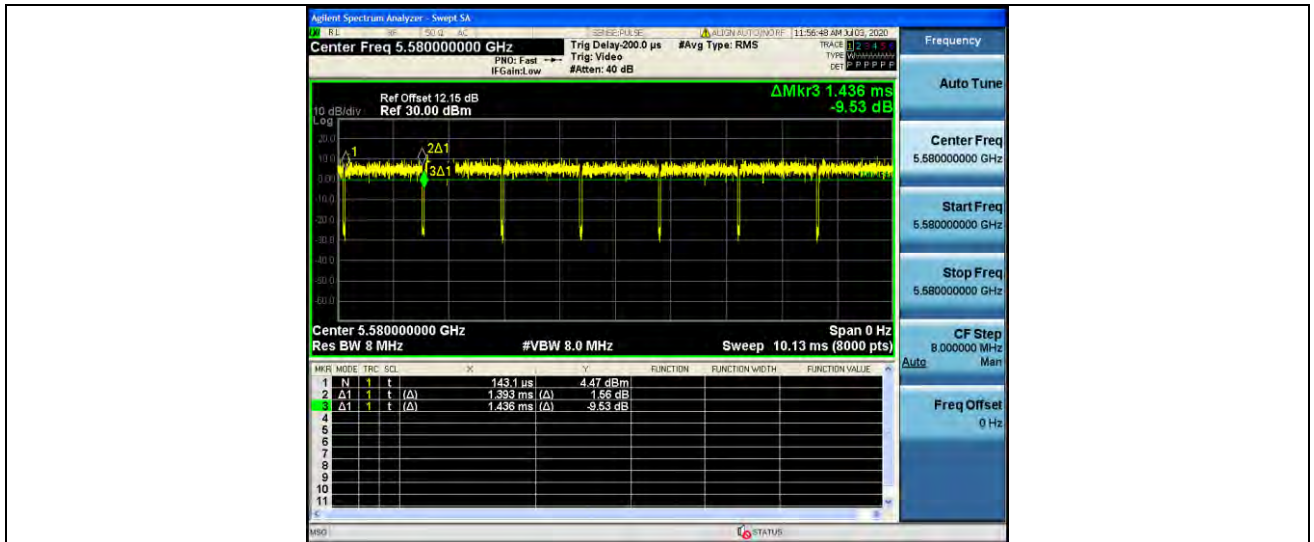
11A_Ant2_5500



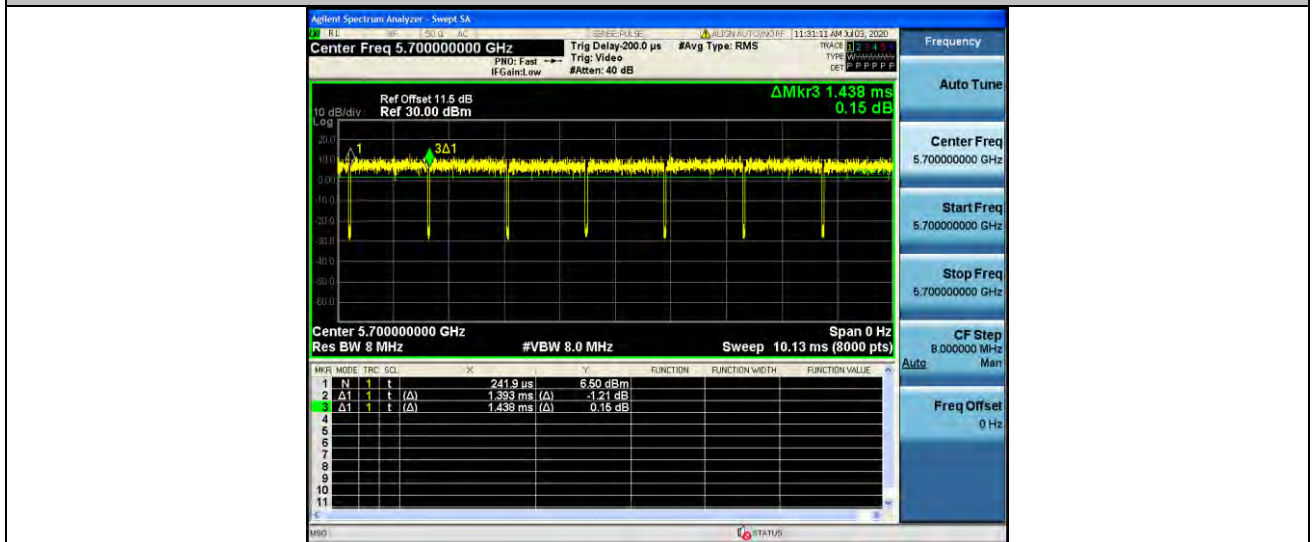
11A_Ant1_5580



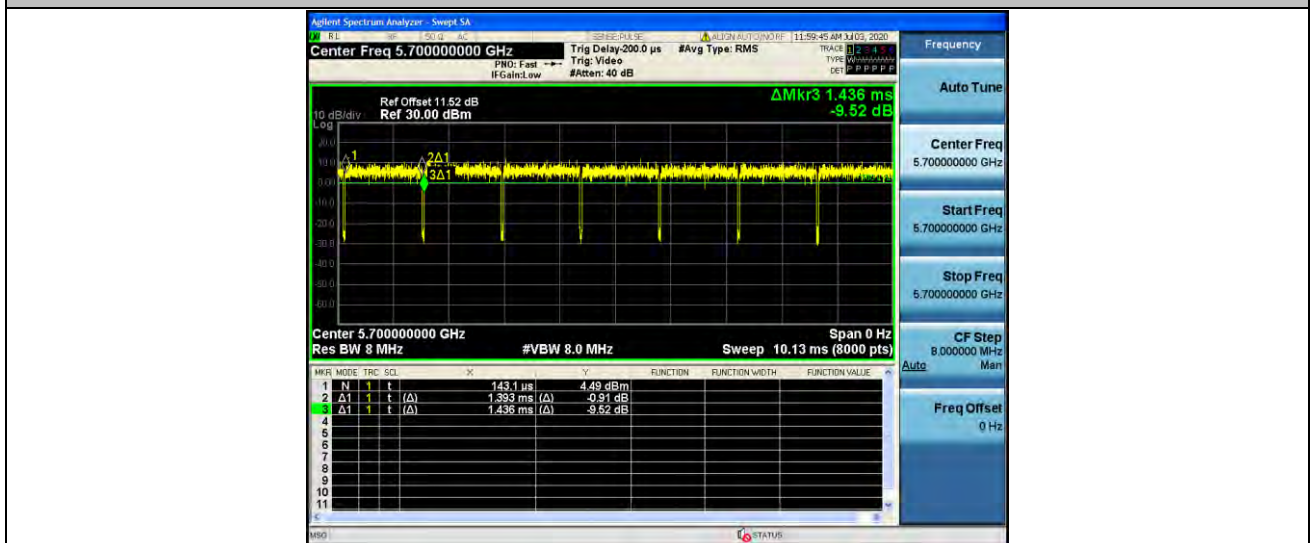
11A_Ant2_5580



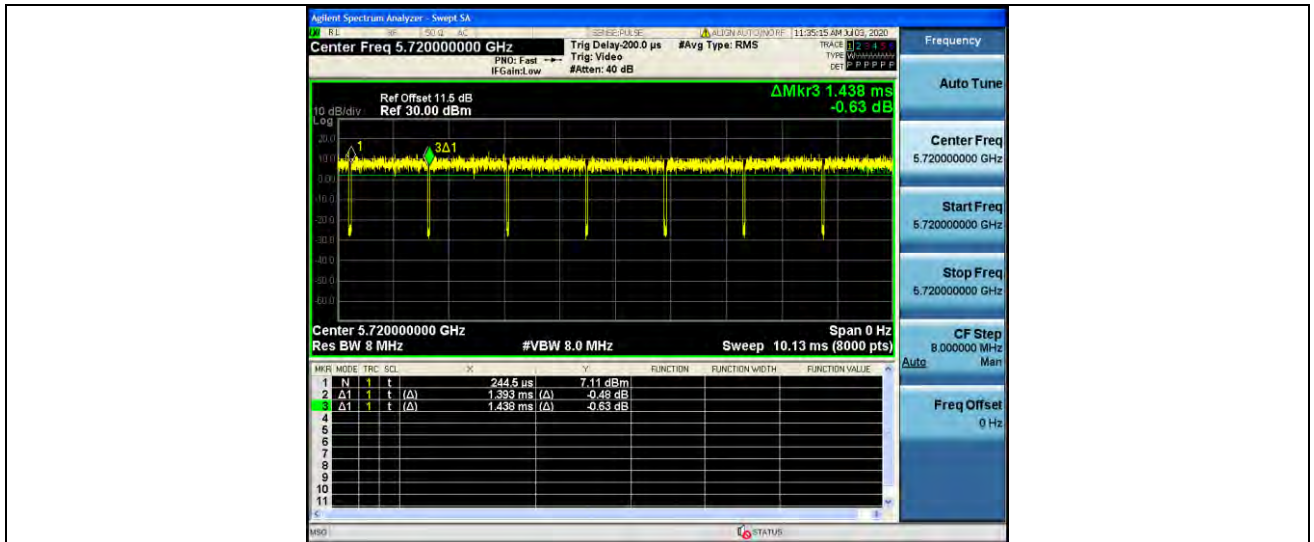
11A_Ant1_5700



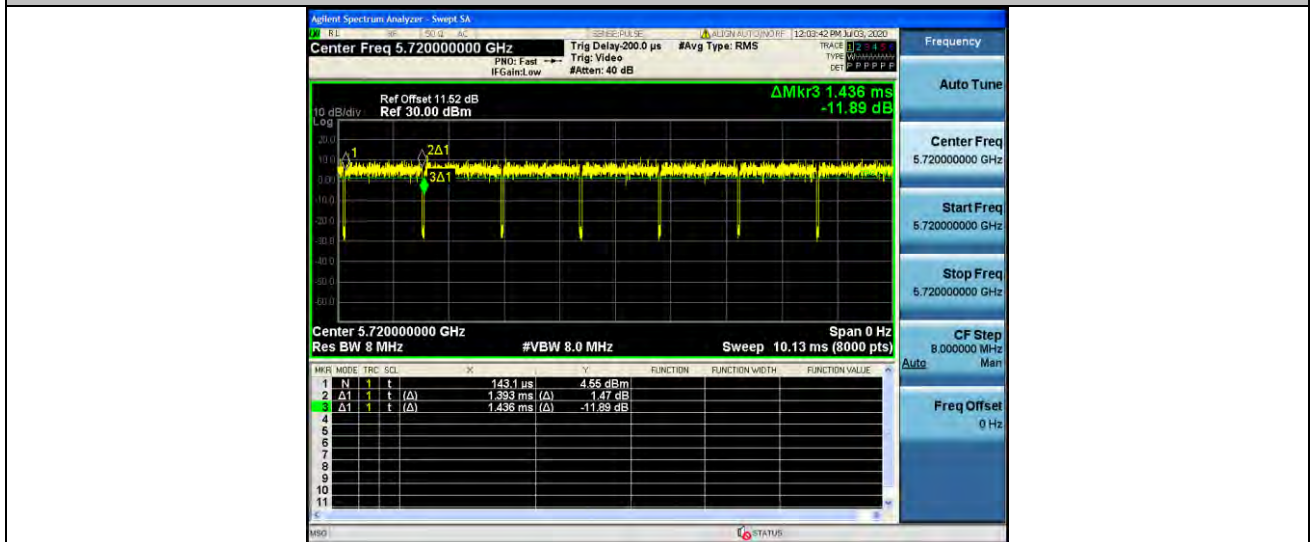
11A_Ant2_5700



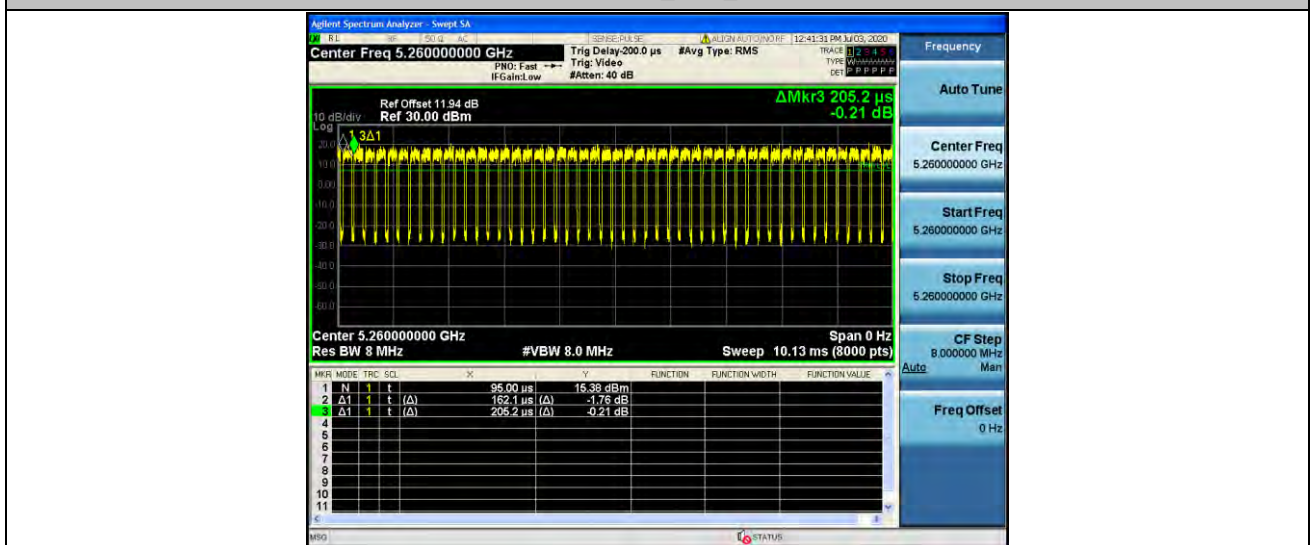
11A_Ant1_5720



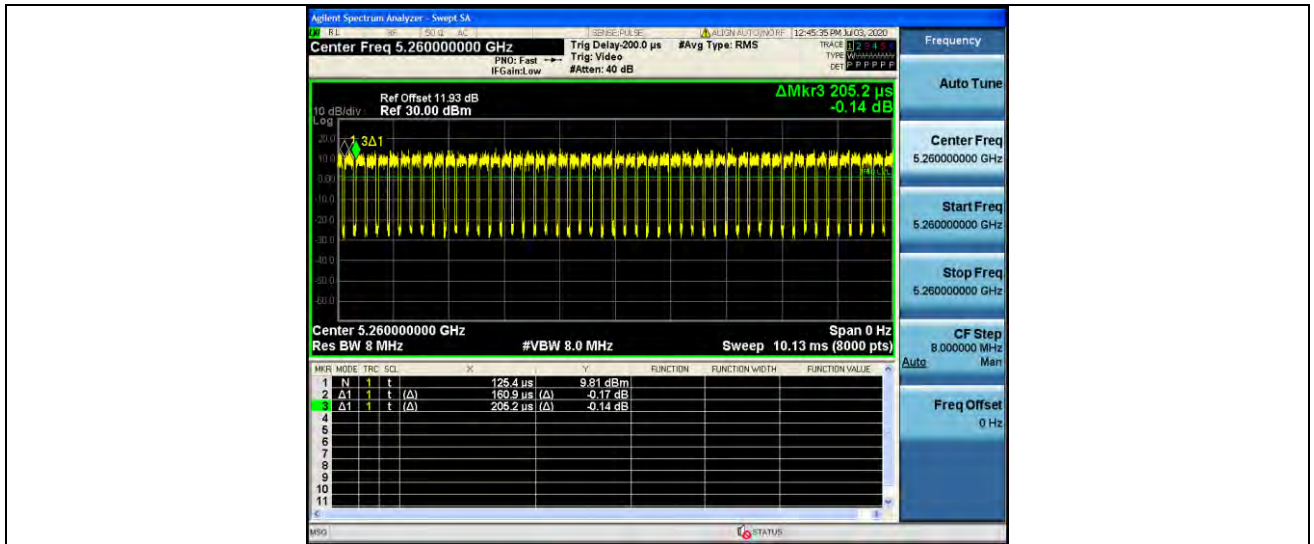
11A_Ant2_5720



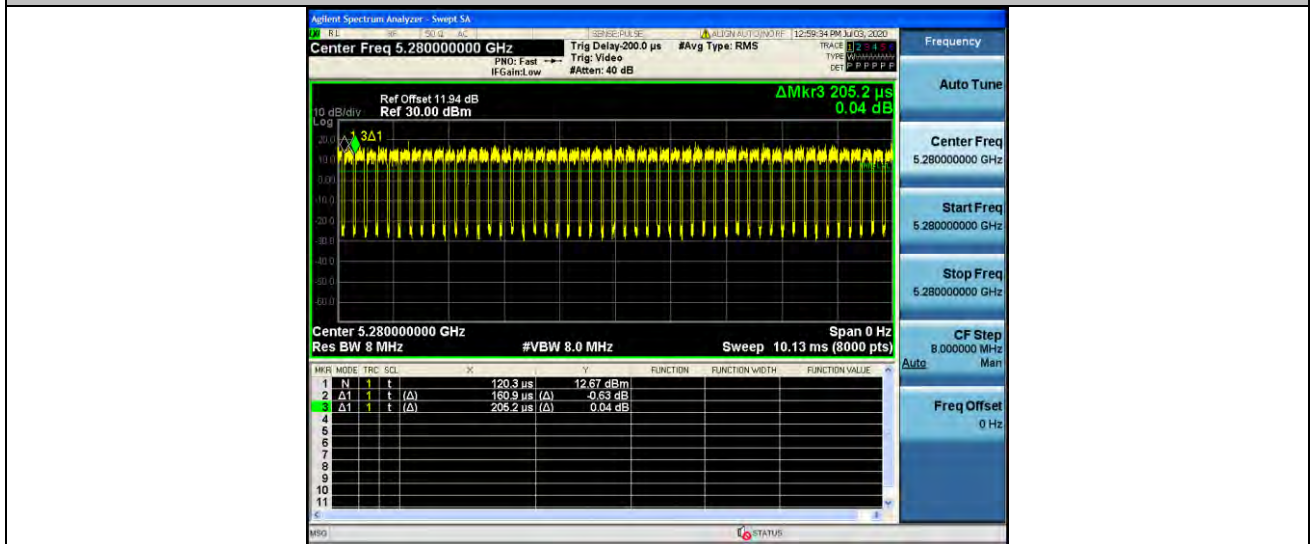
11N20MIMO_Ant1_5260



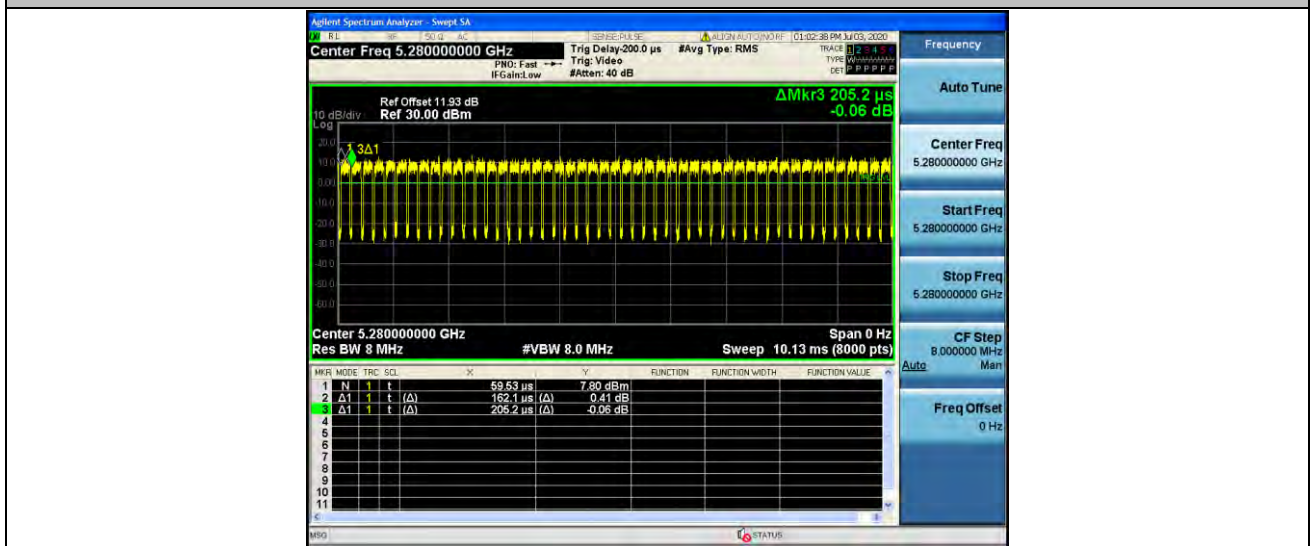
11N20MIMO_Ant2_5260



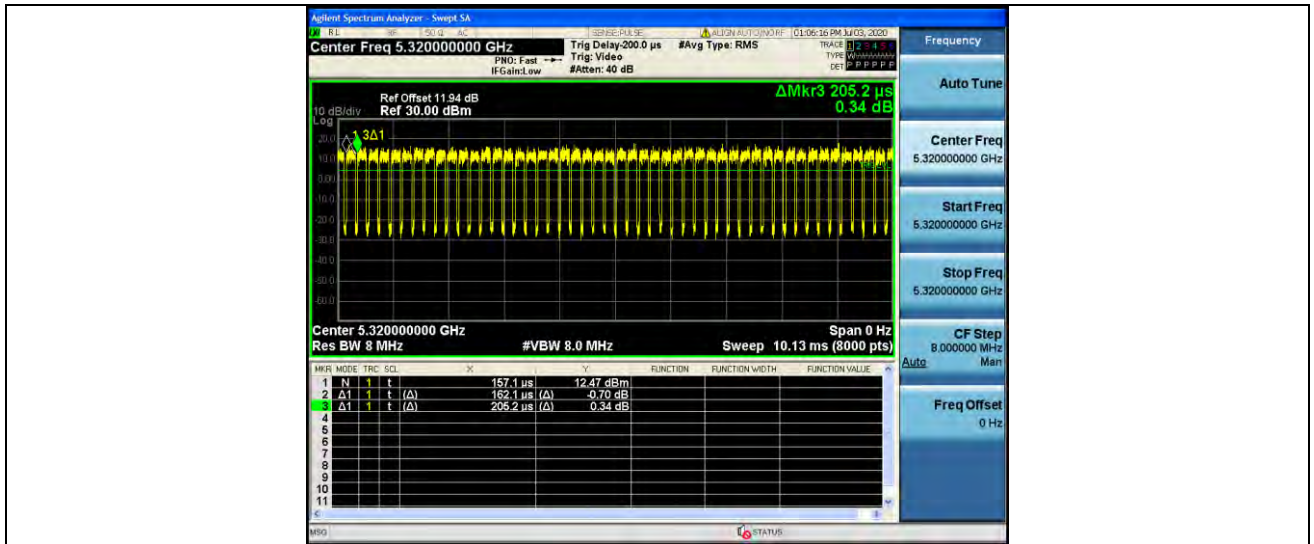
11N20MIMO_Ant1_5280



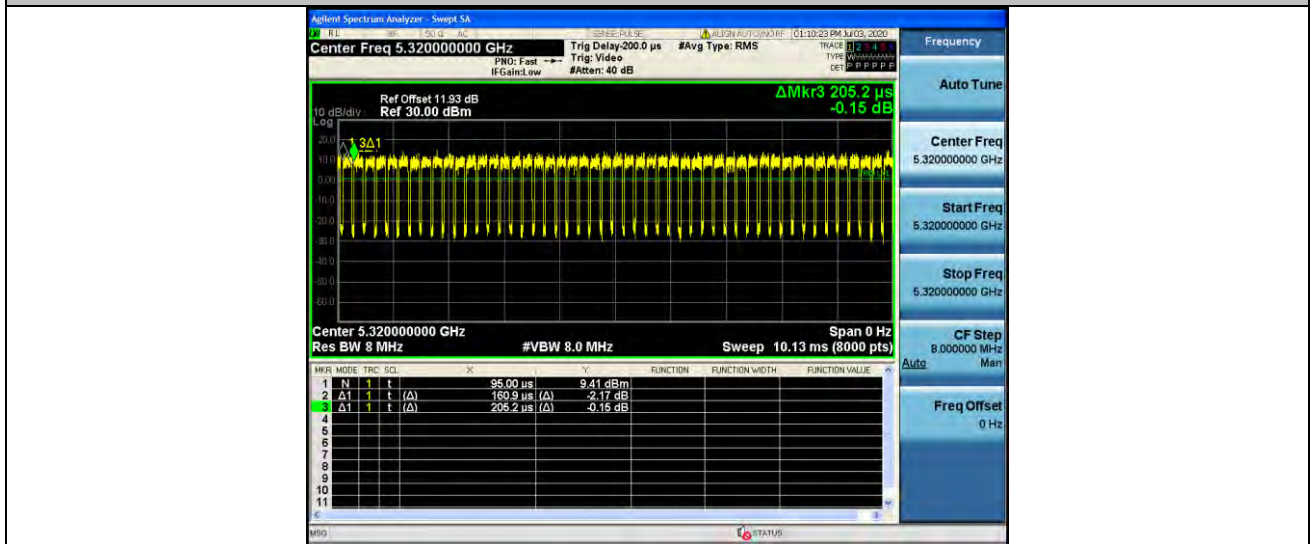
11N20MIMO_Ant2_5280



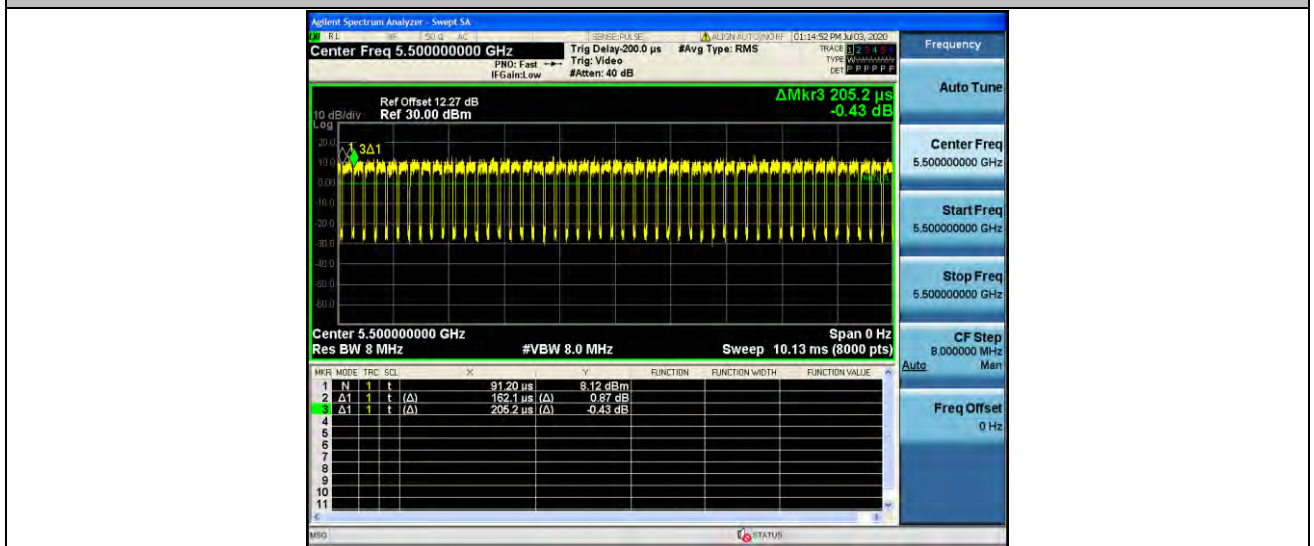
11N20MIMO_Ant1_5320



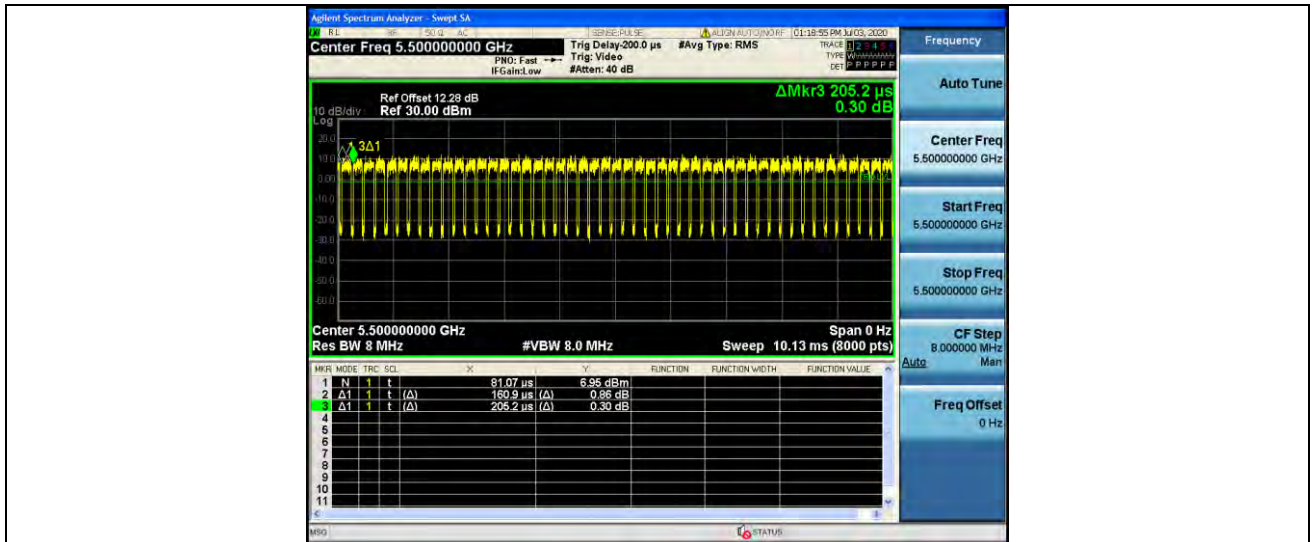
11N20MIMO_Ant2_5320



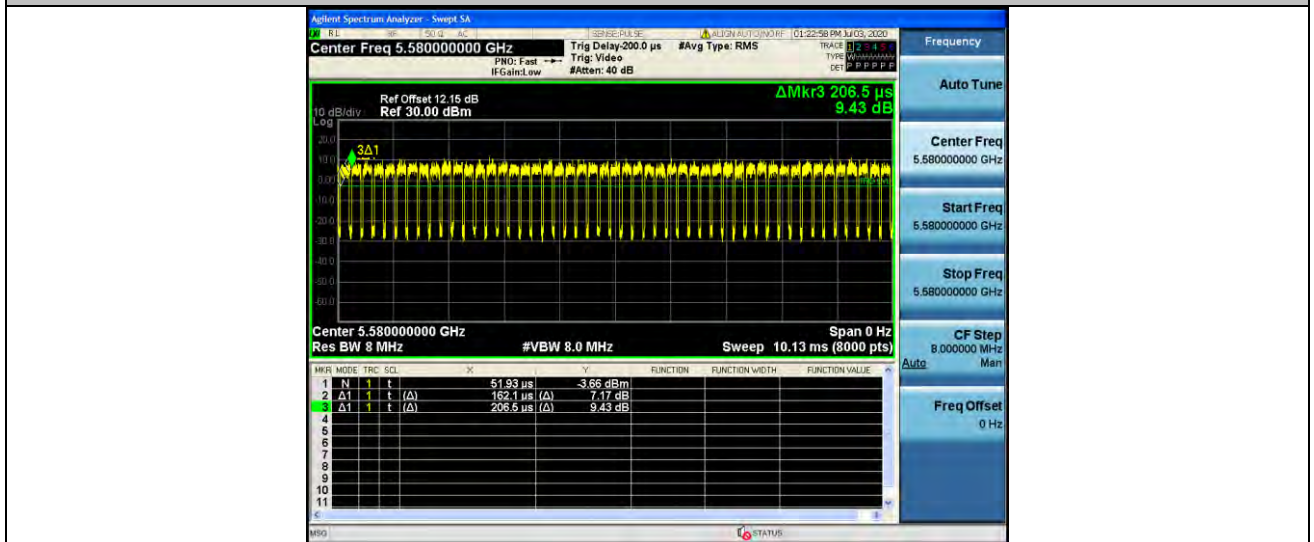
11N20MIMO_Ant1_5500



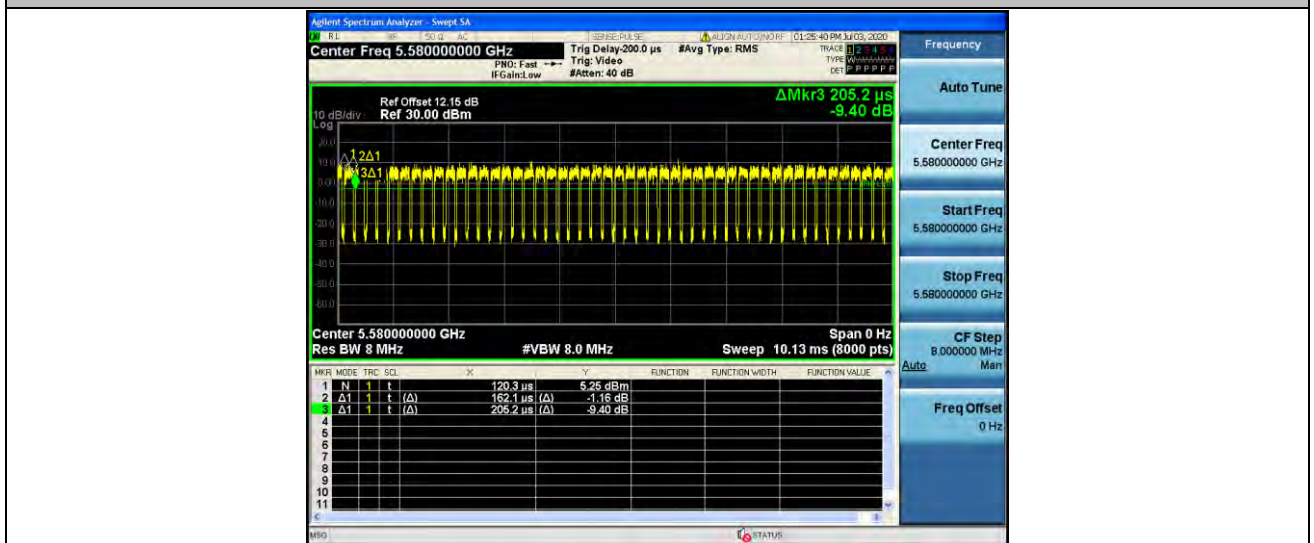
11N20MIMO_Ant2_5500



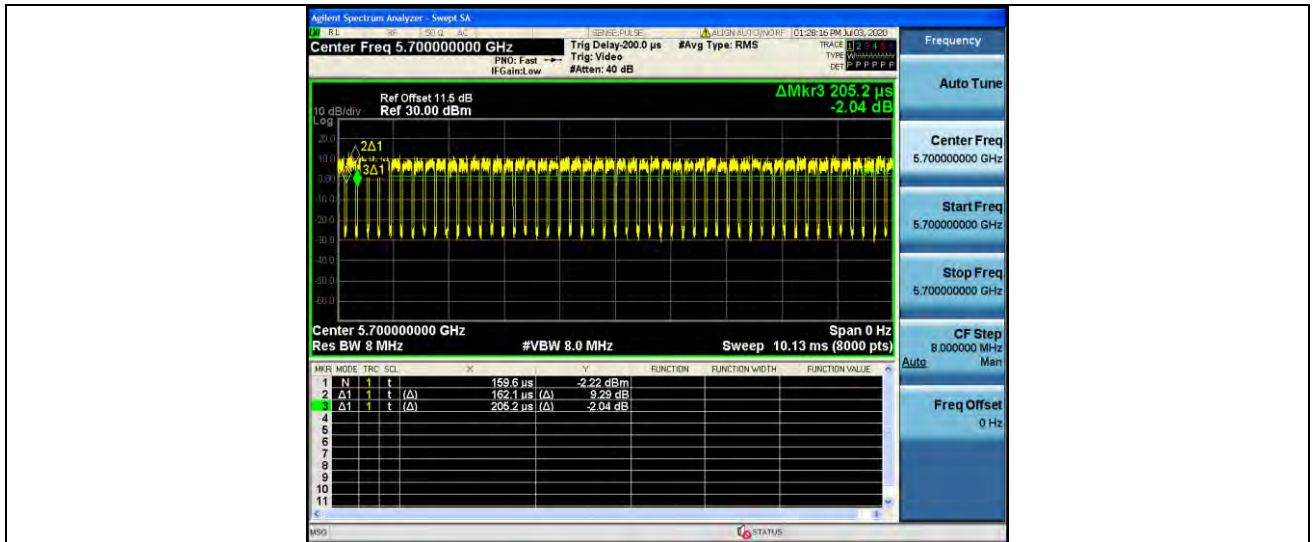
11N20MIMO_Ant1_5580



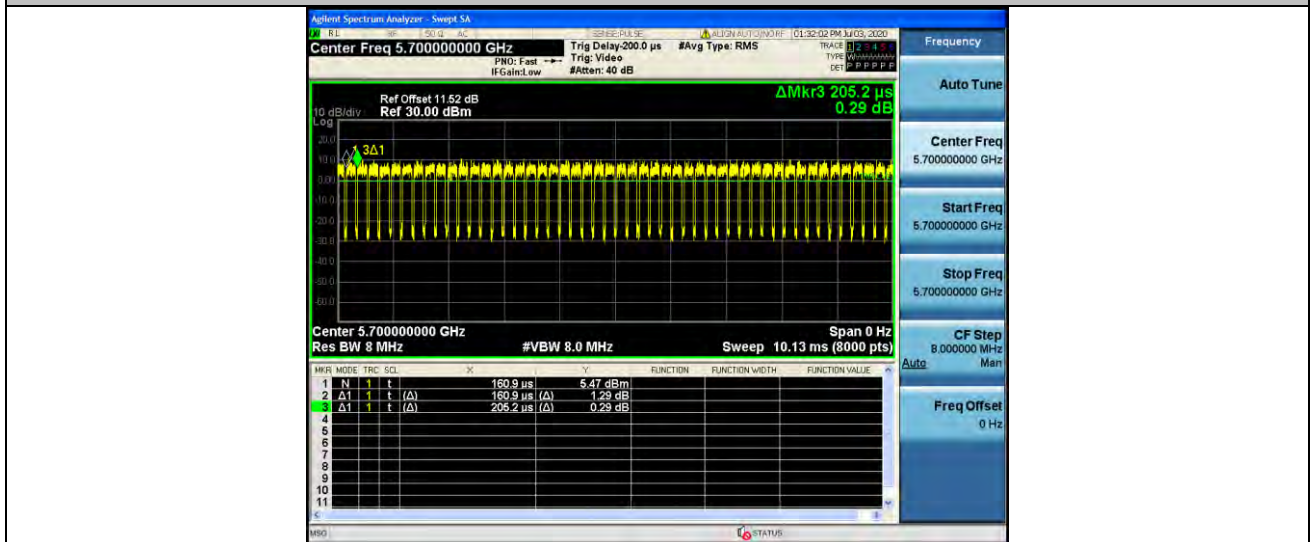
11N20MIMO_Ant2_5580



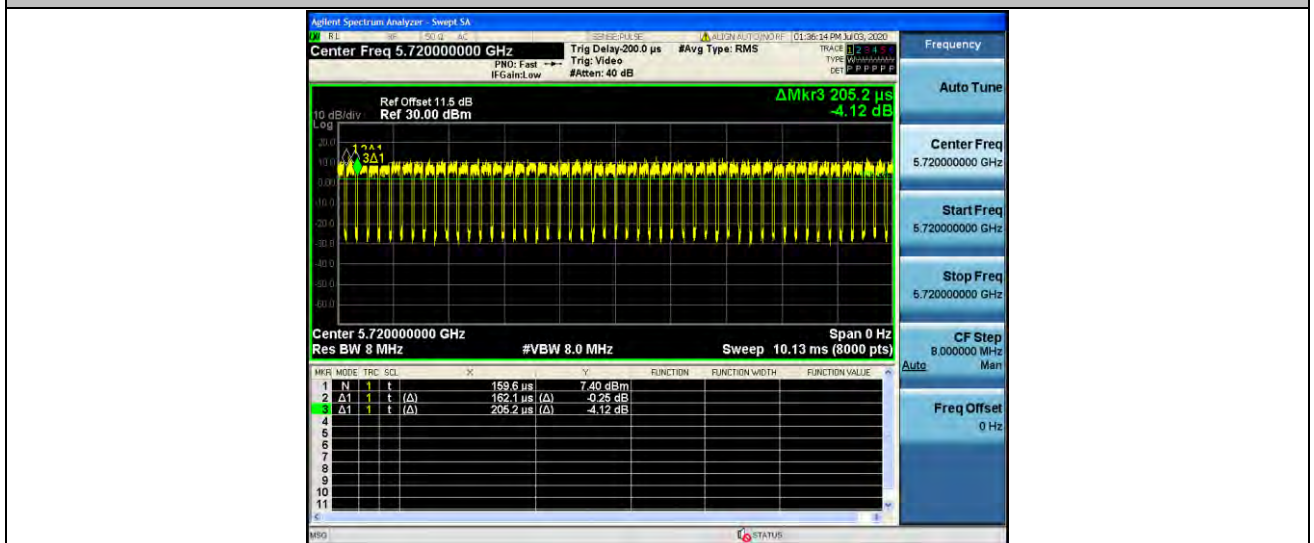
11N20MIMO_Ant1_5700



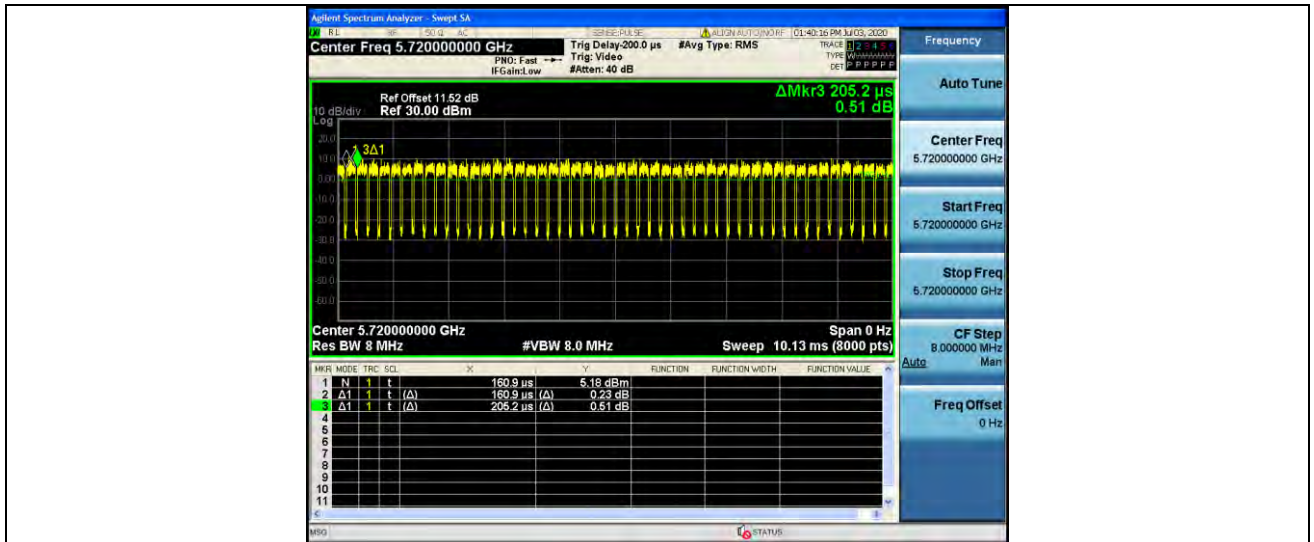
11N20MIMO_Ant2_5700



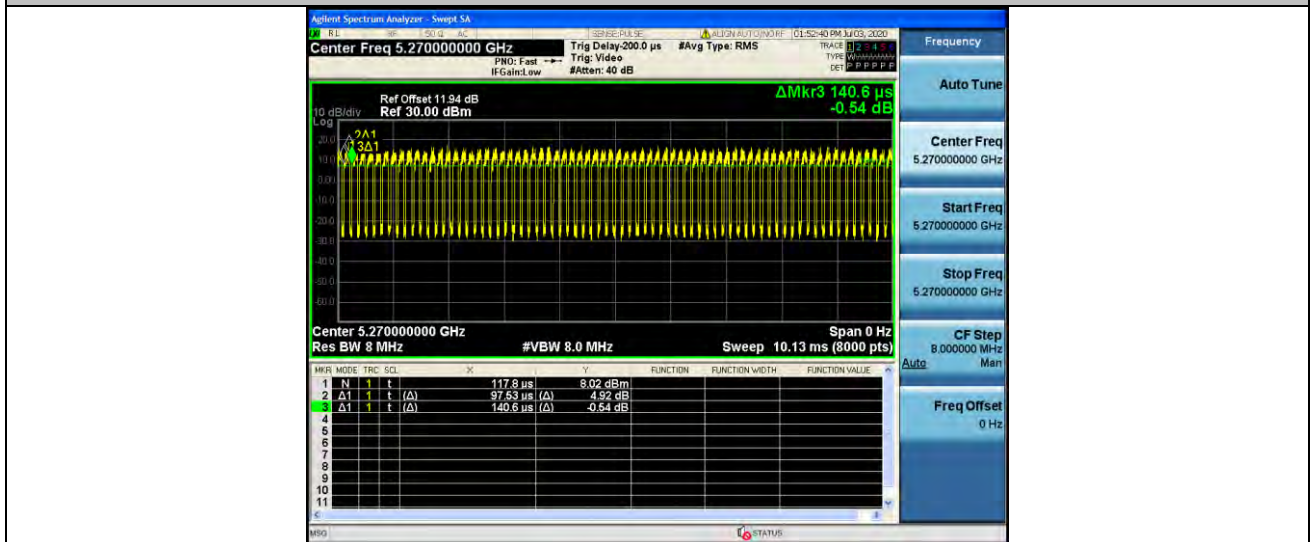
11N20MIMO_Ant1_5720



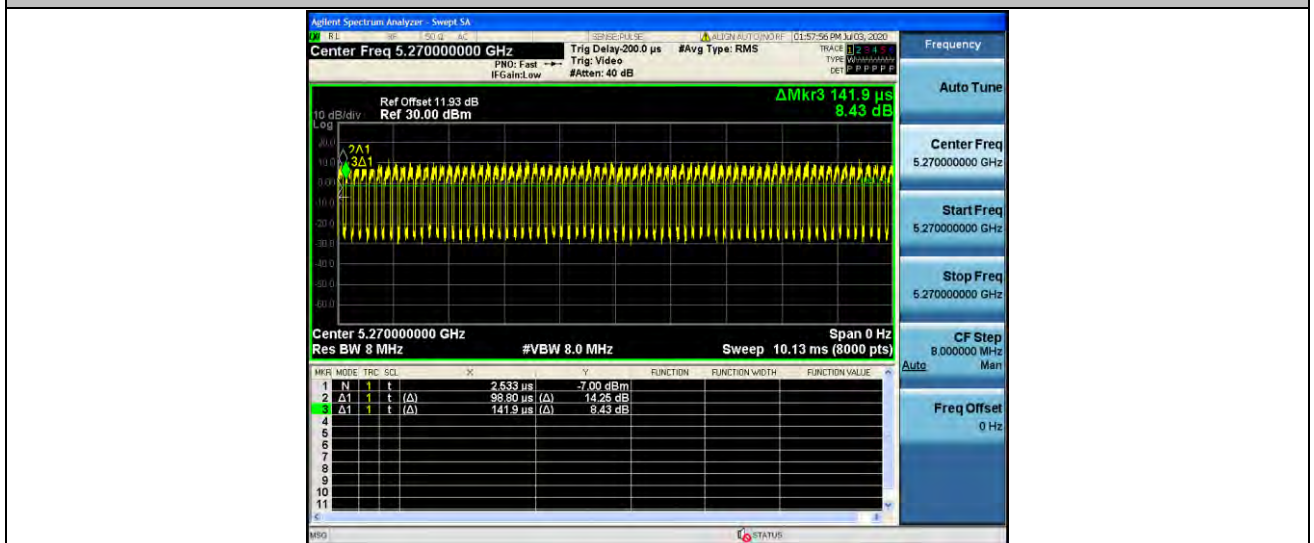
11N20MIMO_Ant2_5720



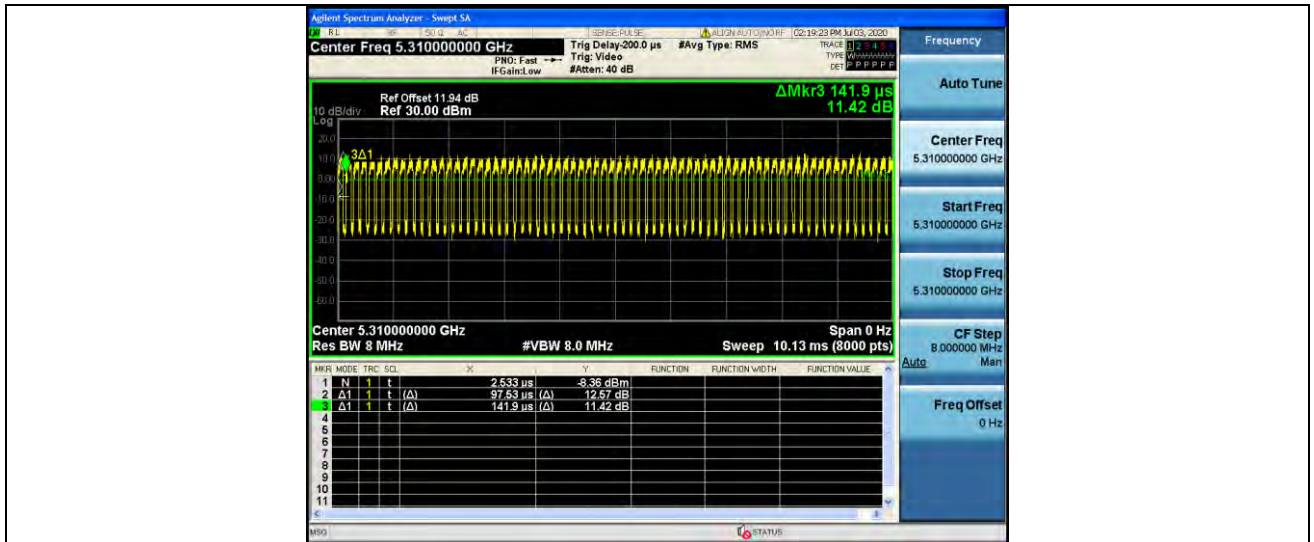
11N40MIMO_Ant1_5270



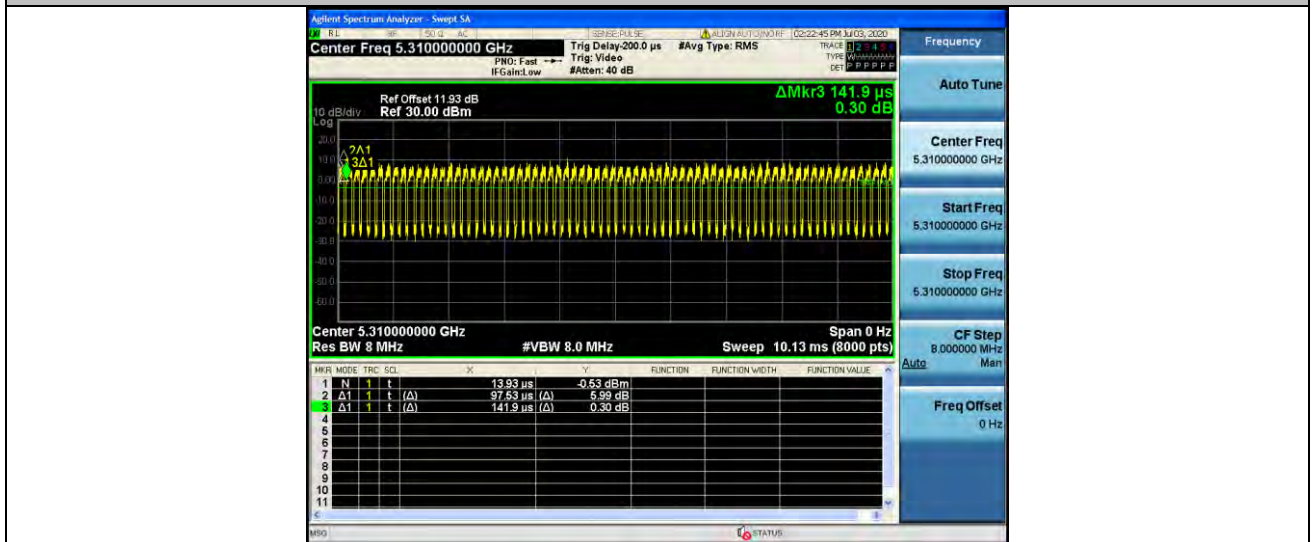
11N40MIMO_Ant2_5270



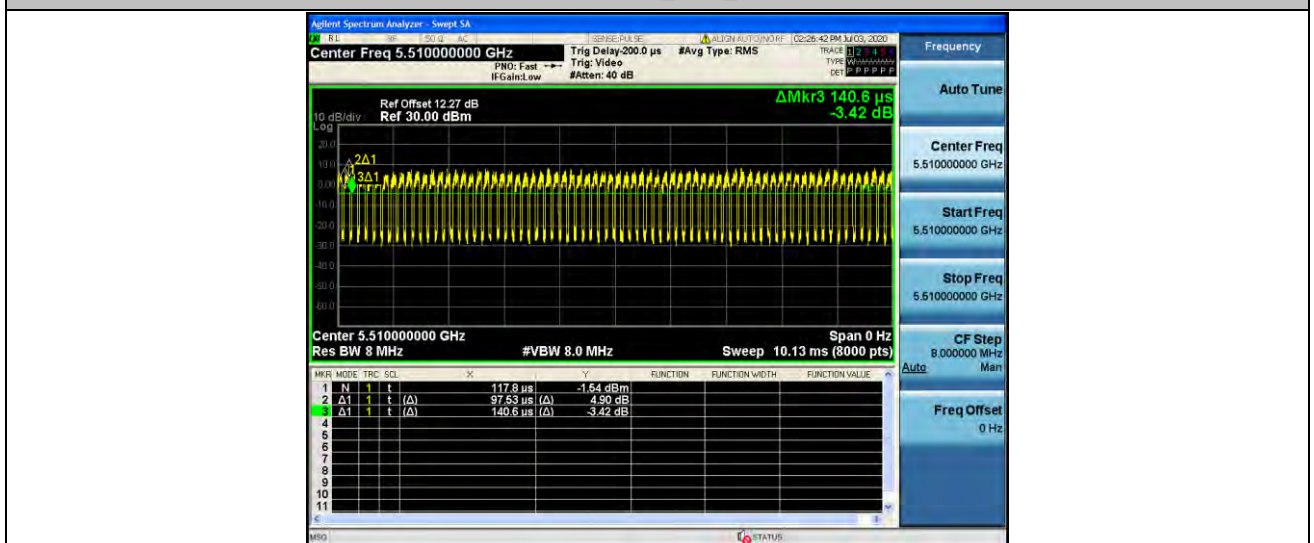
11N40MIMO_Ant1_5310



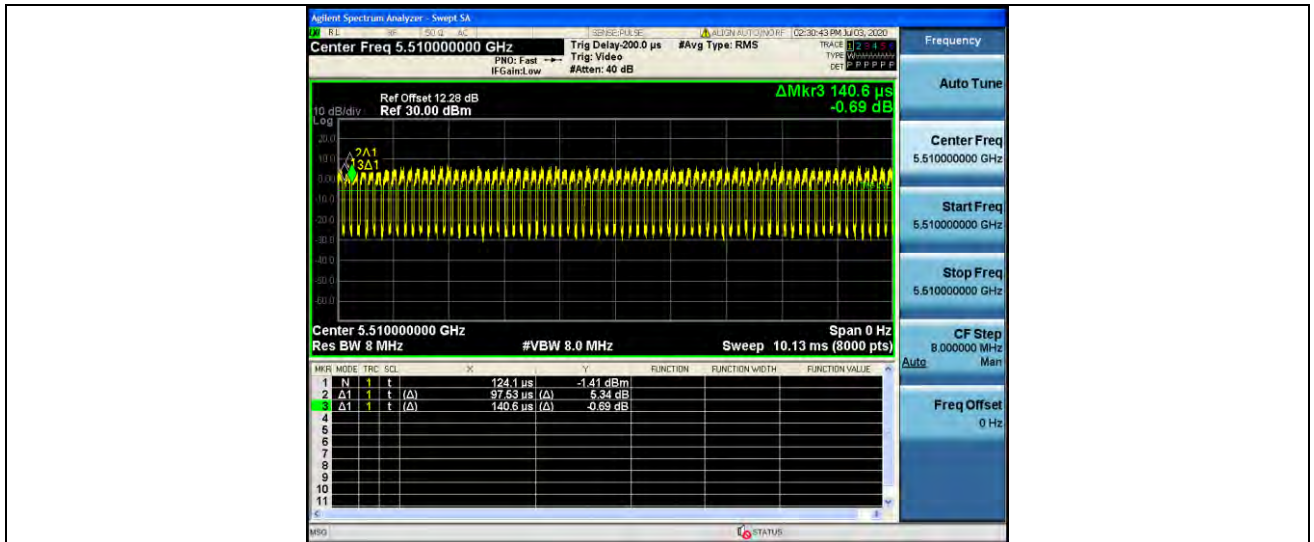
11N40MIMO_Ant2_5310



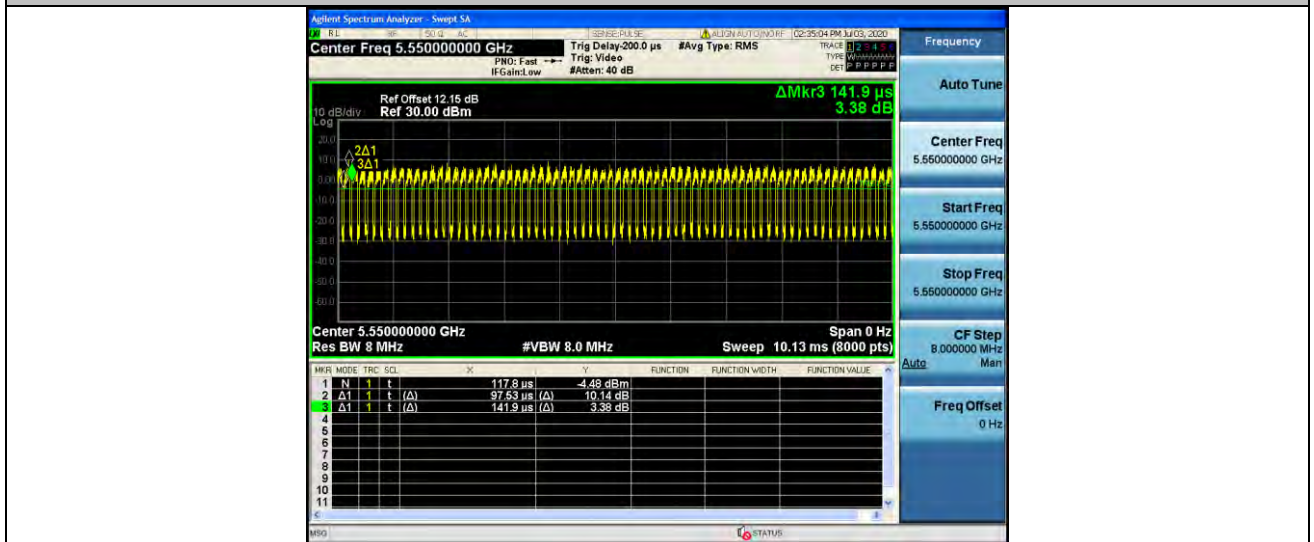
11N40MIMO_Ant1_5510



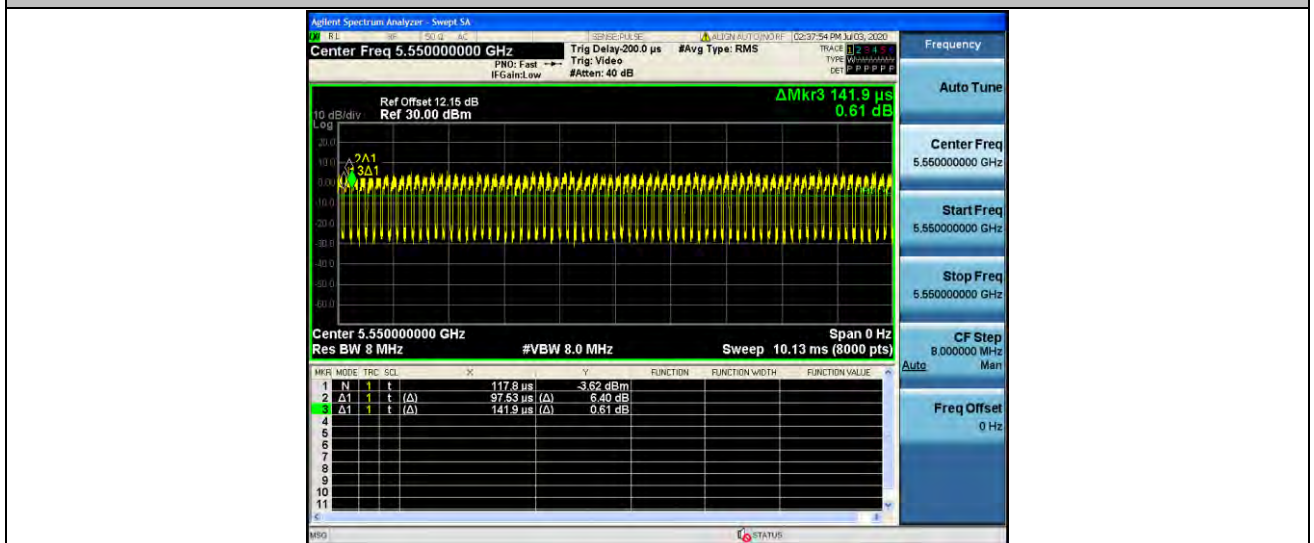
11N40MIMO_Ant2_5510



11N40MIMO_Ant1_5550



11N40MIMO_Ant2_5550



11N40MIMO_Ant1_5670